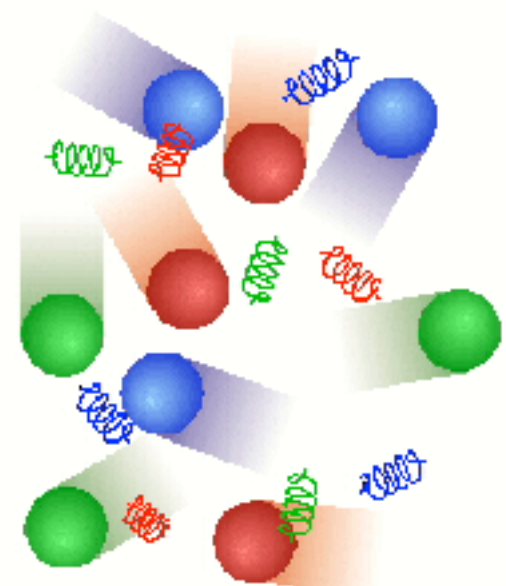


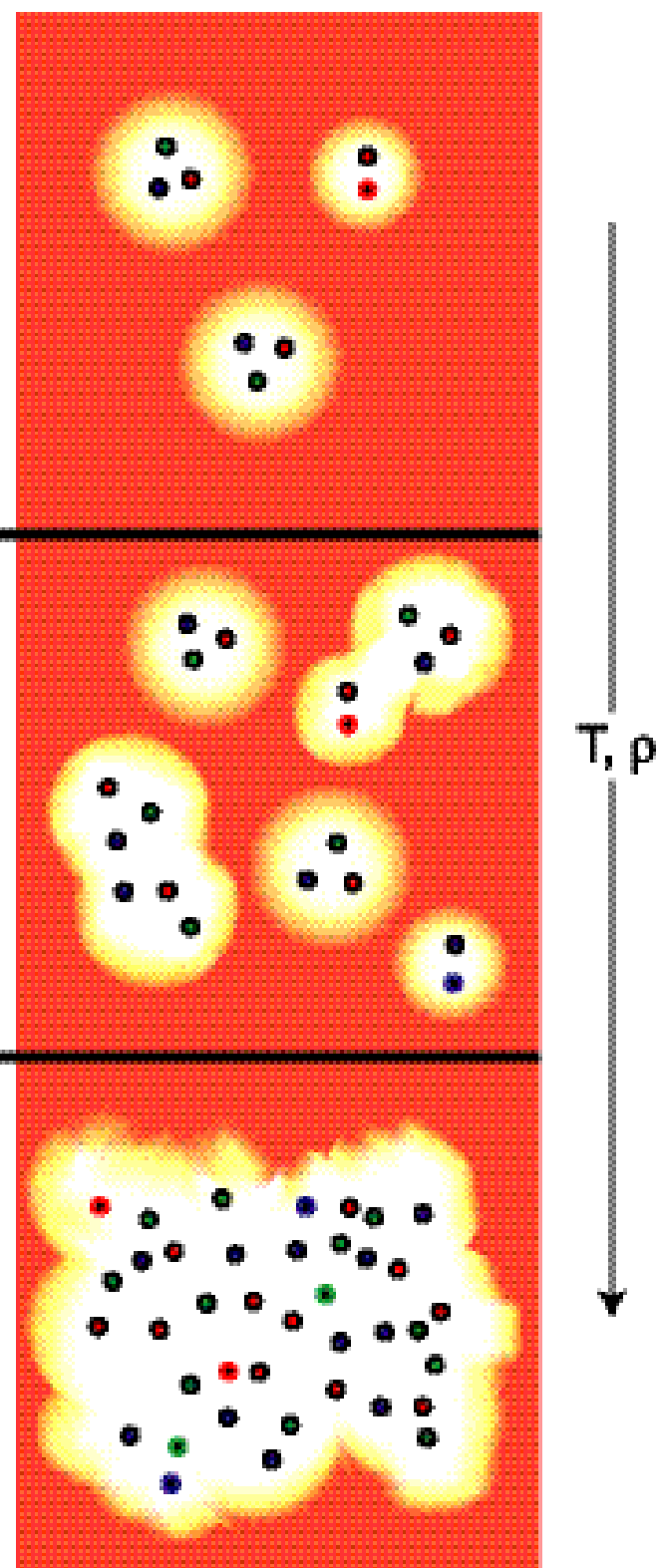
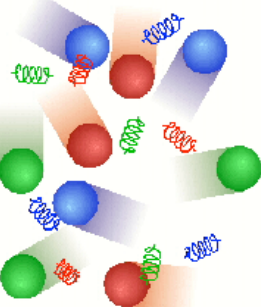
QGPプロジェクト

～研究の潮流～



宇宙史研究センターQGP班
三明康郎

クオーク・グルオンプラズマ (QGP) とは



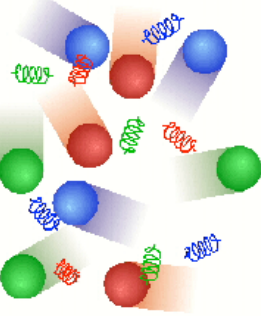
✓ ハドロンの構造；

- ハドロン（陽子、中性子や中間子）は、
1 fm程度の大きさを持ちクオークと媒
介粒子グルオンから構成されている。

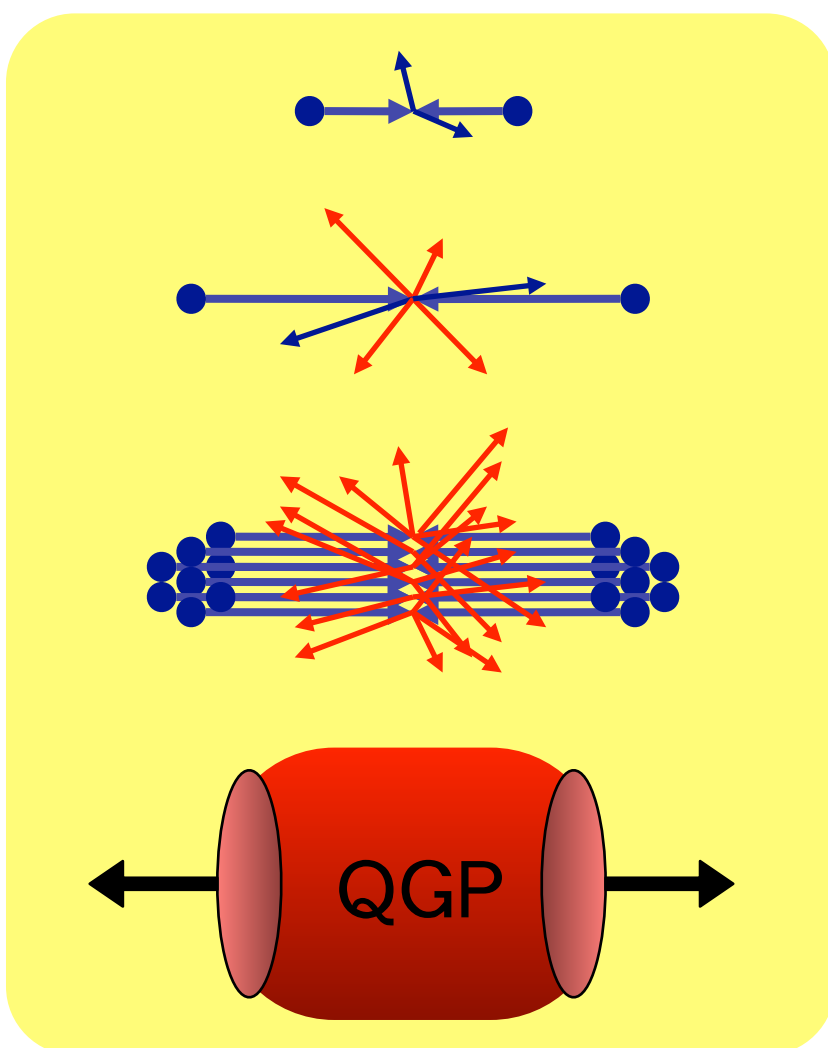
✓ 大きさを持つハドロンを狭い空
間に多重発生させると（高温・
高密度状態）、ハドロンが連結
した状態が起こる？

- クオーク・グルオンが比較的大きな体
積中を自由に飛び回る状態が実現する
 - クオーク・グルオンプラズマ状
 - 宇宙初期、中性子星内部、、、

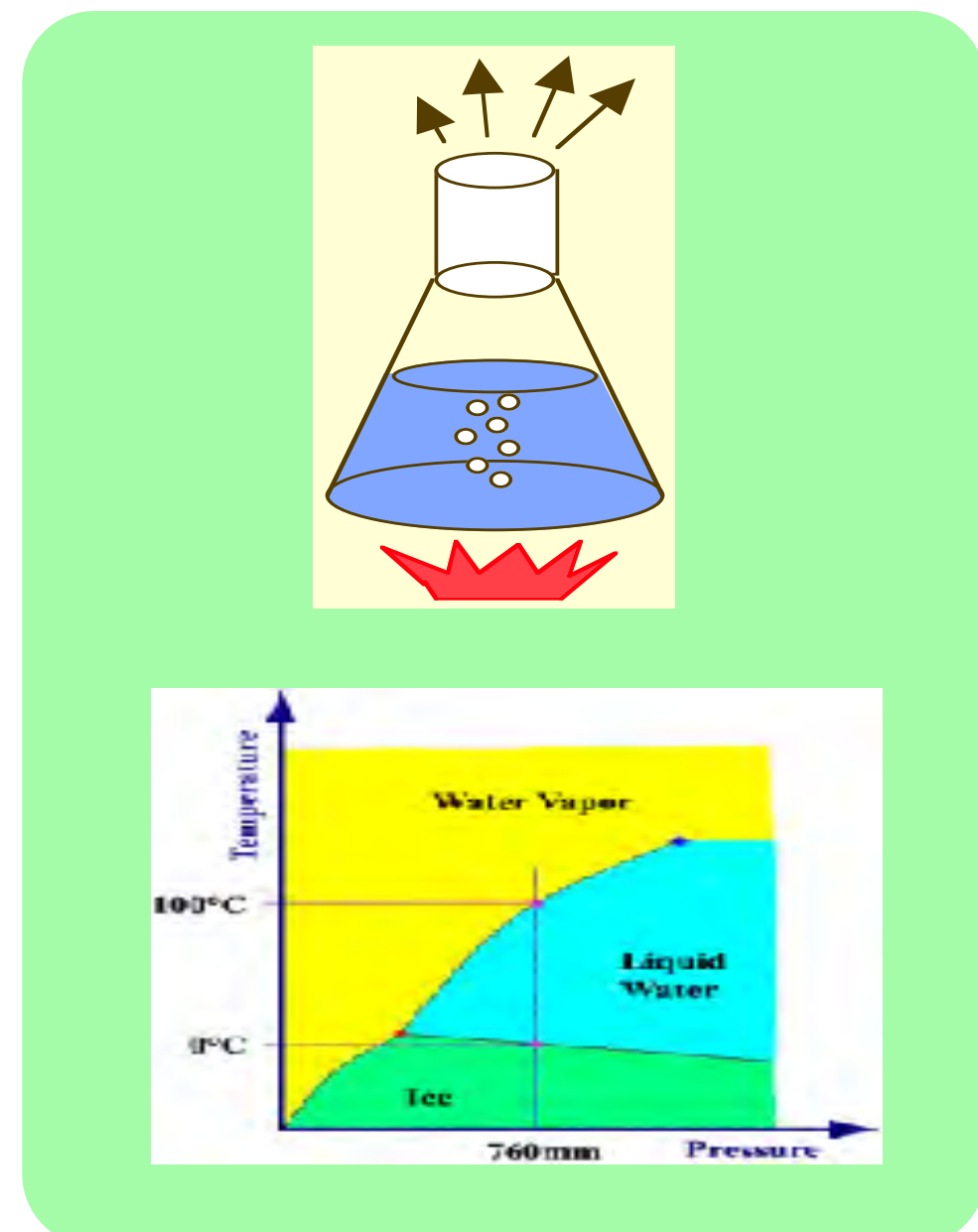
実験室におけるQGPの生成と期待される性質



高エネルギー原子核・原子核衝突



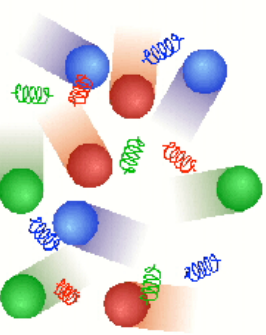
$$\epsilon_{QGP} \sim 2 \text{ [GeV/fm}^3]$$
$$< n_{q,\bar{q}} > \sim \frac{\epsilon_{QGP}}{< m_T >} \sim \frac{2\text{GeV}}{0.4\text{GeV}} \sim 5$$
$$\lambda_q = \frac{1}{n\sigma_{qq}}$$
$$\sim \frac{1}{5 \times 0.4} = 0.5 \text{ [fm]}$$
$$\lambda_q \ll R_{\text{system}}$$
$$\therefore \sigma_{qq} \sim \frac{\sigma_{NN}}{3 \times 3} \sim \frac{4[\text{fm}^2]}{9} \sim 0.4$$



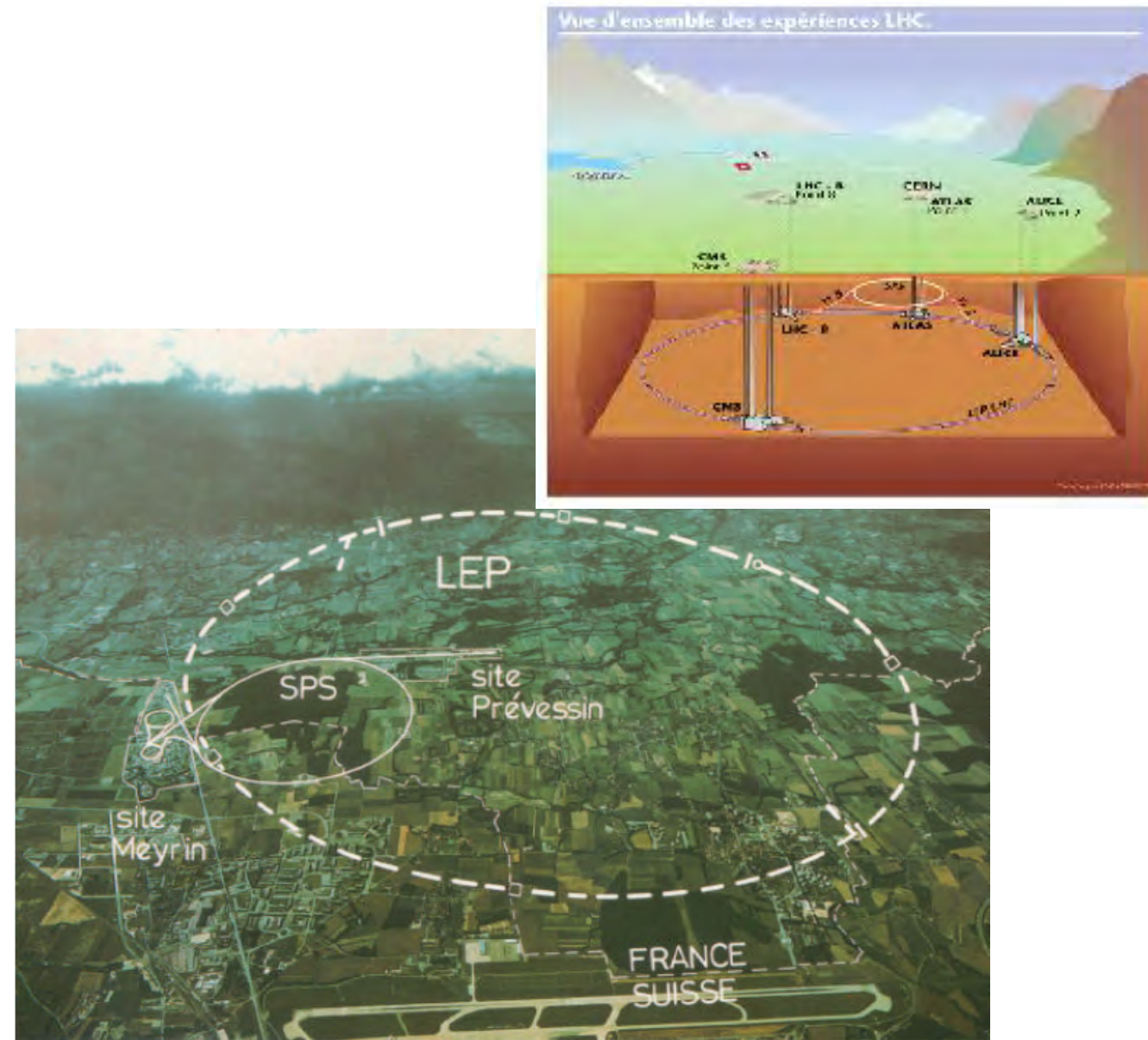
- ✓ クオークレベルの統計力学的性質
- ✓ クオークレベルの流体力学的性質
 - QGPの物性を調べるのが目的
 - 初期宇宙進化や中性子星構造への影響

→新物質QGPの
物性、特に相構造を
調べる

2大実験施設： 米国BNL-RHIC vs 欧州CERN-LHC

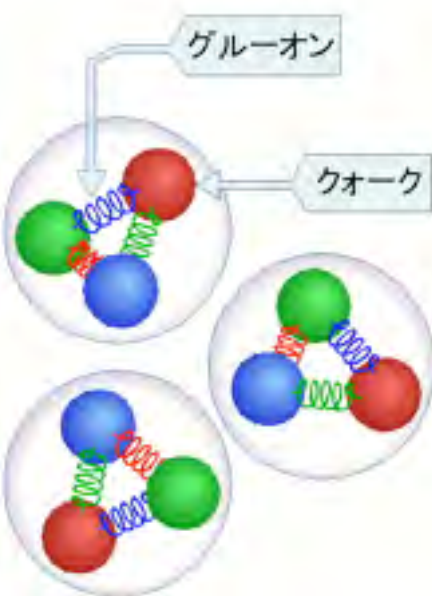


米国ブルックヘブン国立研究所(BNL)
RHIC加速器(2000-)
全周3.8km
 $\sqrt{SNN}=10\text{-}200 \text{ GeV Au+Au}$



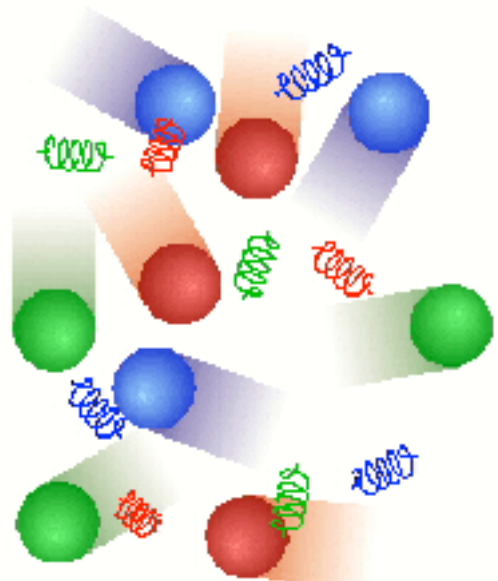
欧洲共同原子核研究機構(CERN)
LHC加速器(2009~)
全周27km世界最大・最高エネルギー
 $\sqrt{SNN}=2.76, 5.5 \text{ TeV Pb+Pb}$

✓ QGP生成を疑う研究者は恐らくいない。



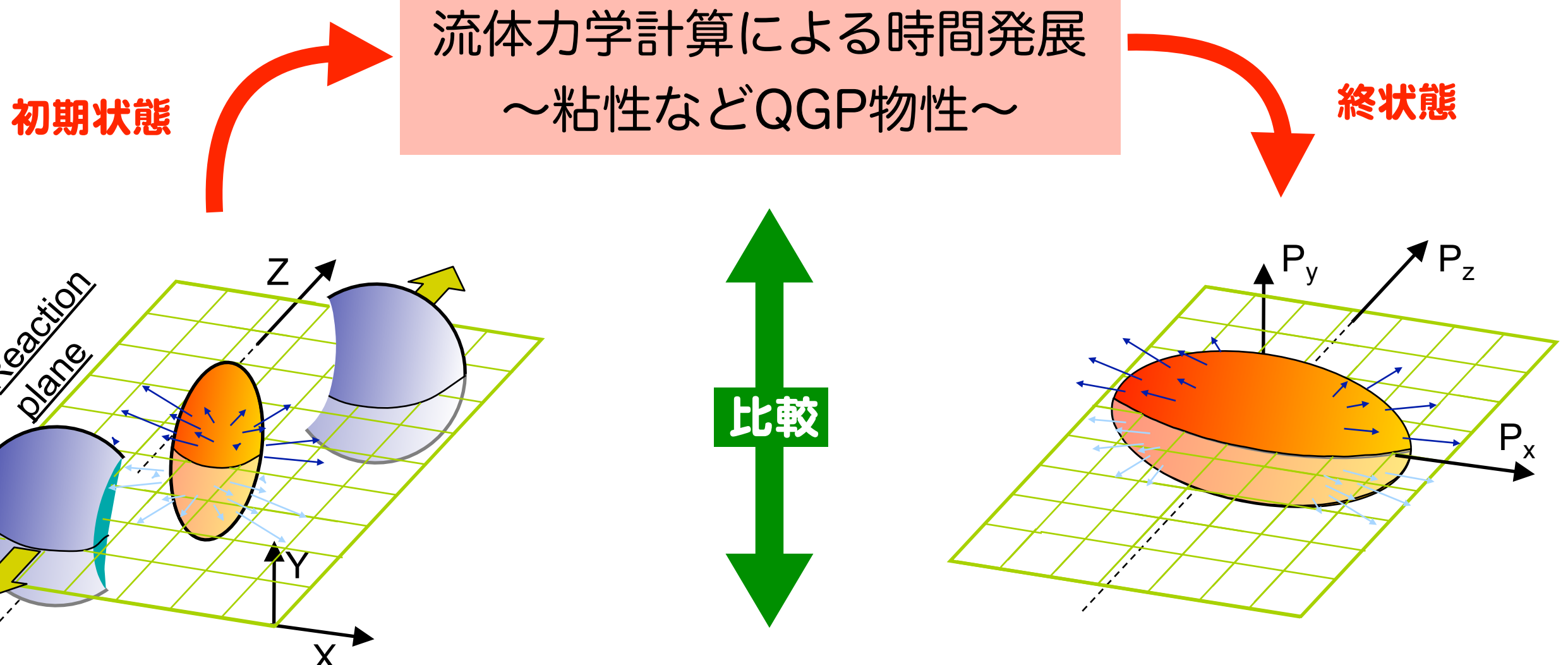
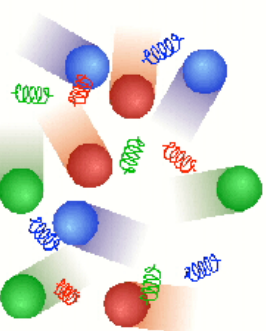
よくわかっていないけど、

QGP物性に関する 2大トピックス



- ①流体力学的振舞
～QGPの粘性～
- ②ジェットクエンチ
～密度と dE/dx ～

①流体力学による理解



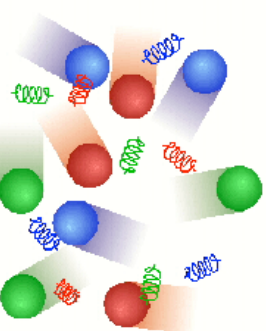
座標空間

$$\varepsilon_{\text{ecc}} = \left\langle \frac{y^2 - x^2}{y^2 + x^2} \right\rangle$$

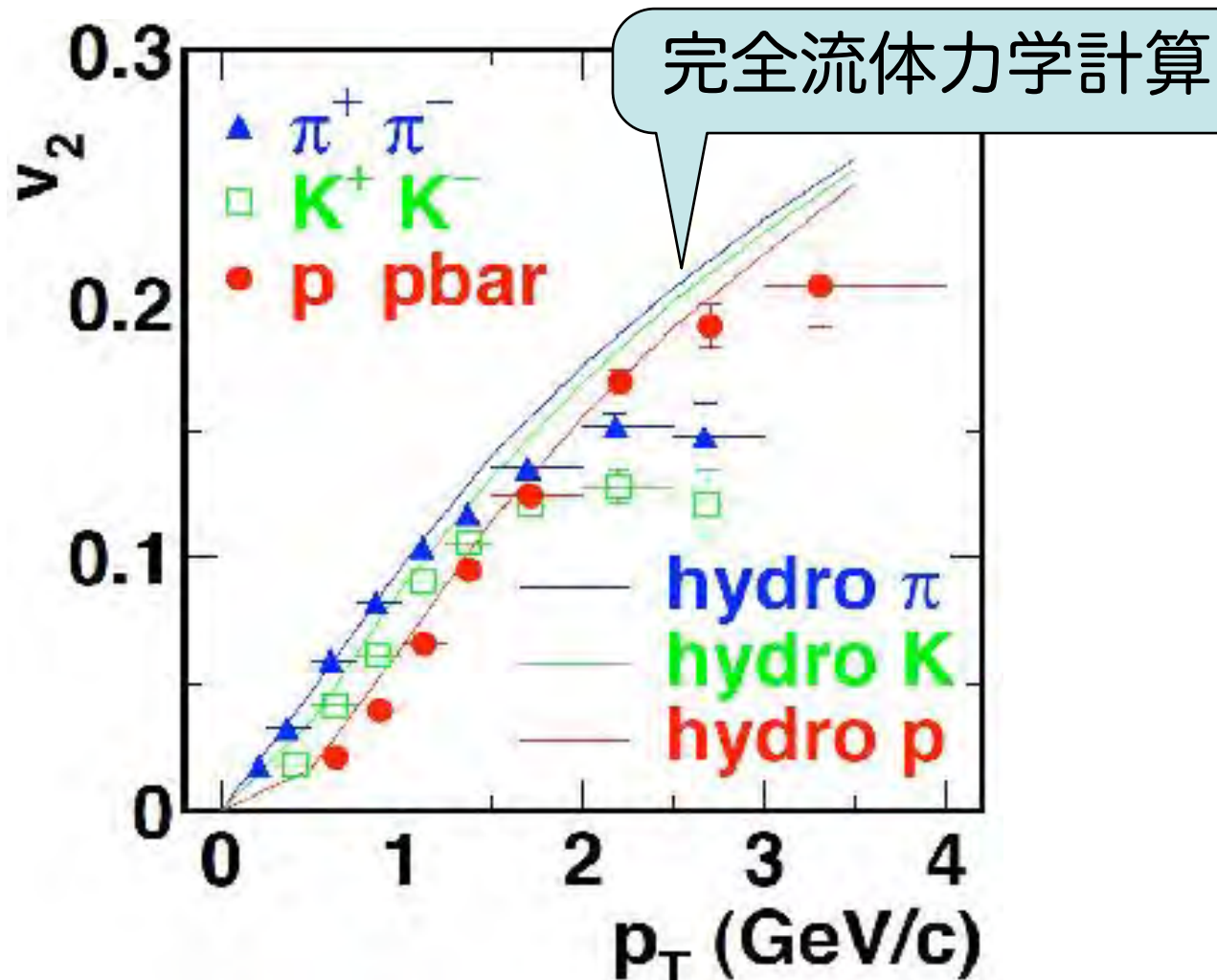
運動量空間

$$v_2 = \left\langle \frac{p_y^2 - p_x^2}{p_y^2 + p_x^2} \right\rangle$$

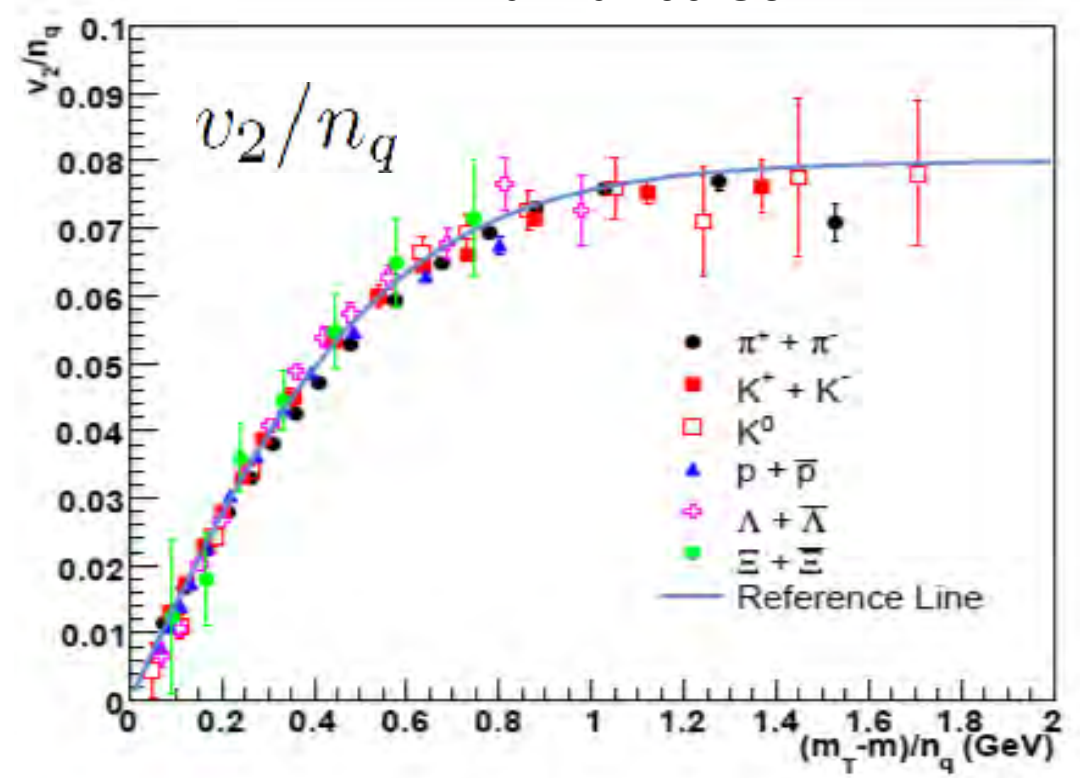
✓ 初期状態と終状態両方を実験的に決定可能



大きな方位角異方性 v_2



PHENIX PRL 98(2007)162301
Au+Au 200 GeV



横運動エネルギー/クォーク数
- クォーク数 (n_q) スケーリング E_T/n_q
→パートンレベルで異方性が生成

✓ 大きな橢円的方位角異方性 (v_2) + 完全流体力学計算

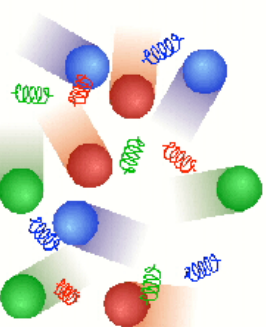
- 極めて早い thermalization ~ 0.6 fm/c

課題 1 ; なぜこんなに早く熱化できるのか? (初期状態は?)

- 完全流体 (粘性なし) で良く説明!

課題 2 ; 定量的に粘性は? (QGP物性は?)

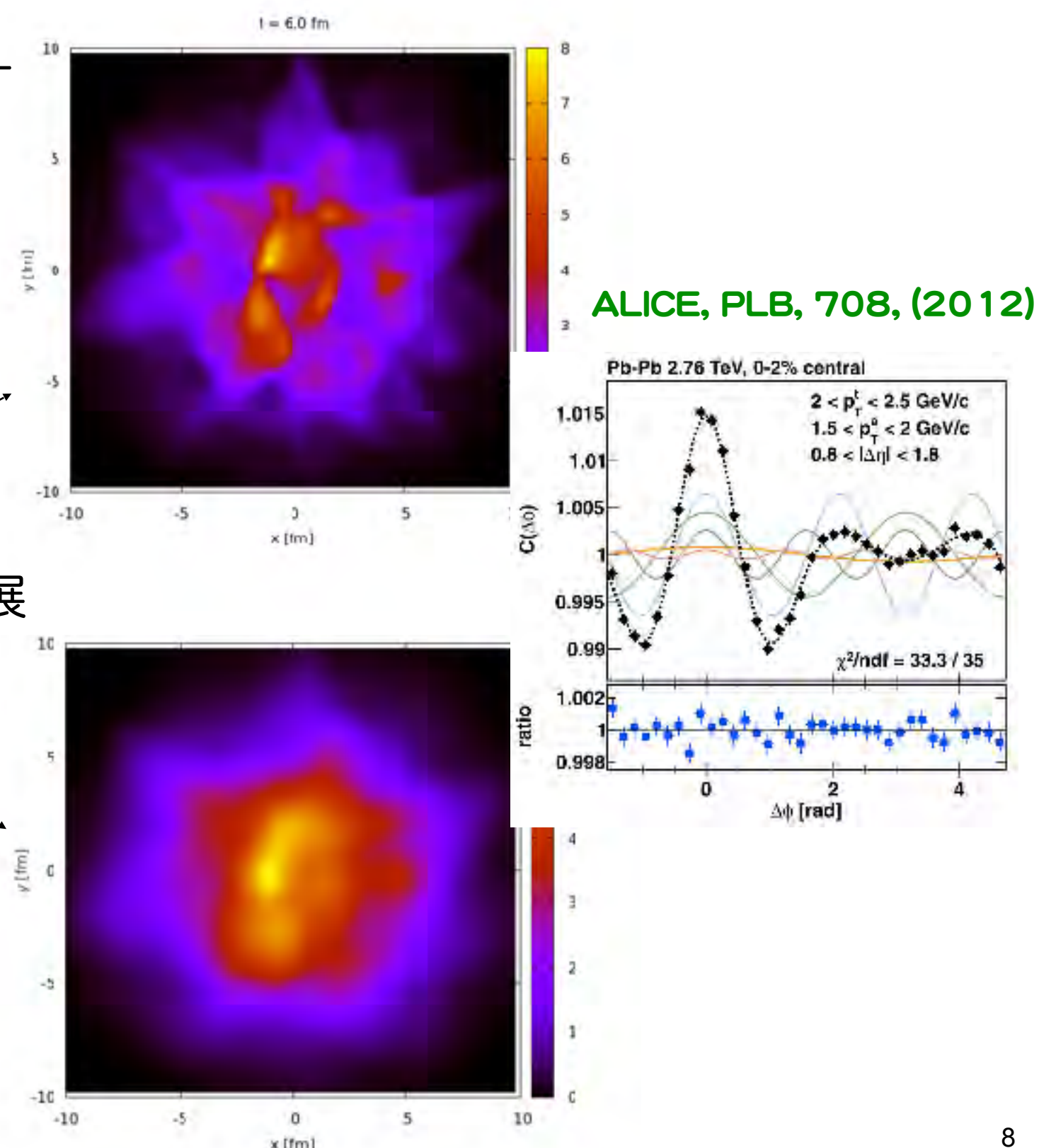
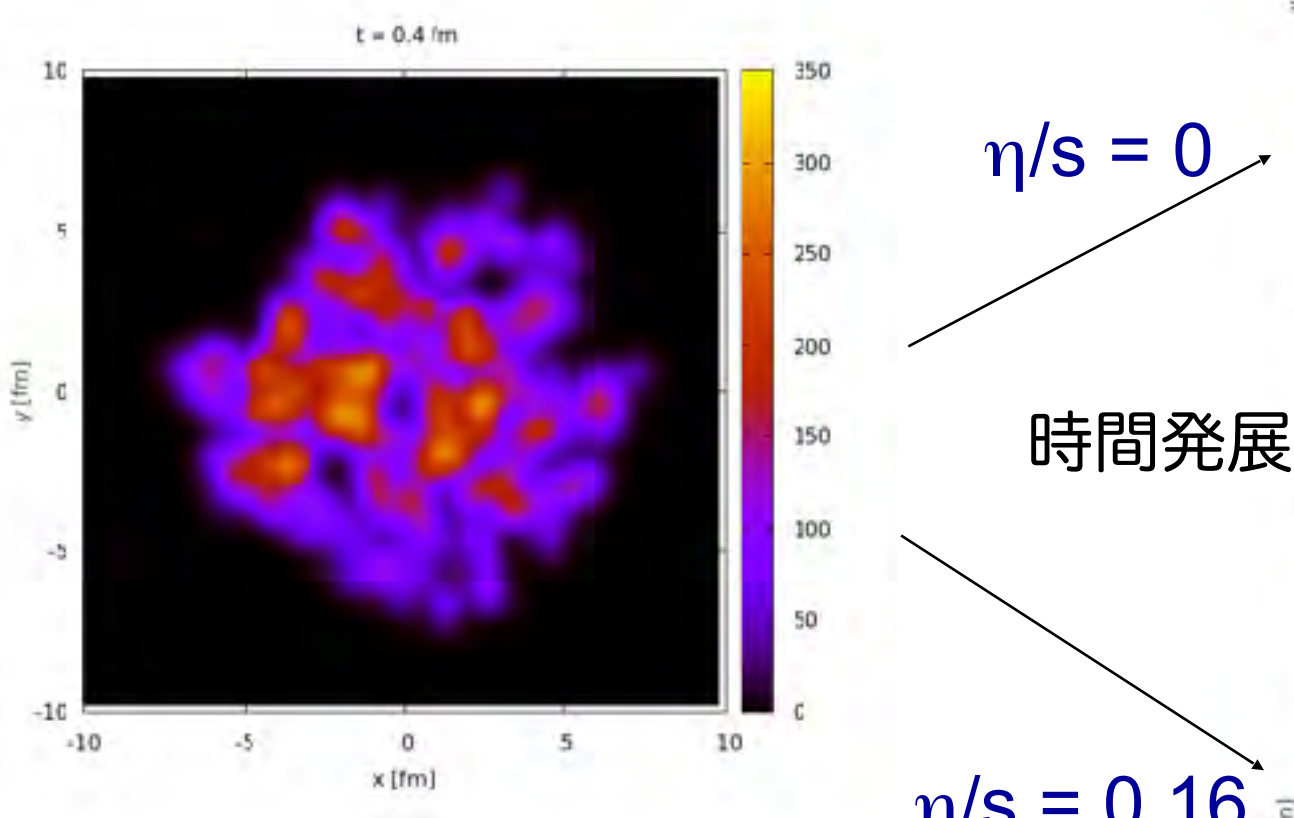
現実の原子核・原子核衝突で起こっている揺らぎからQGPの粘性の情報



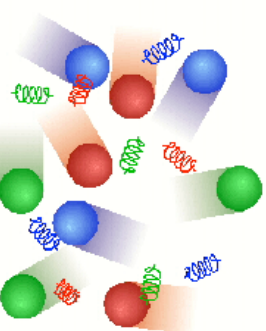
現実の原子核・原子核衝突では核子数と衝突確率が有限であることから、揺らぎが発生→高次のフーリエ成分

Slide from Marco vanLeeuwen

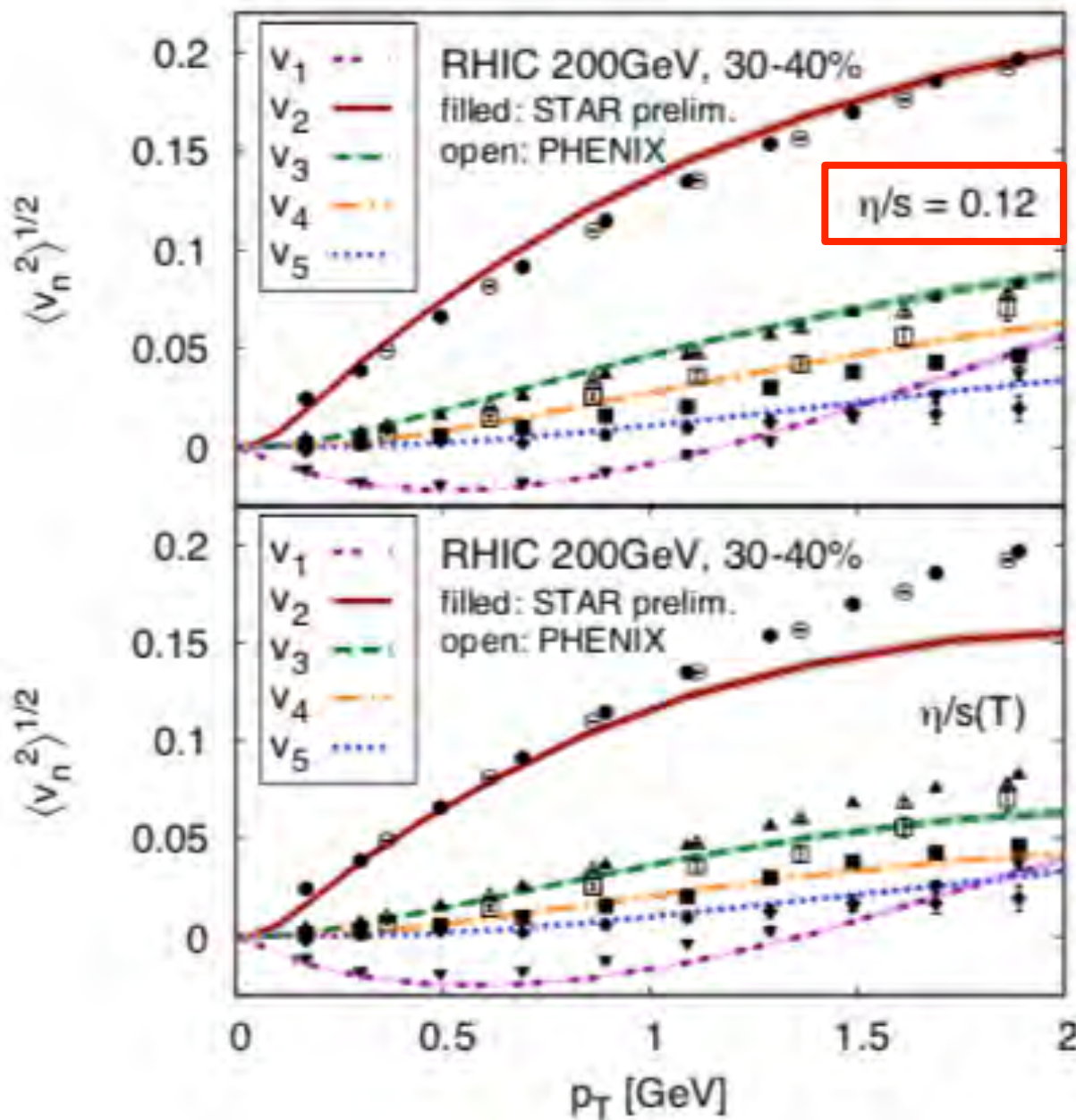
Schenke and Jeon, Phys.Rev.Lett.106:042301



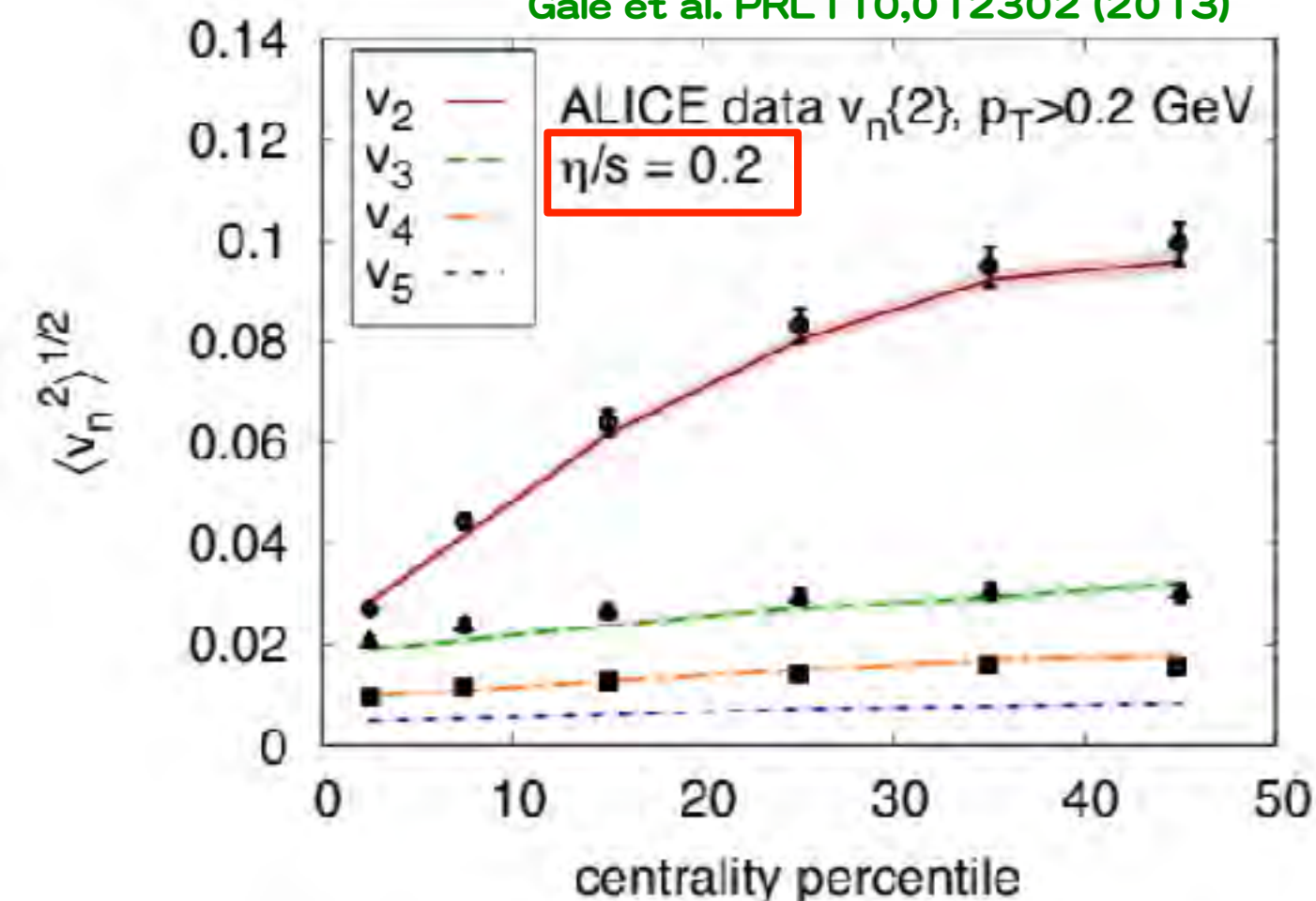
非常に小さい比粘性 (η/s)



PHENIX; PRL 107,252301 (2011), STAR; QM2012

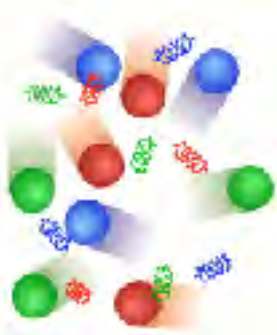


Gale et al. PRL 110,012302 (2013)

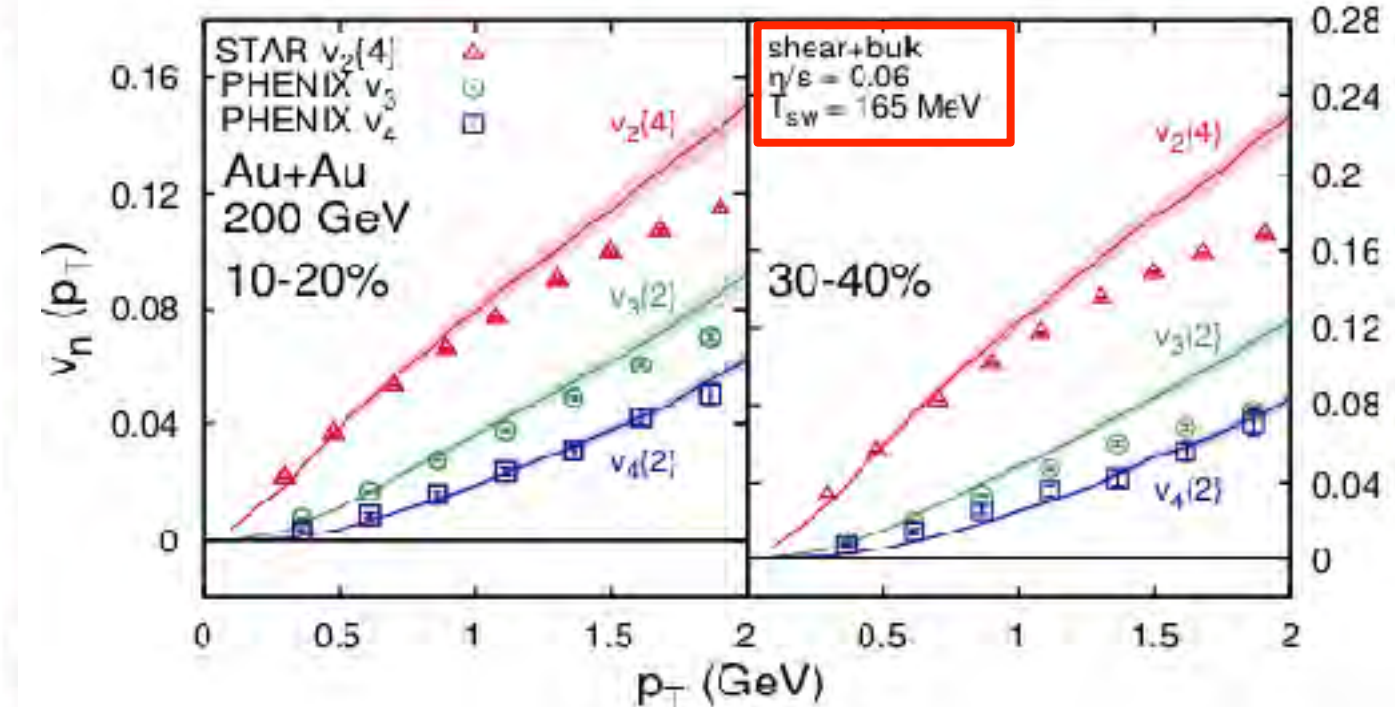
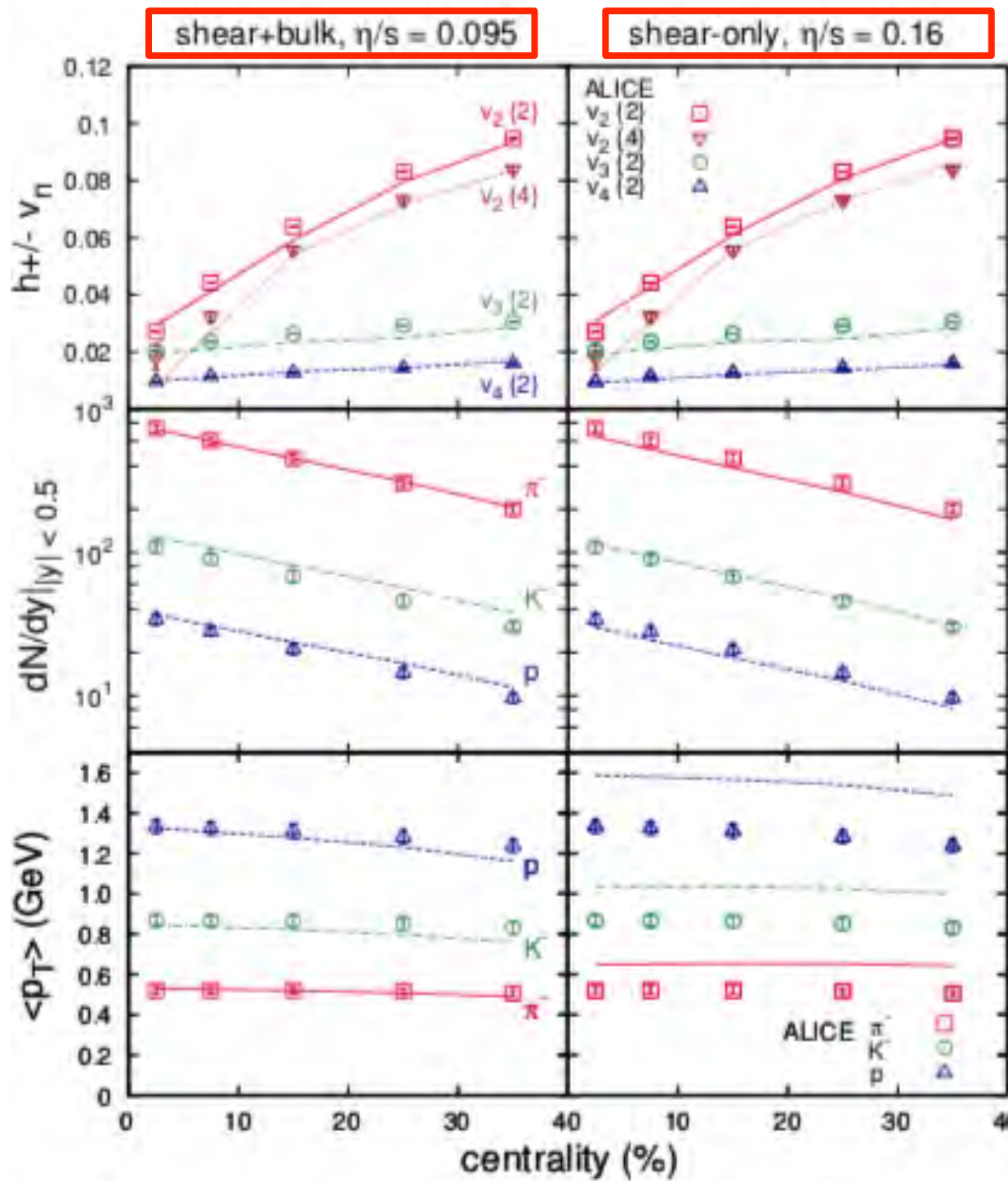


✓ With shear viscosity,

$$\frac{\left(\frac{\eta}{s}\right)_{\text{LHC}}}{\left(\frac{\eta}{s}\right)_{\text{RHIC}}} \sim \frac{0.2}{0.12} \sim 1.7$$



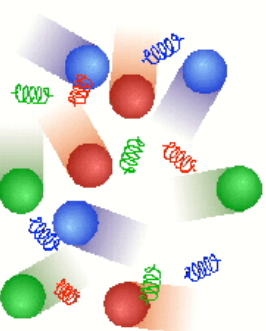
Shear+bulk viscosity



✓ Better fitting

$$\frac{\left(\frac{\eta}{s}\right)_{LHC}}{\left(\frac{\eta}{s}\right)_{RHIC}} \sim \frac{0.095}{0.06} \sim 1.6$$

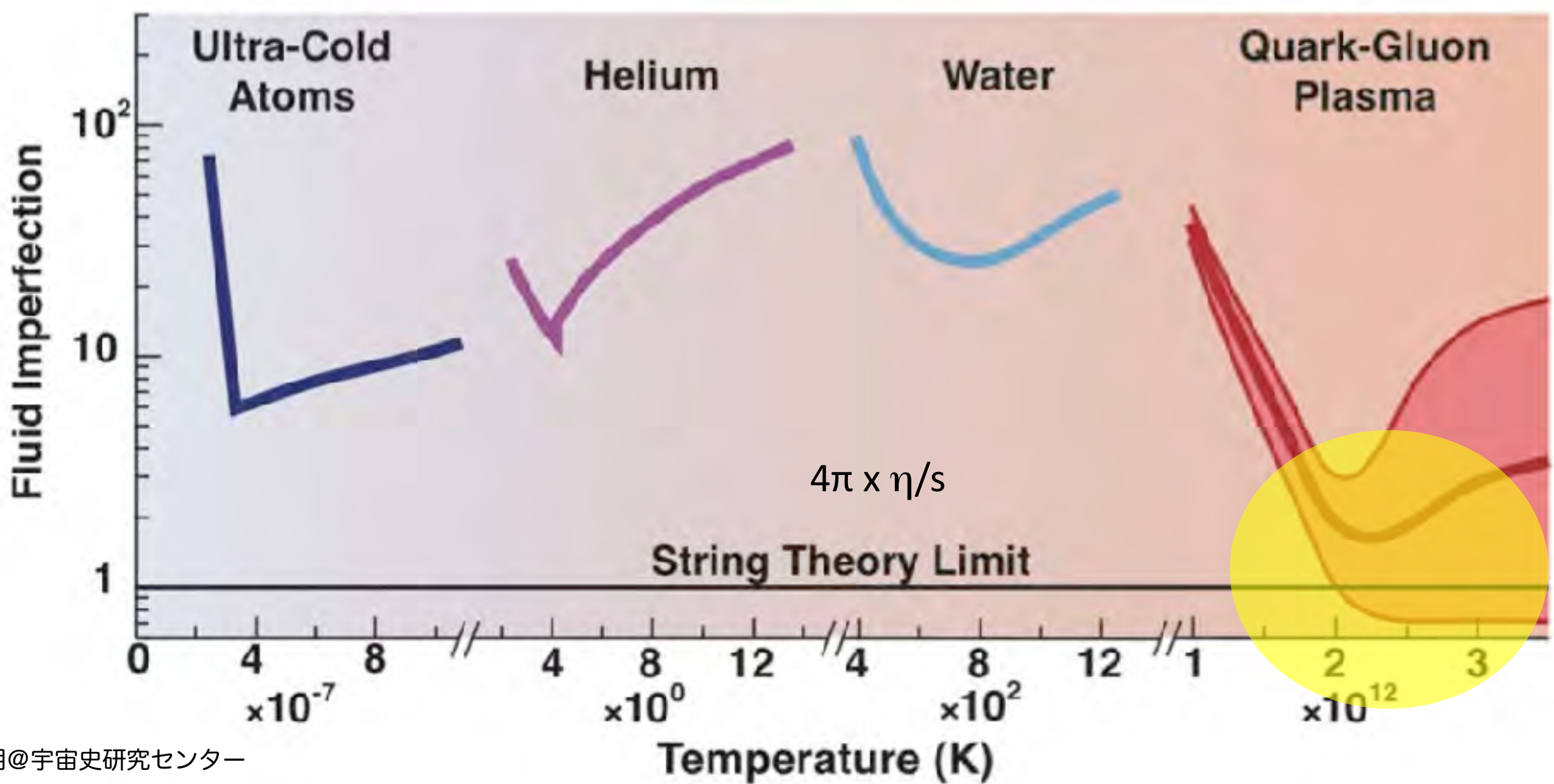
QGPはサラサラな物質



✓ 比粘性(ずれ粘性/エントロピー)

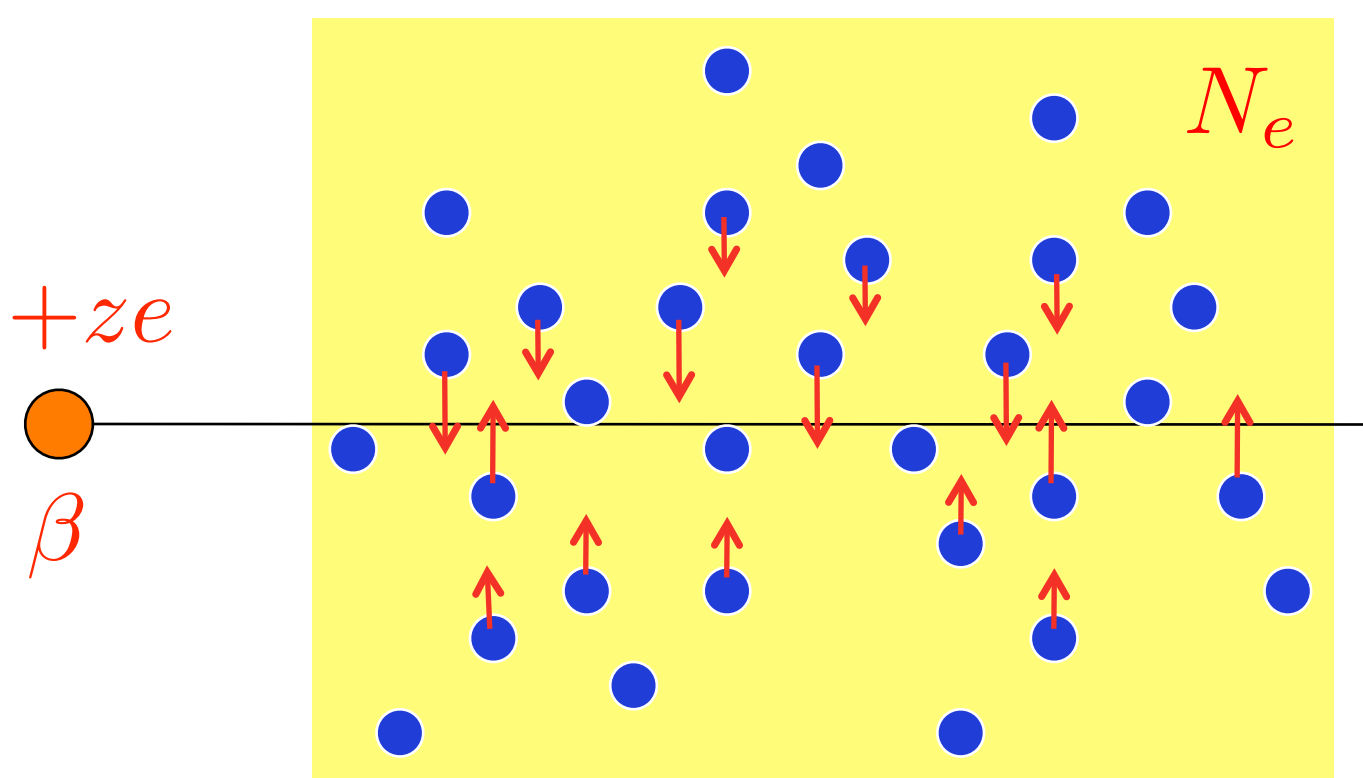
- $\eta/s \sim 0.20$ at LHC, $\eta/s \sim 0.12$ at RHIC

✓ QGPは、どの物質よりも粘性が小さい“サラサラ”な物質！？

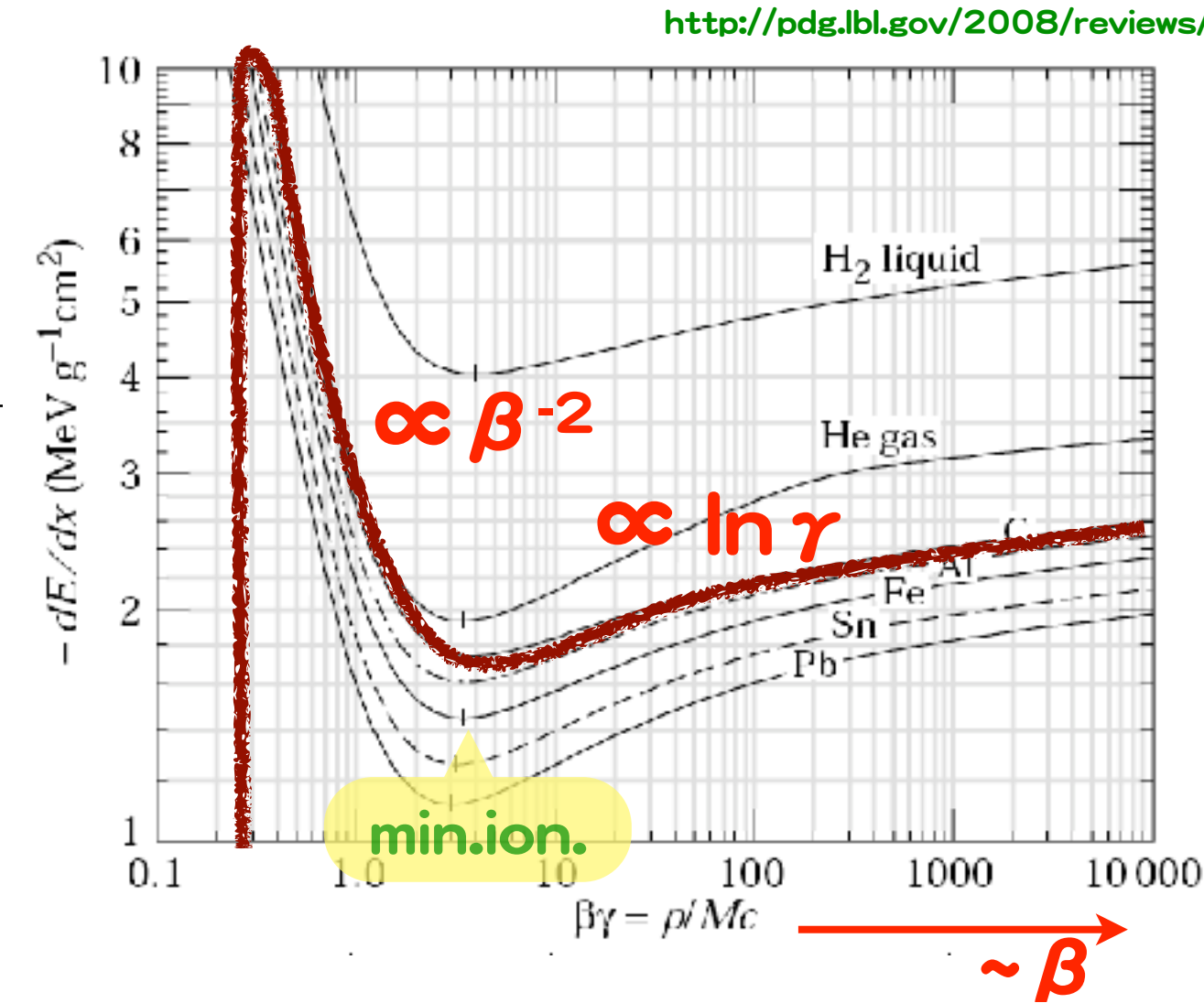


②ジェットクエンチ

QEDにおけるエネルギー損失 ～Bethe-Bloch Eq.～

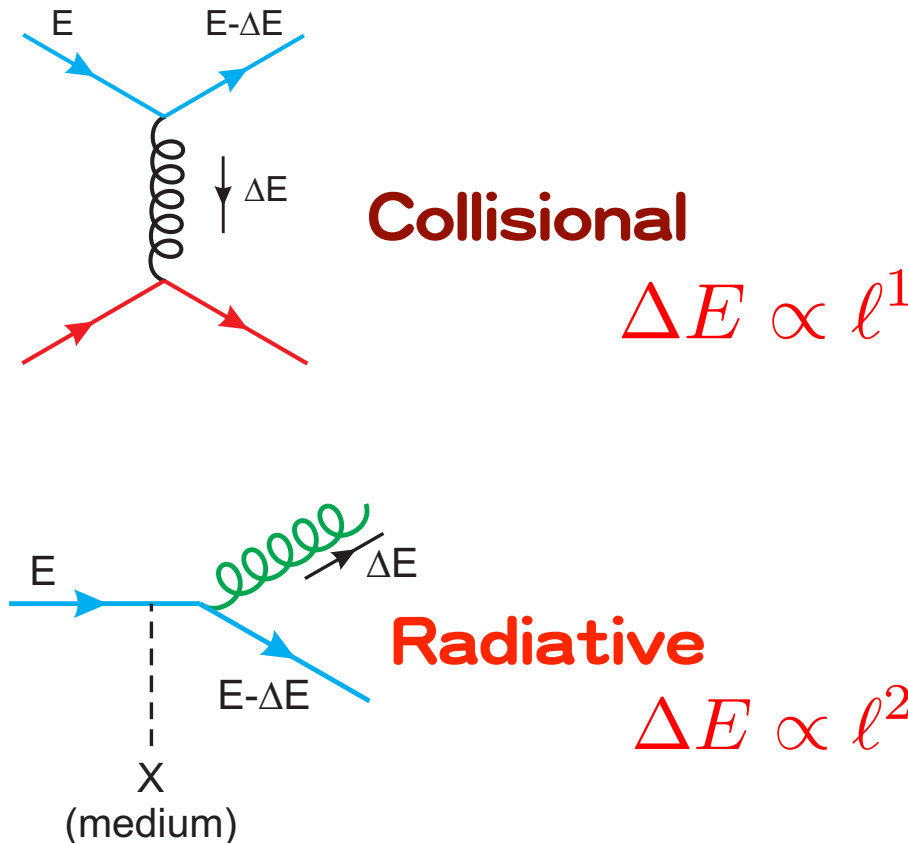
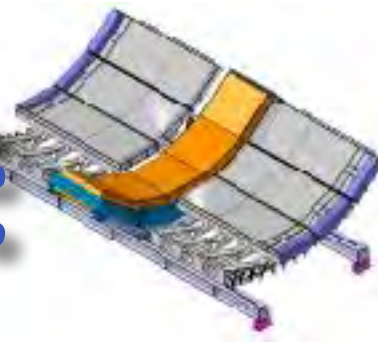


$$-\frac{dE_{\text{Bethe}}}{dx} \propto \frac{z^2 N_e}{\beta^2} \ln(\beta^2)$$



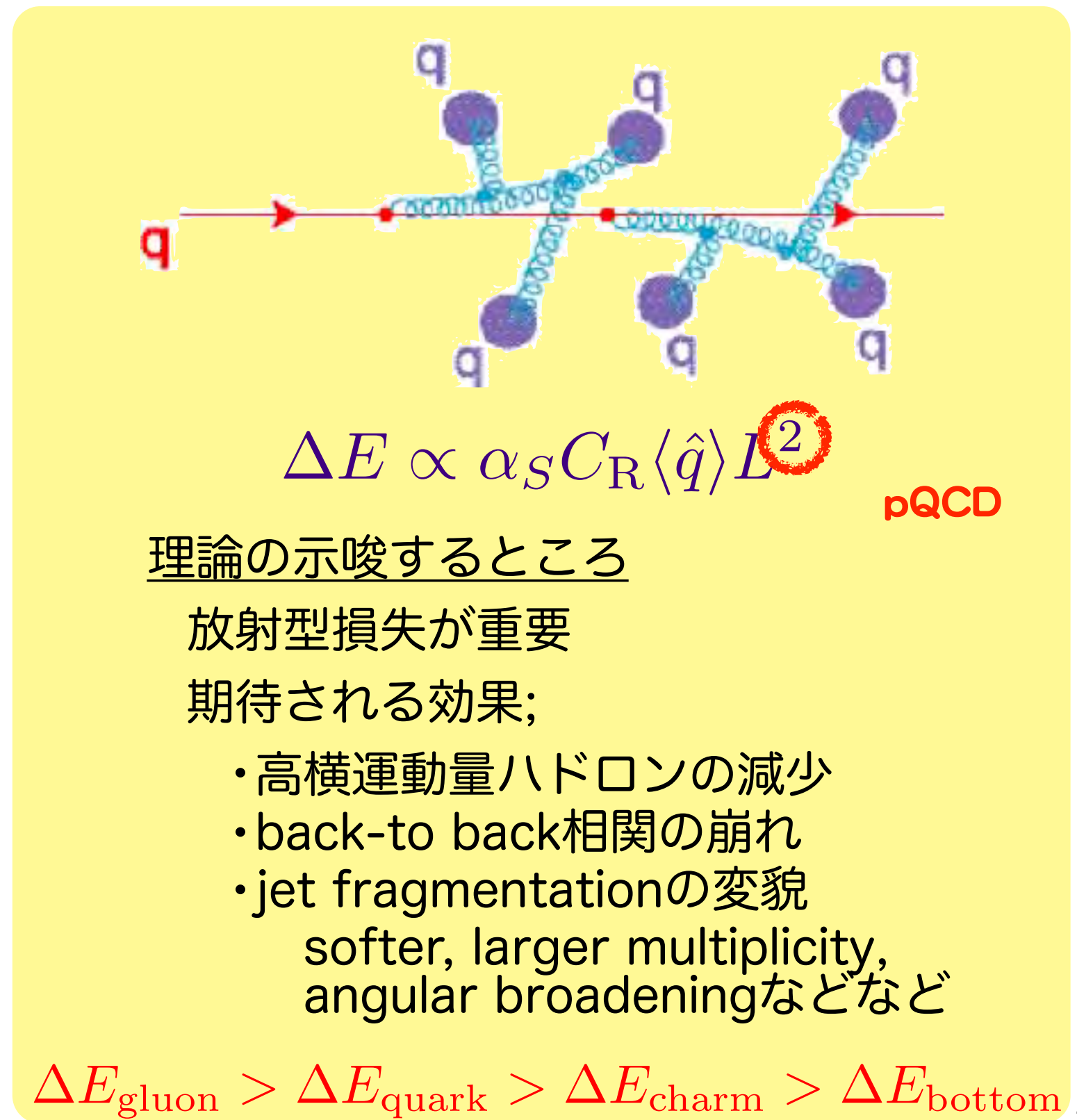
- 入射荷電粒子と物質中の原子電子がクーロン相互作用
 - ✓ 原子電子を電離することによって、入射粒子はエネルギー損失
 - ✓ エネルギー損失量は物質の電子密度(N_e)に比例
 - ✓ エネルギー損失量は入射粒子の z^2 に比例
- エネルギー損失量から物質の電子密度を測定できる→「プローブ」

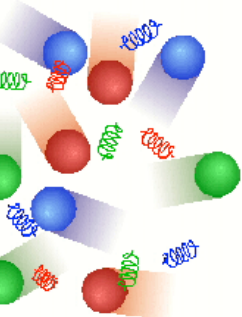
QCDにおけるエネルギー損失



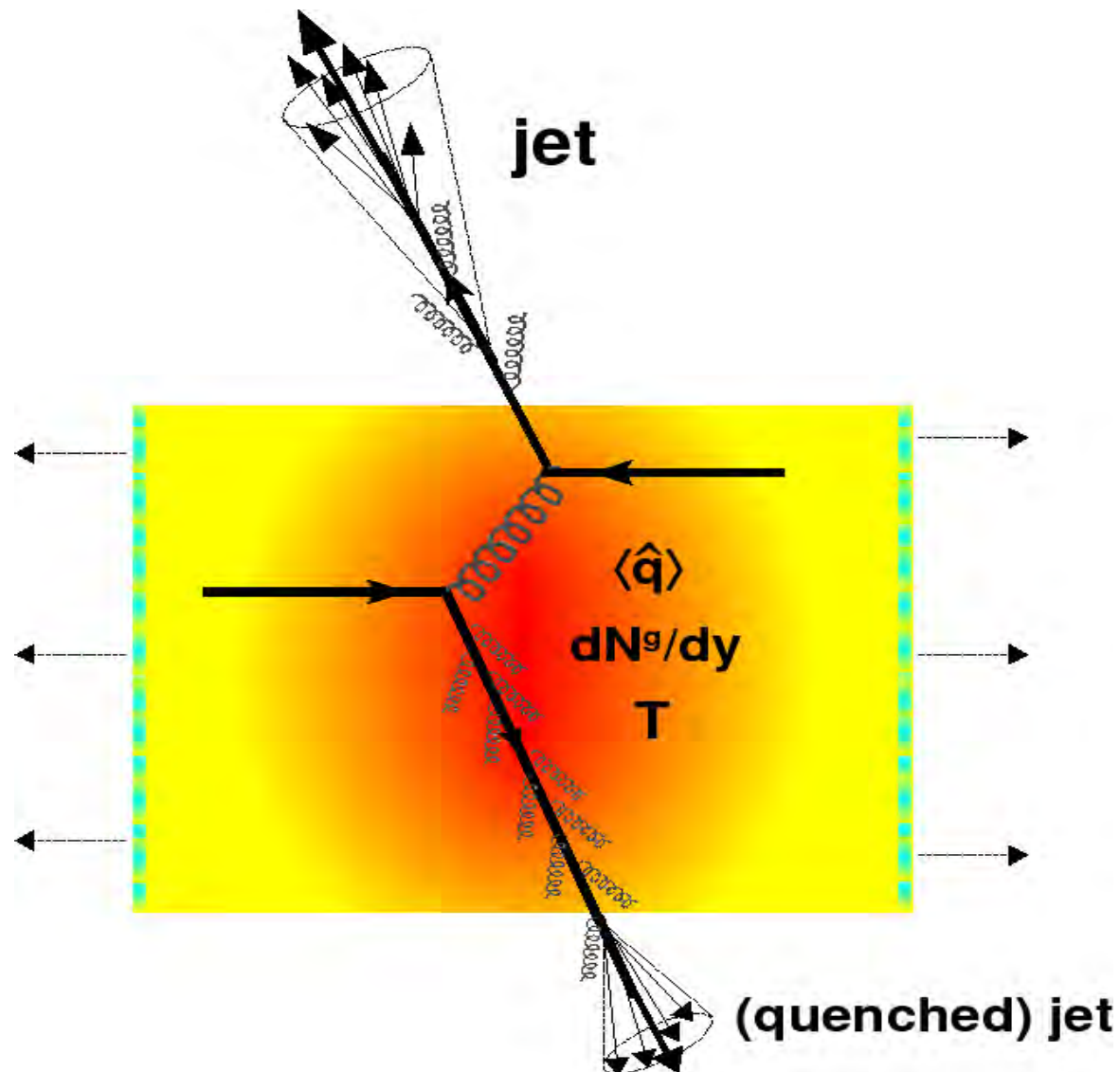
✓ 様々な理論

- 衝突型損失
- 放射型損失
 - Bethe-Heitler regime
 - LPM regime
 - “dead-cone” effect





QGPの「密度」の測り方



“Jet quenching” in nucleus-nucleus collision.

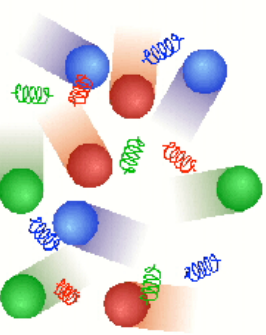
✓ AA衝突で2つのパートンが Hard Scatt. を起こす

- 一つは真空中に飛び出しジェットを生成し、
- 他方は、QGP中を突き抜ける際に特徴的なエネルギー損失を受ける

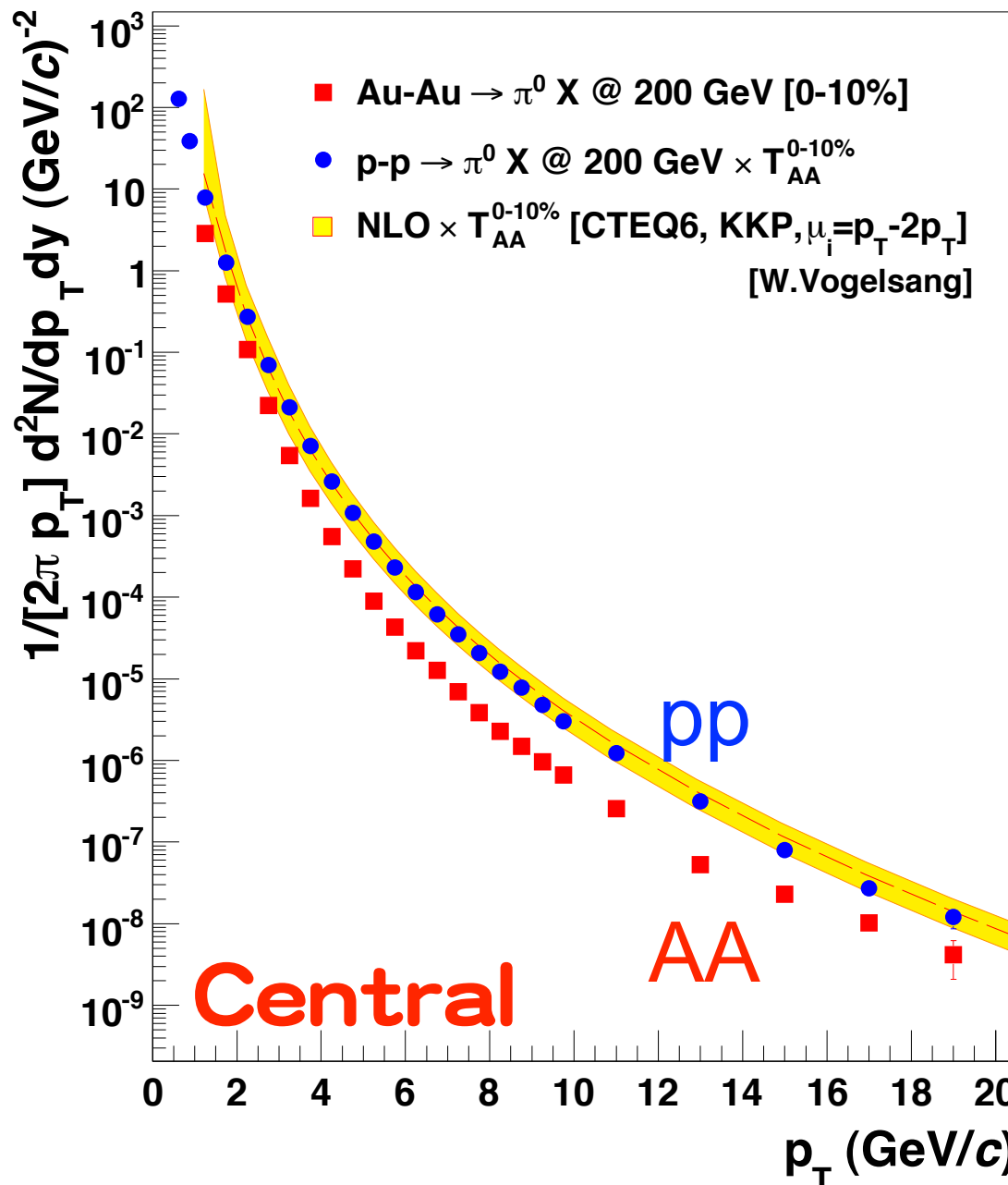
✓ 現れる現象：

- ジェットの消失／減衰
- 高横運動量粒子の減少
- ジェット成分の変化？

高横運動量粒子が減少する現象



Phenix; P.R.L. 91, 232301 (2008), PRD76,051106(2007)



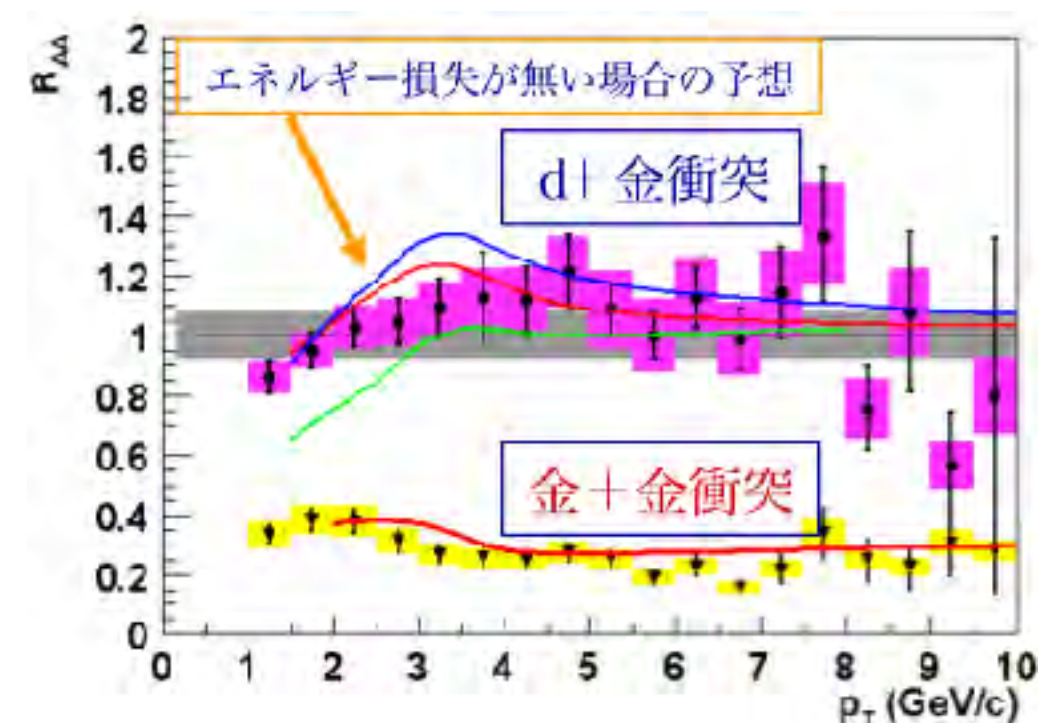
✓ pp衝突の重ね合わせと比較

Nuclear Modification Factor;

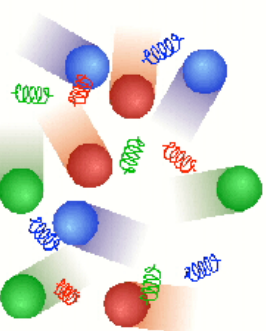
$$R_{AA} = \frac{\text{"hot/dense QCD medium"}}{\text{"QCD vacuum"}} = \frac{dn_{AA}/dp_T dy}{\langle N_{\text{binary}} \rangle \cdot dn_{pp}/dp_T dy}$$

✓ AA中心衝突では高横運動量領域で「減少」

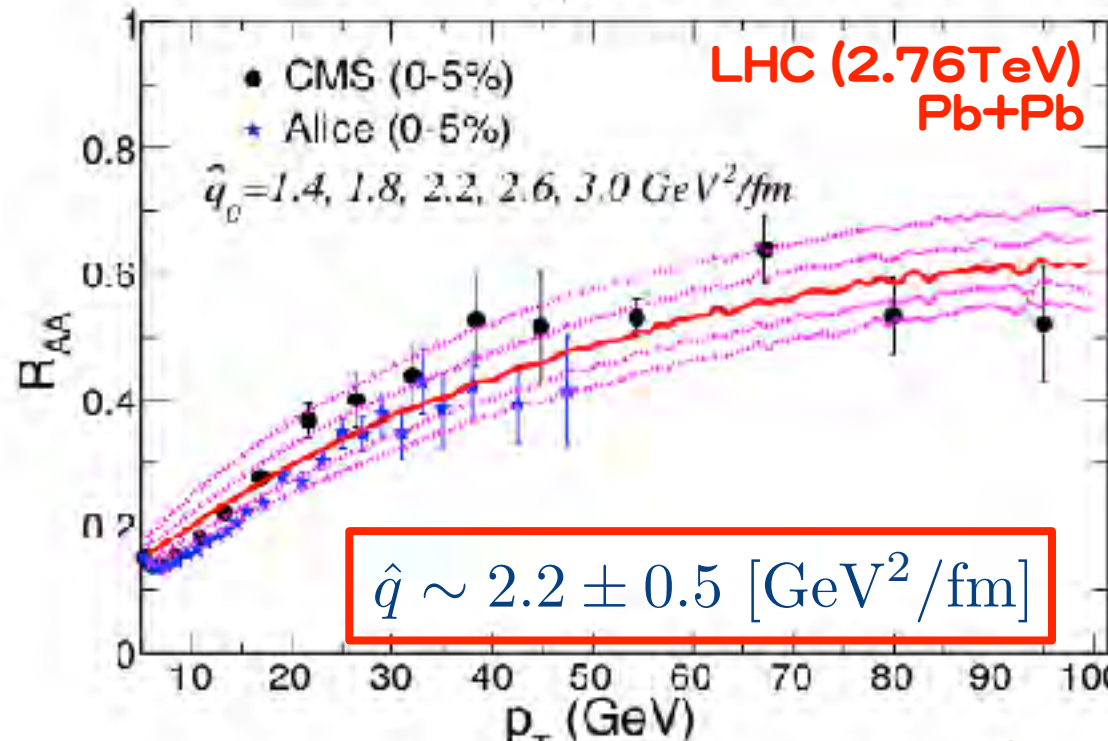
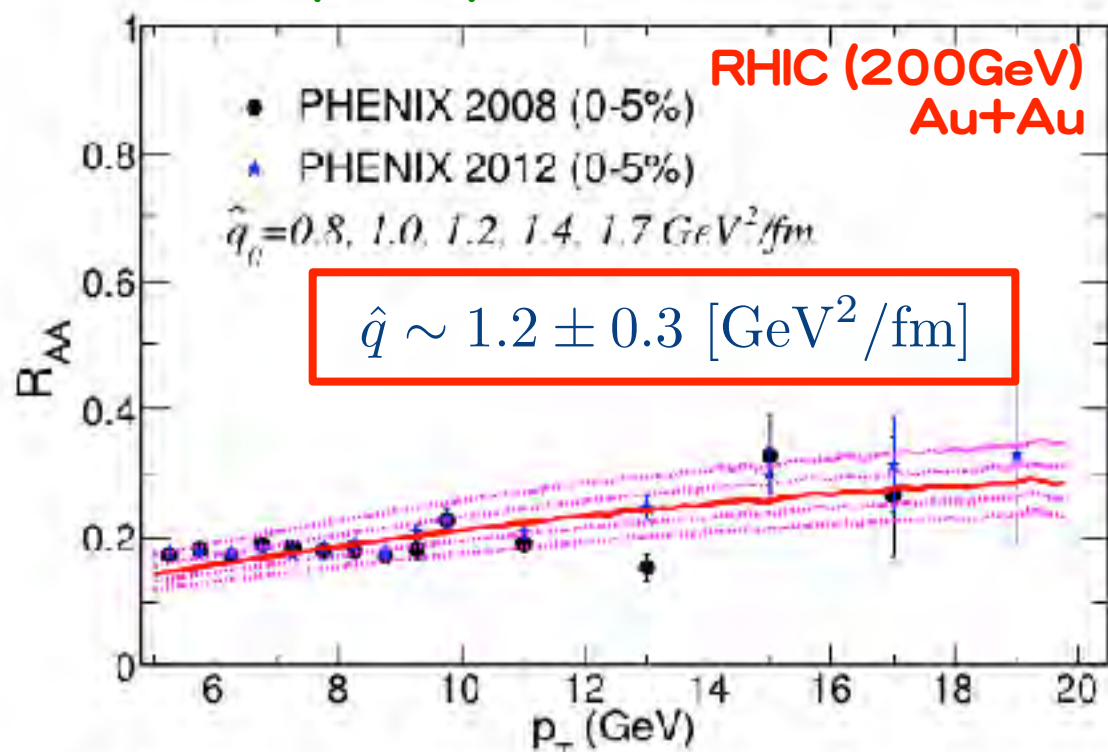
✓ dAuではなく、AuAuで見られることからJet Quenchか？



エネルギー損失量



PRC90(2014)14909



✓ 3次元理想流体力学模型による
時間発展計算

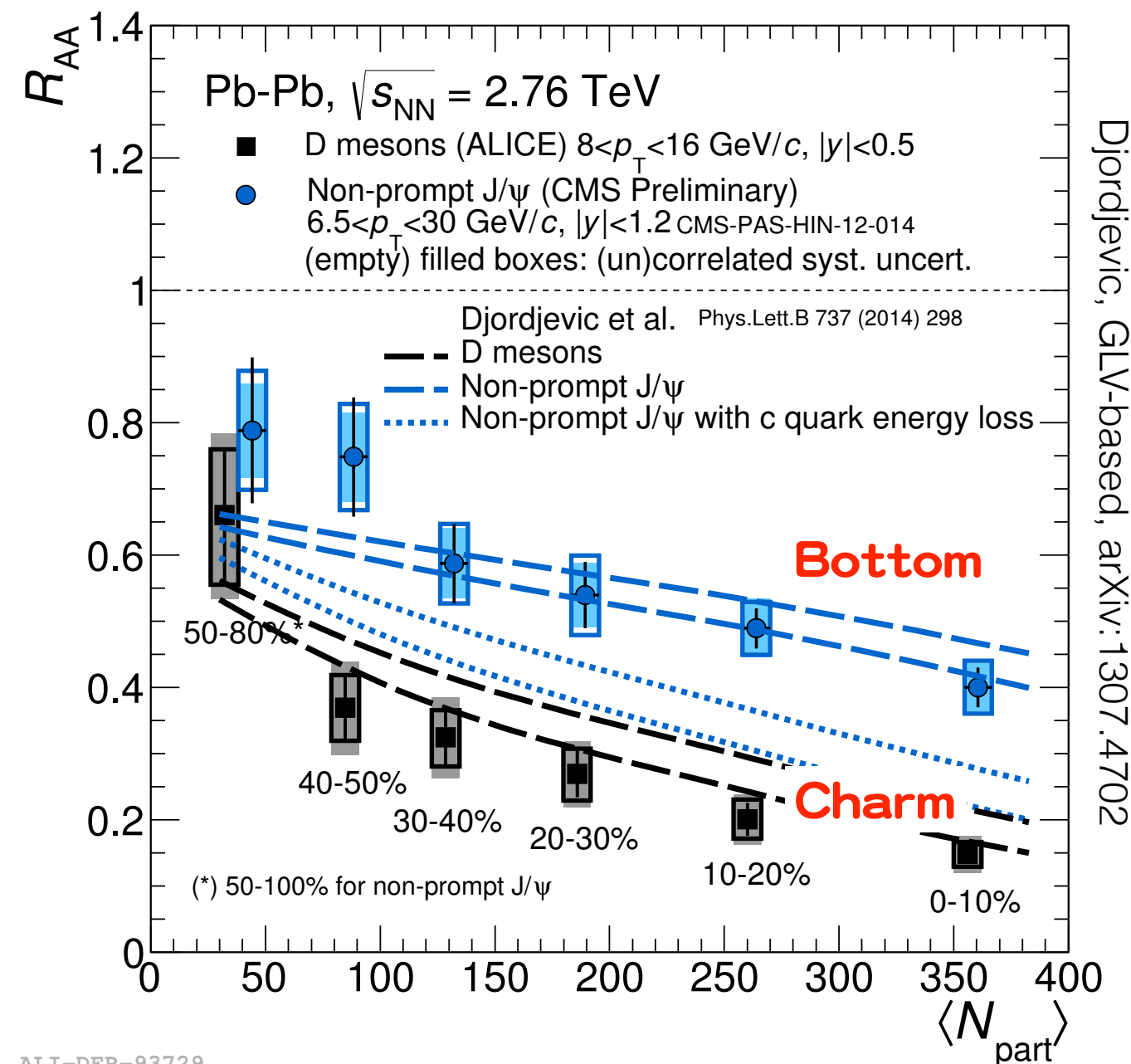
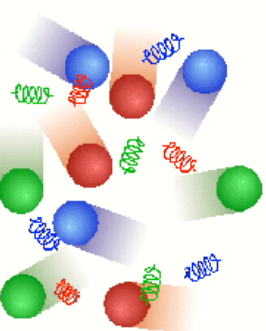
- Glauber w. Wood-Saxonを仮定
- RHIC Au+Au central collision
- LHC Pb+Pb central collision

✓ RHICからLHCで約2倍に

- グルオン密度比~2に対応！？

$$\frac{(\hat{q})_{\text{LHC}}}{(\hat{q})_{\text{RHIC}}} \sim \frac{2.2}{1.2} \sim 1.8 \leftrightarrow \frac{\left(\frac{dN_{\text{ch}}}{dy}\right)_{\text{LHC}}}{\left(\frac{dN_{\text{ch}}}{dy}\right)_{\text{RHIC}}} = \frac{1584}{687} \sim 2$$

パートン質量による違い



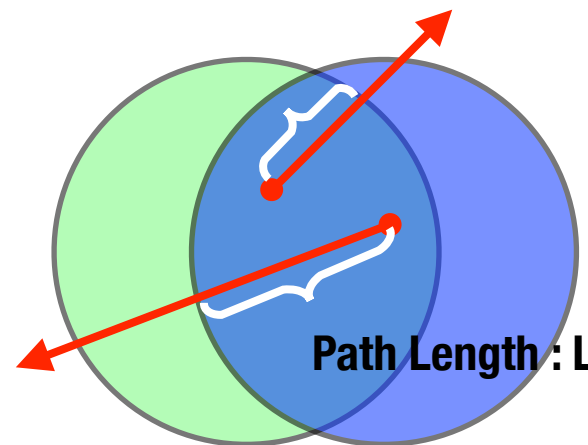
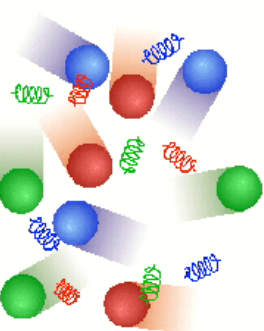
✓ B中間子からのJ/ ψ と
D中間子の R_{AA} を比較

- D中間子; charmを含む
- B中間子; bottomを含む

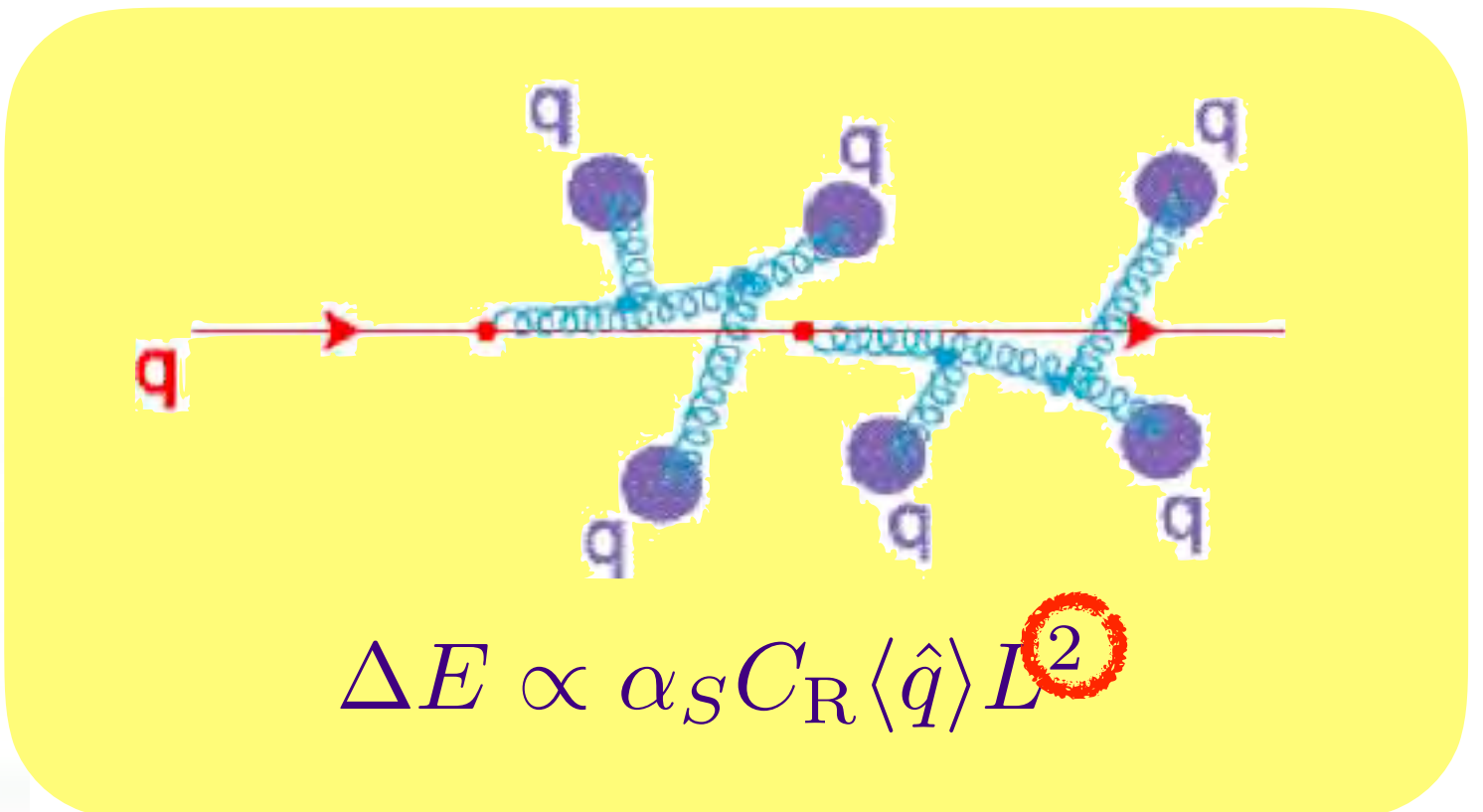
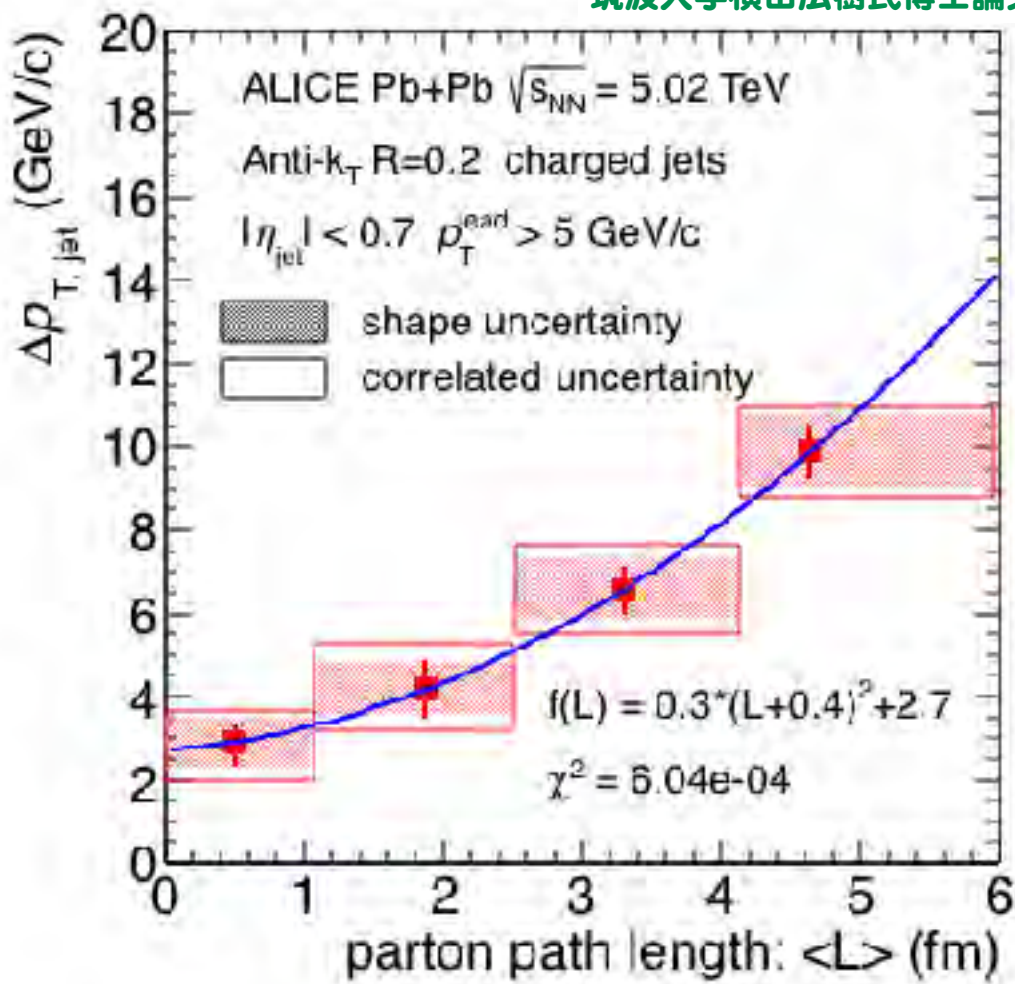
✓ 理論予測通り

$$\Delta E_{\text{gluon}} > \Delta E_{\text{quark}} > \Delta E_{\text{charm}} > \Delta E_{\text{bottom}}$$

ジェットで観測したエネルギー損失

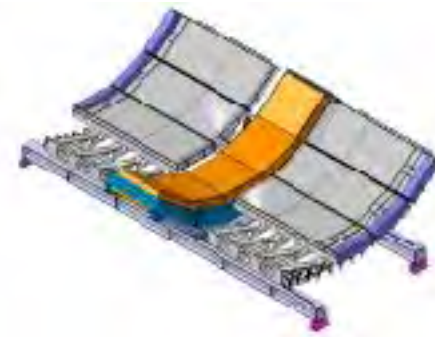


筑波大学横山広樹氏博士論文より

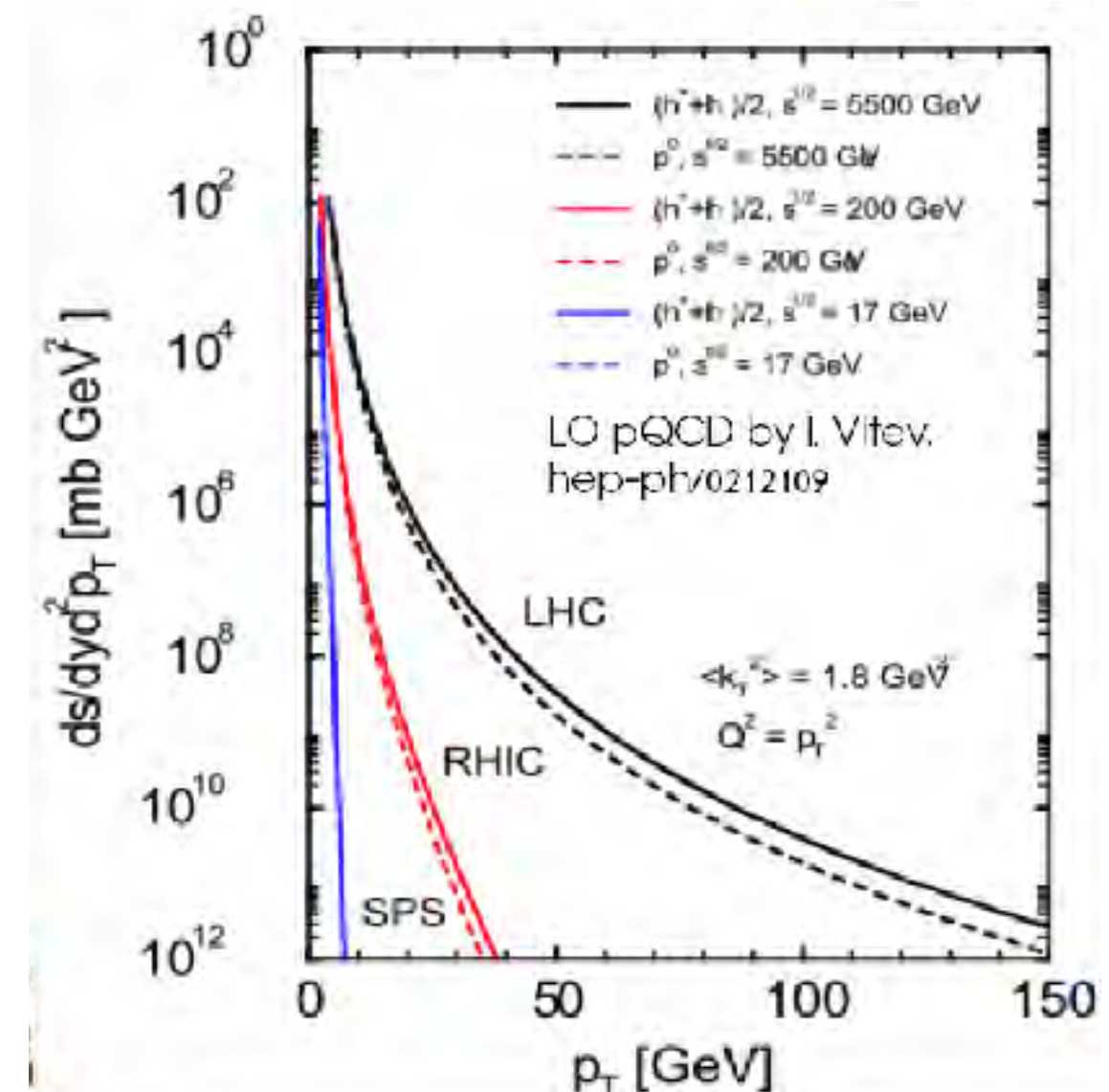


?!
✓ 乞うご期待！

研究の流れ： なぜRHICからLHCへ



	RHIC	LHC
$\sqrt{s_{NN}}$ (GeV)	200	5500
T/T_c	1.9	3.0-4.2
ε (GeV/fm ³)	5	15-60
τ_{QGP} (fm/c)	2-4	>10

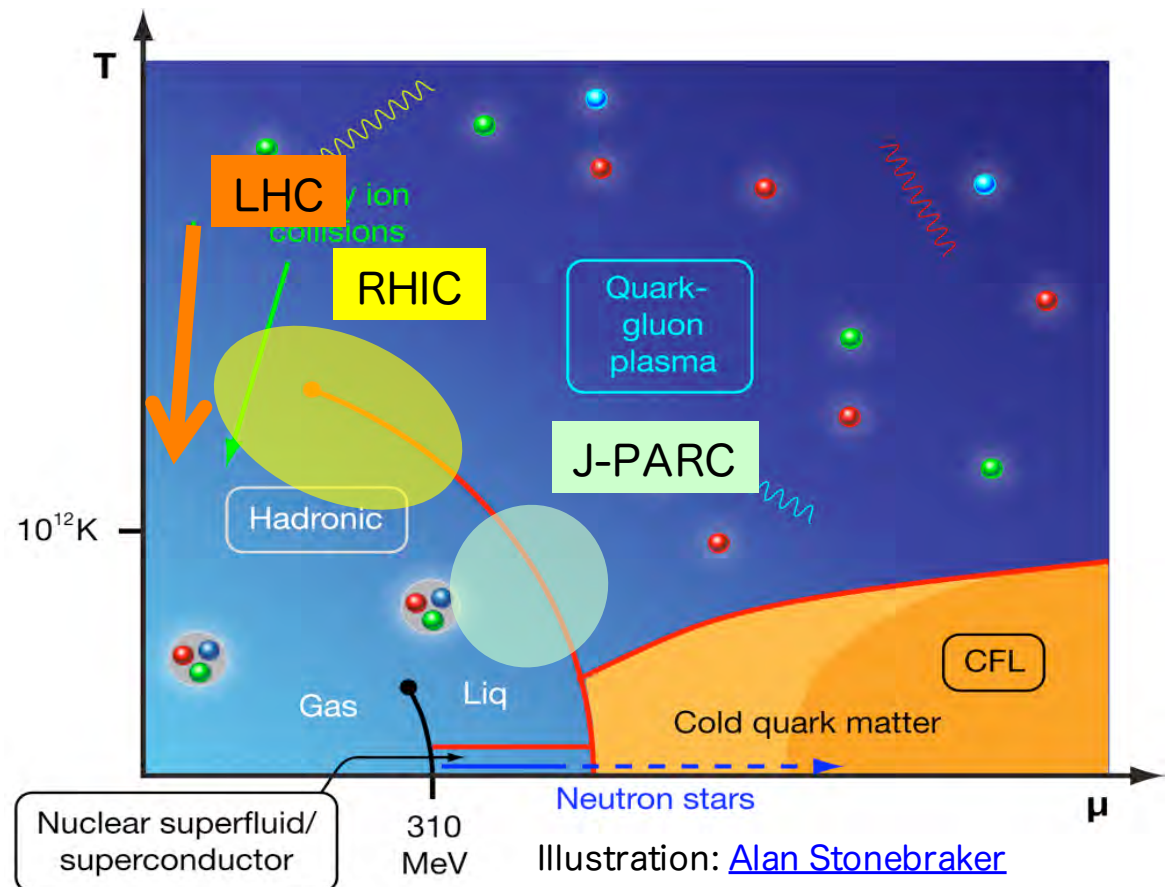
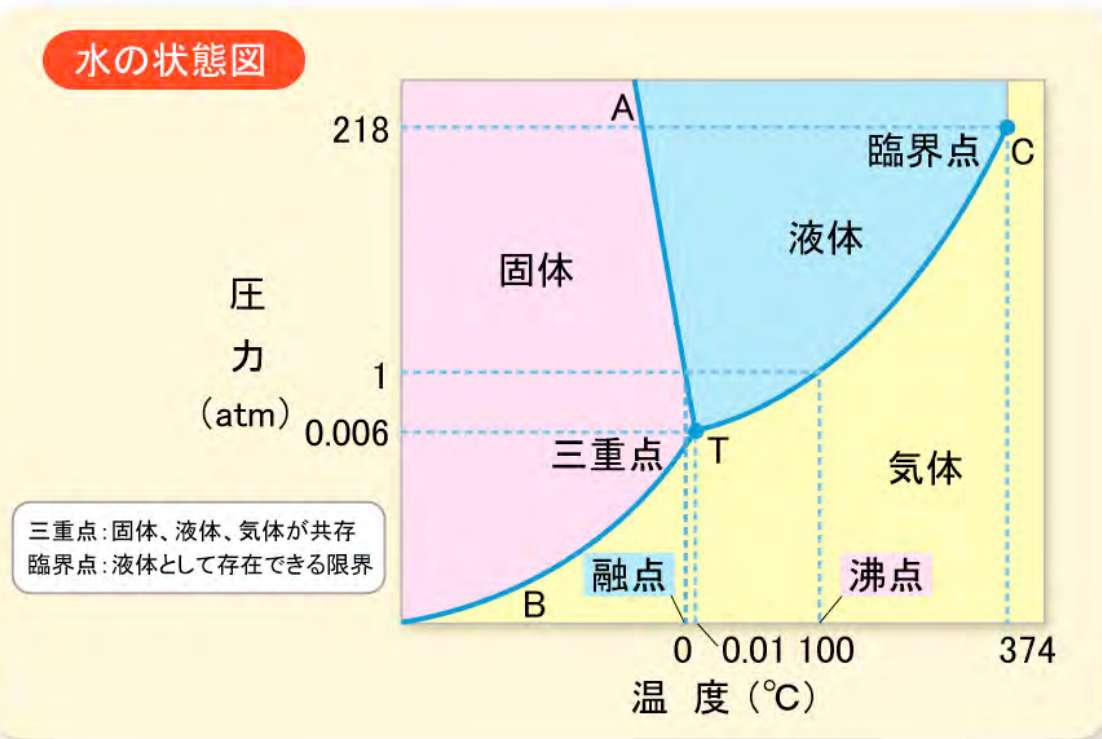
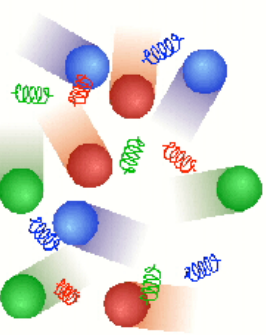


✓ LHCをRHICと比べると、

- 到達温度やエネルギー密度が数倍大きい
- ジェットの生成量 (数桁)

→粘性やdE/dxの
エネルギー密度依
存性

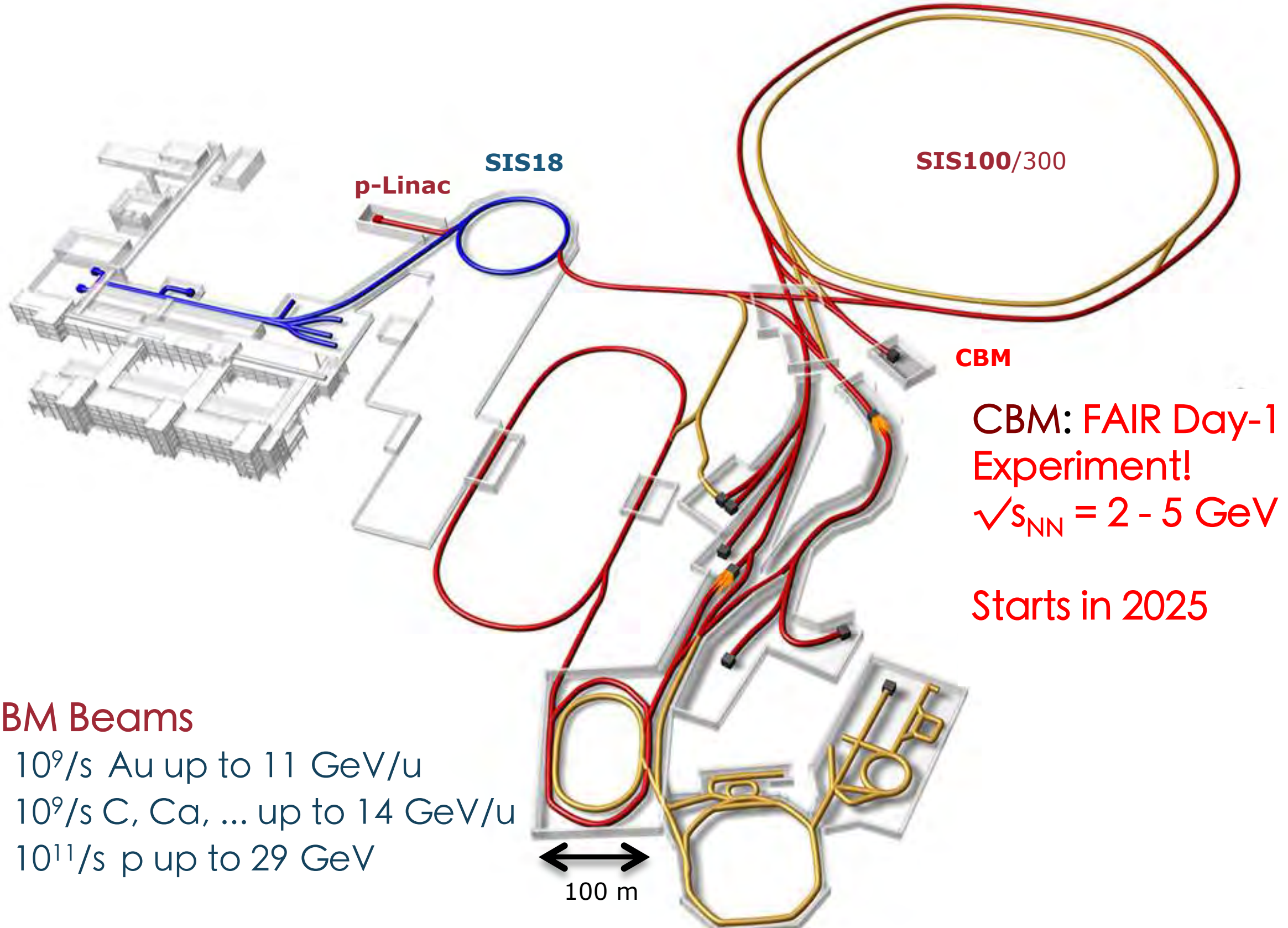
今後) 相構造の理解を目指して



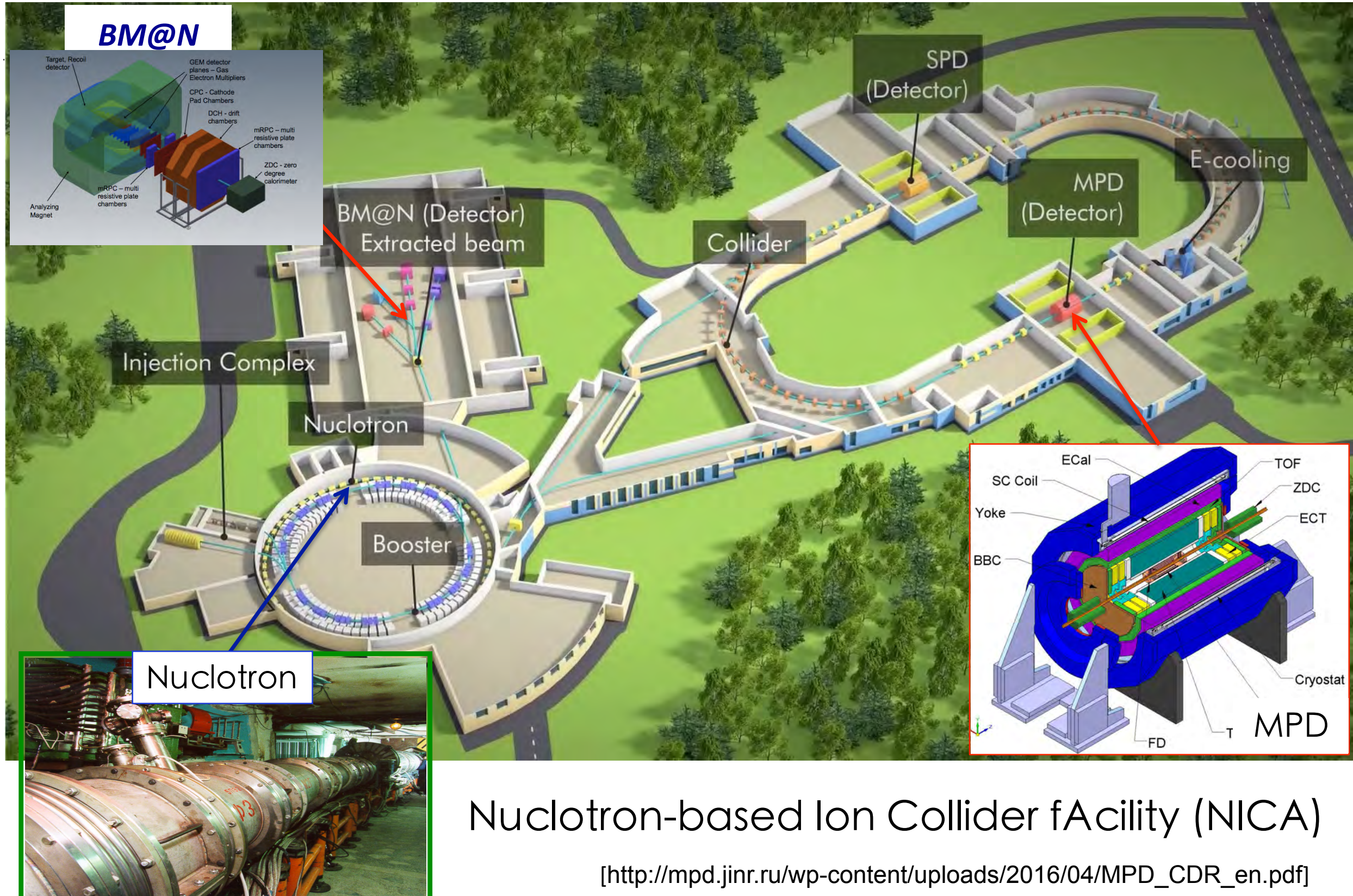
✓ 加速器の進化／建設が不可欠

	Machine	Beam+Target	Ecm [GeV]
1987 -	米国・BNL・AGS	Si+Au	5A
1992 -	米国 BNL・AGS	Au + Au	4A
2000 -	米国・BNL・RHIC	Au + Au	130A - 200A
2011 -	欧州・CERN・LHC	Pb+Pb	2900-6300A
2025	独・FAIR	p, C, Ca ,,, Au	2 - 5 A
2023??	露・NICA、中・HIAF、日・J-PARC	p,,,U?	4 - 11A、()、2-6.2A

Facility for Antiproton & Ion Research: FAIR



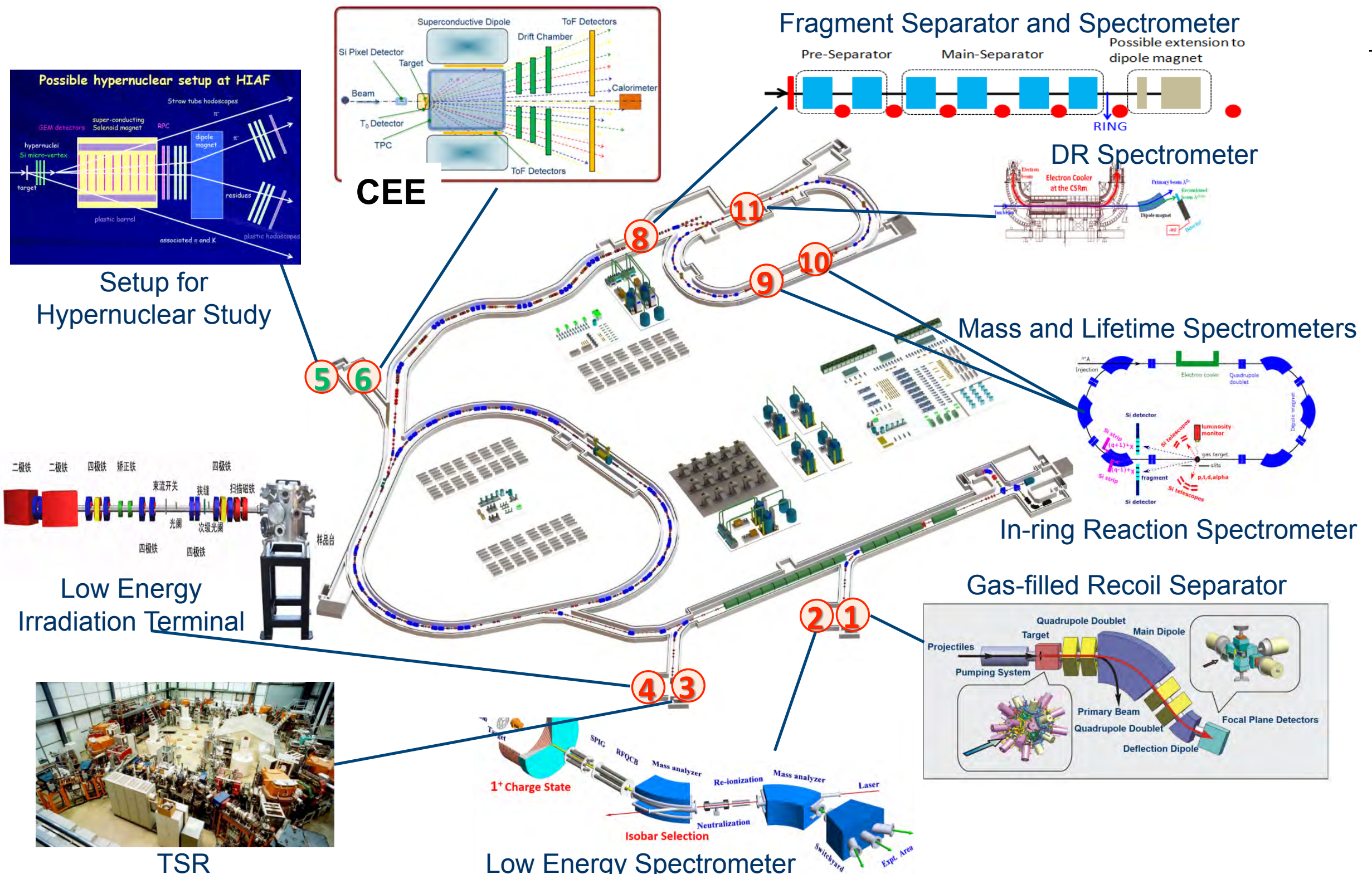
Experiments at NICA $\sqrt{s_{NN}} = 4 - 11 \text{ GeV}$



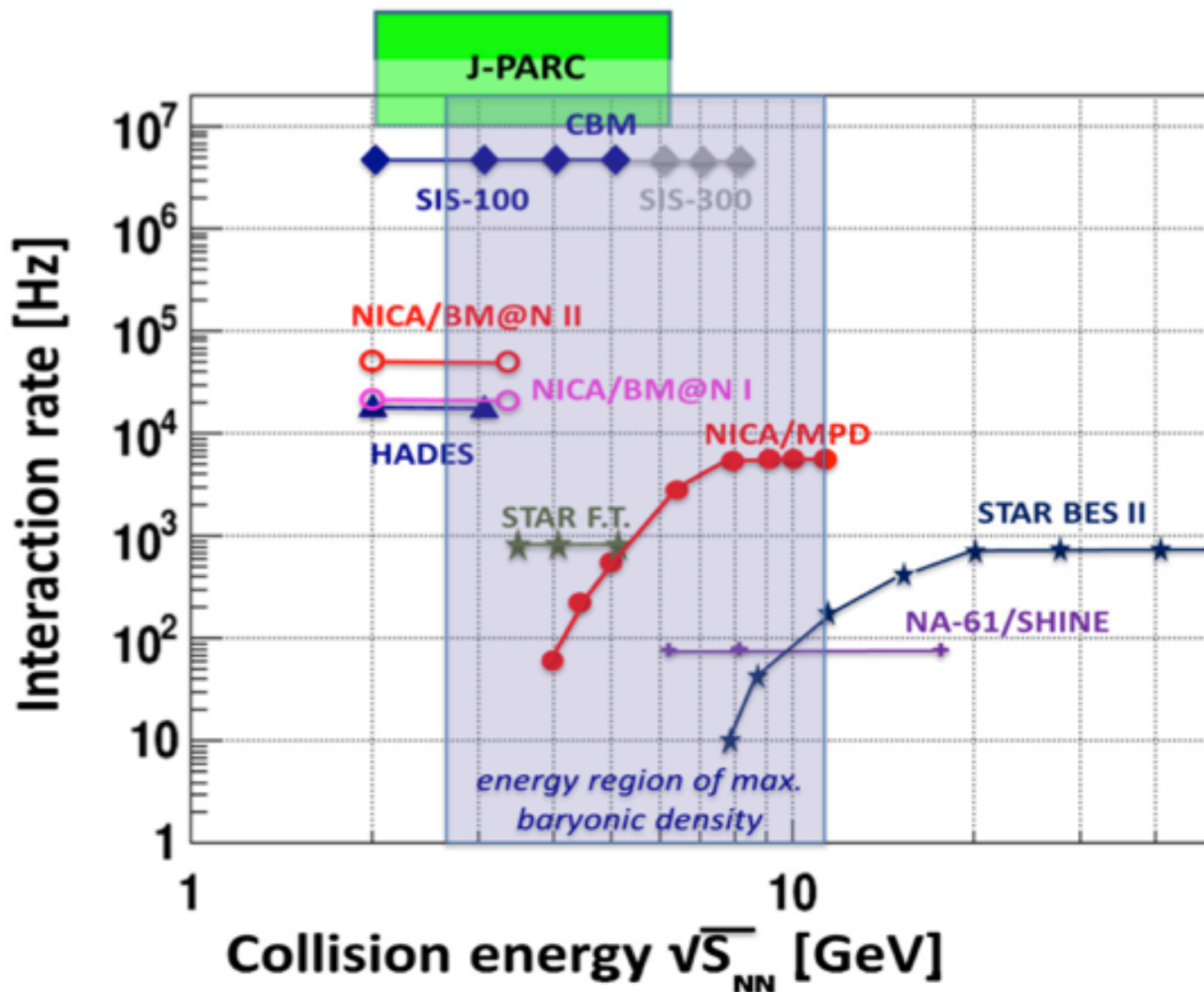
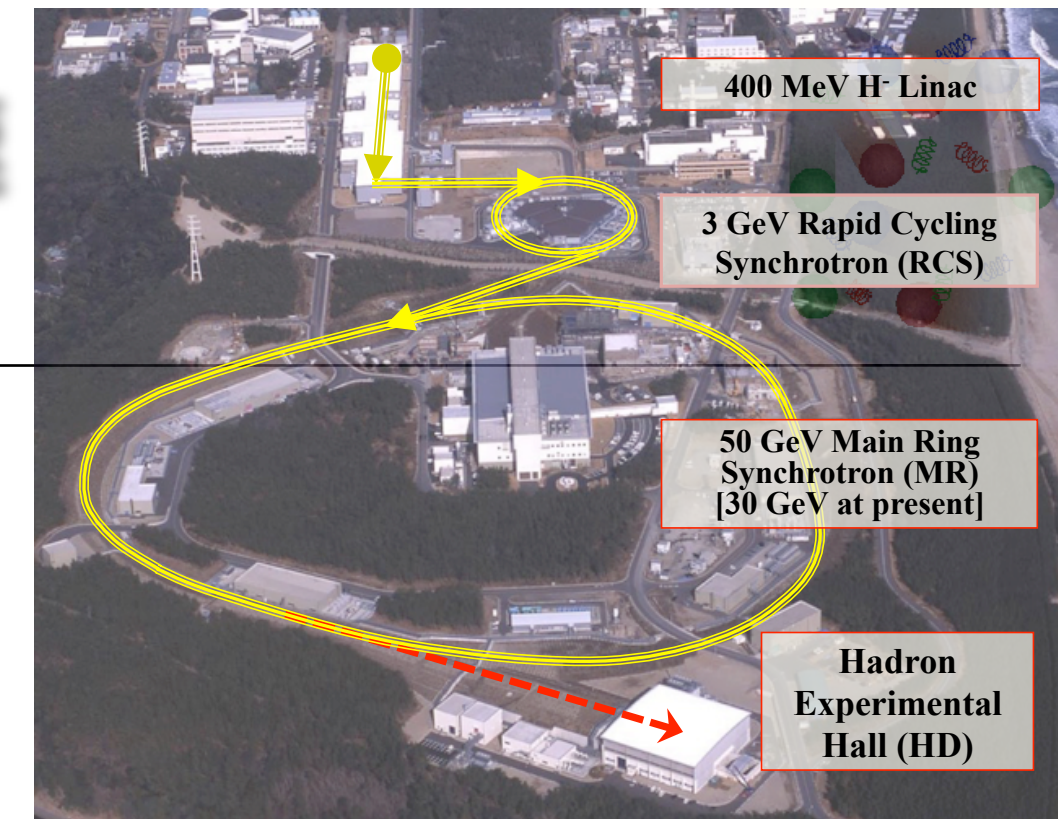
Nuclotron-based Ion Collider fAcility (NICA)

[http://mpd.jinr.ru/wp-content/uploads/2016/04/MPD_CDR_en.pdf]

High Intensity Accelerator Facility (2023)



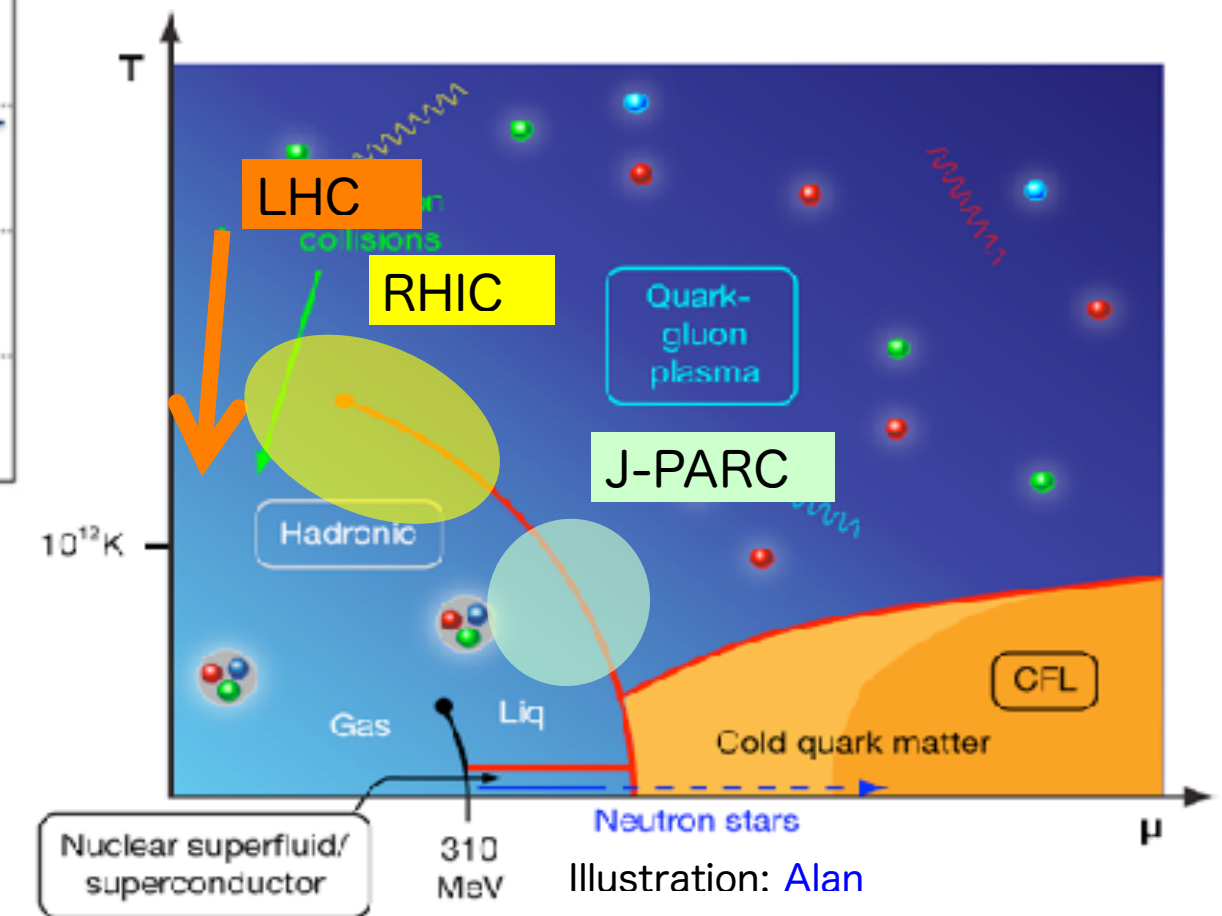
J-PARCにおける重イオン加速 (計画中)



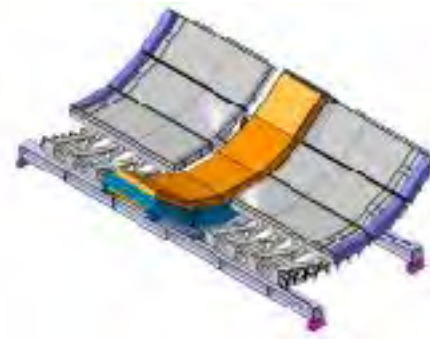
✓ $\sqrt{s_{NN}} = 2\text{-}6 \text{ GeV}$

✓ 10^8 Hz の高衝突率

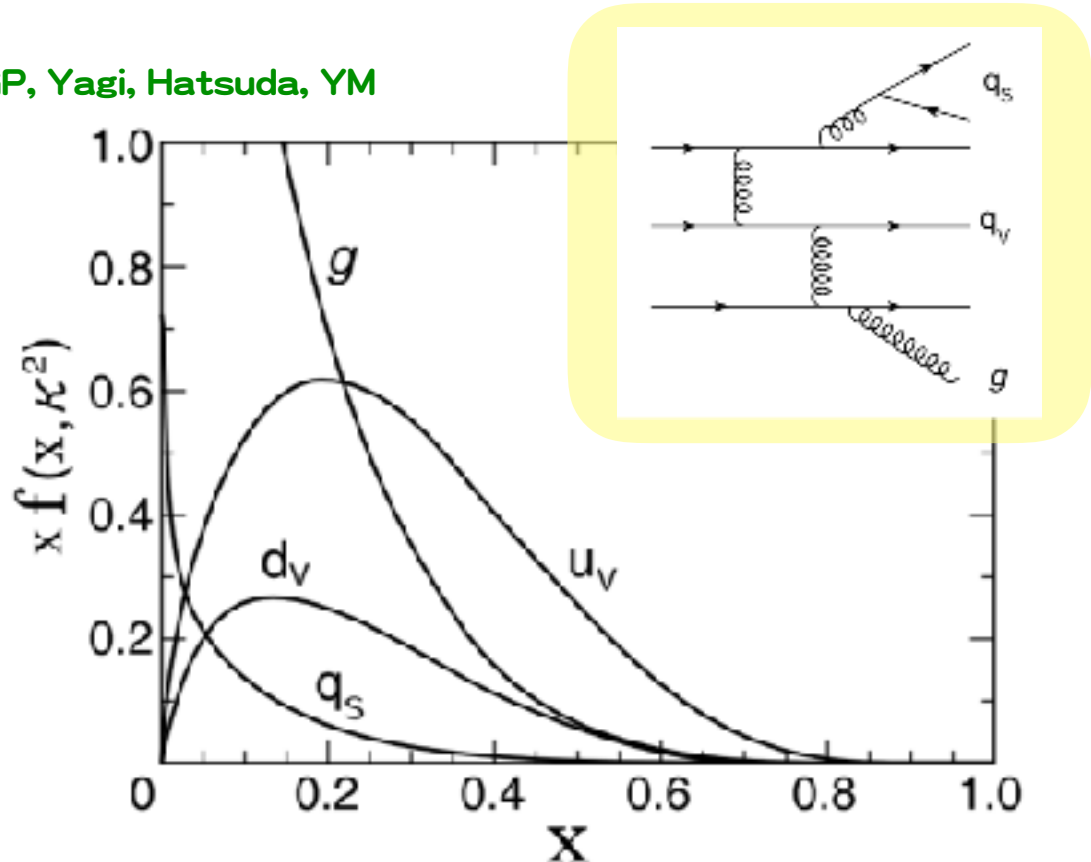
✓ LHC, RHICで探索できない $\rho / \rho_0 \sim 5\text{-}10$ の高密度状態の研究



課題 1 ; 初期状態の解明



QGP, Yagi, Hatsuda, YM



✓なぜこんなに早く熱化した
QGP状態ができるのか？

✓そもそも初期状態は？

→Gluon saturation?

→Color Glass Condensate状態？

✓高エネルギーではグルオン
が大量に生成→どこかで飽
和するはず

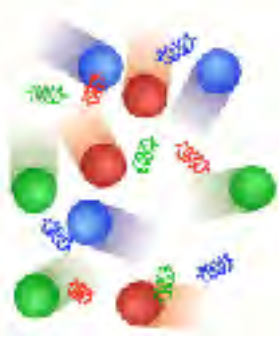
- Gluon saturationの明確な
証拠？

- 原子核の方が見つけやすい

$$Q_s^p \sim \alpha_s \frac{xg(x, Q_s^2)}{\pi R^2}$$

$$\rightarrow Q_s^A \sim \alpha_s \frac{Axg(x, Q_s^2)}{\pi(r_0 A^{1/3})^2} \propto A^{1/3}$$

初期状態解明に向けたR&D (中條)



✓ Small xのフロンティア

- LHC; \sqrt{s} が最高
- y が大きく、 p_t が小さい

$$x \sim \frac{2p_t}{\sqrt{s}} \exp(-y)$$

→超前方におけるフォトン測定

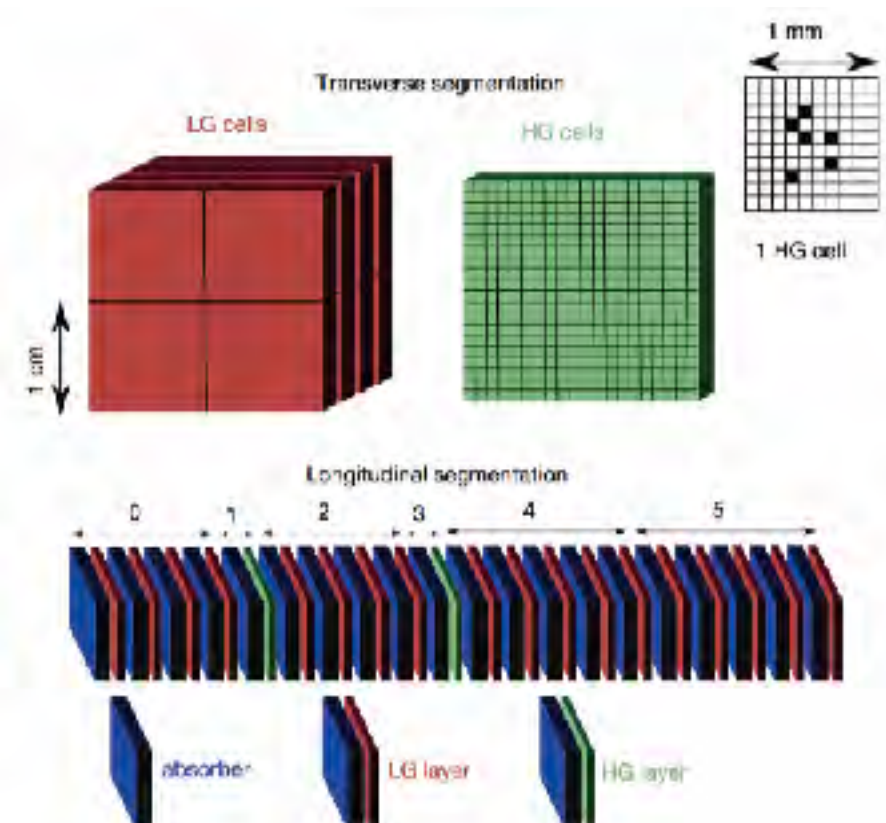
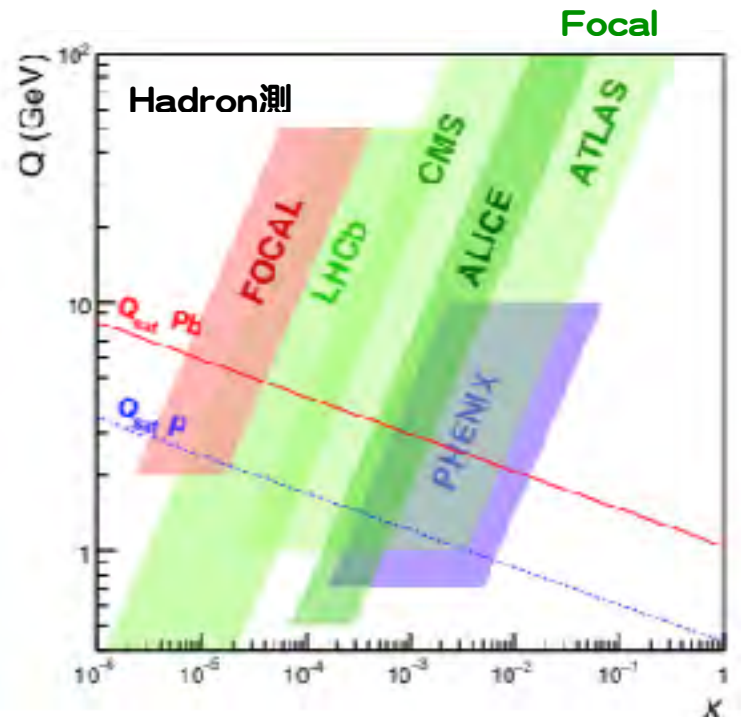
✓ 超高粒子密度環境下の測定

→超高細電磁カロリメータ開発(Focal)

✓ Si - W sampling cal.

- LG ; $1 \times 1 \text{ cm}$ pad (analog)
- HG ; $30 \times 30 \mu\text{m}$ (digital)

✓ Mini-Focal test 7月～9月



FoCal R&D

~2016 PS, SPS
4セグメント実験

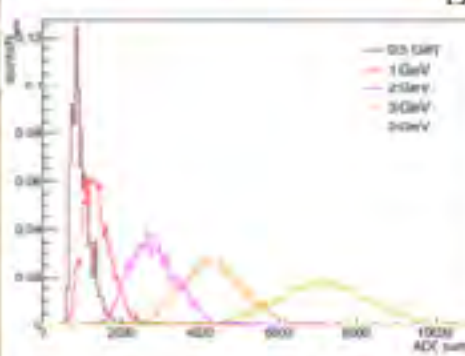
PAD performance at PS/SPS (2014, 2015, 2016)

33



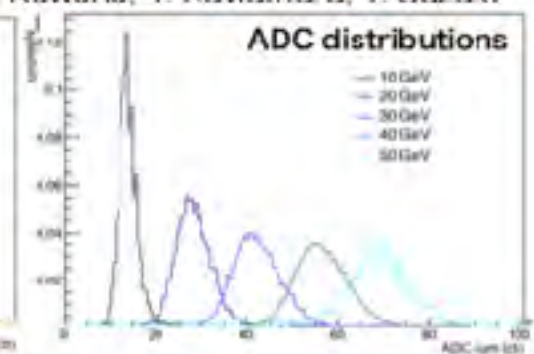
1 ORNL PAD prototypes

Tested by Tsukuba, Nara W. team,
Utrecht, Indian team (2014-2016)
PAD (IP): APV+SRS is used for readout

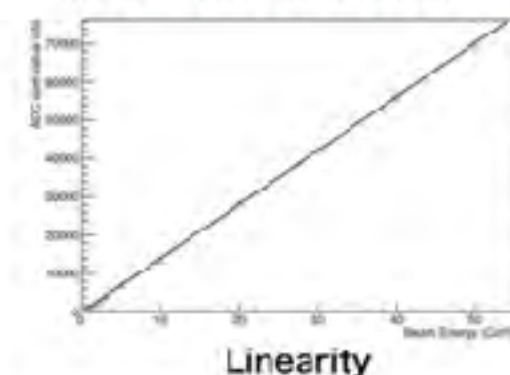


D. Kawana, Y. Kawamura, T. Suzuki

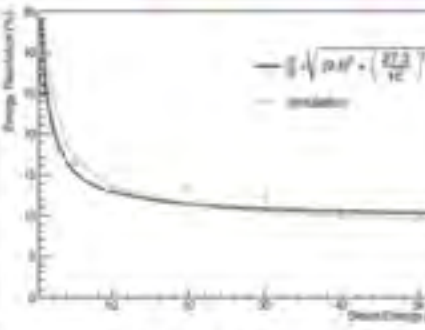
ADC distributions



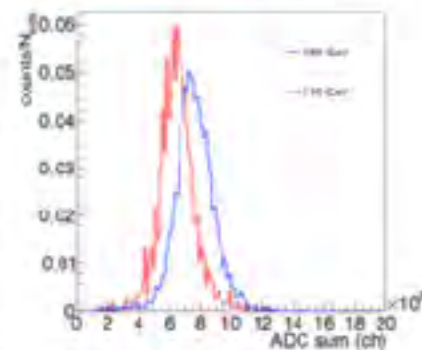
- Prototype working as expected.
- NIM paper under preparation.



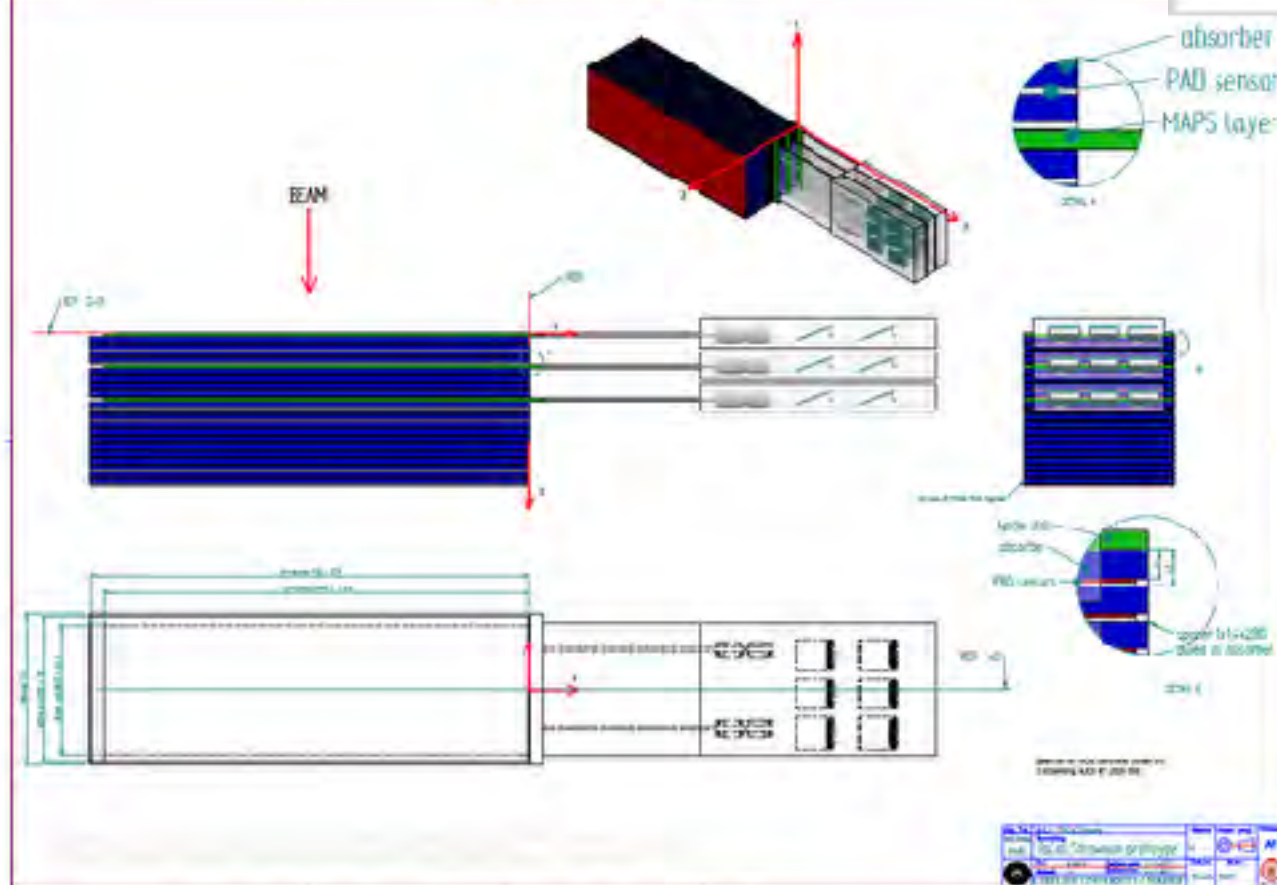
Linearity



Energy resolution



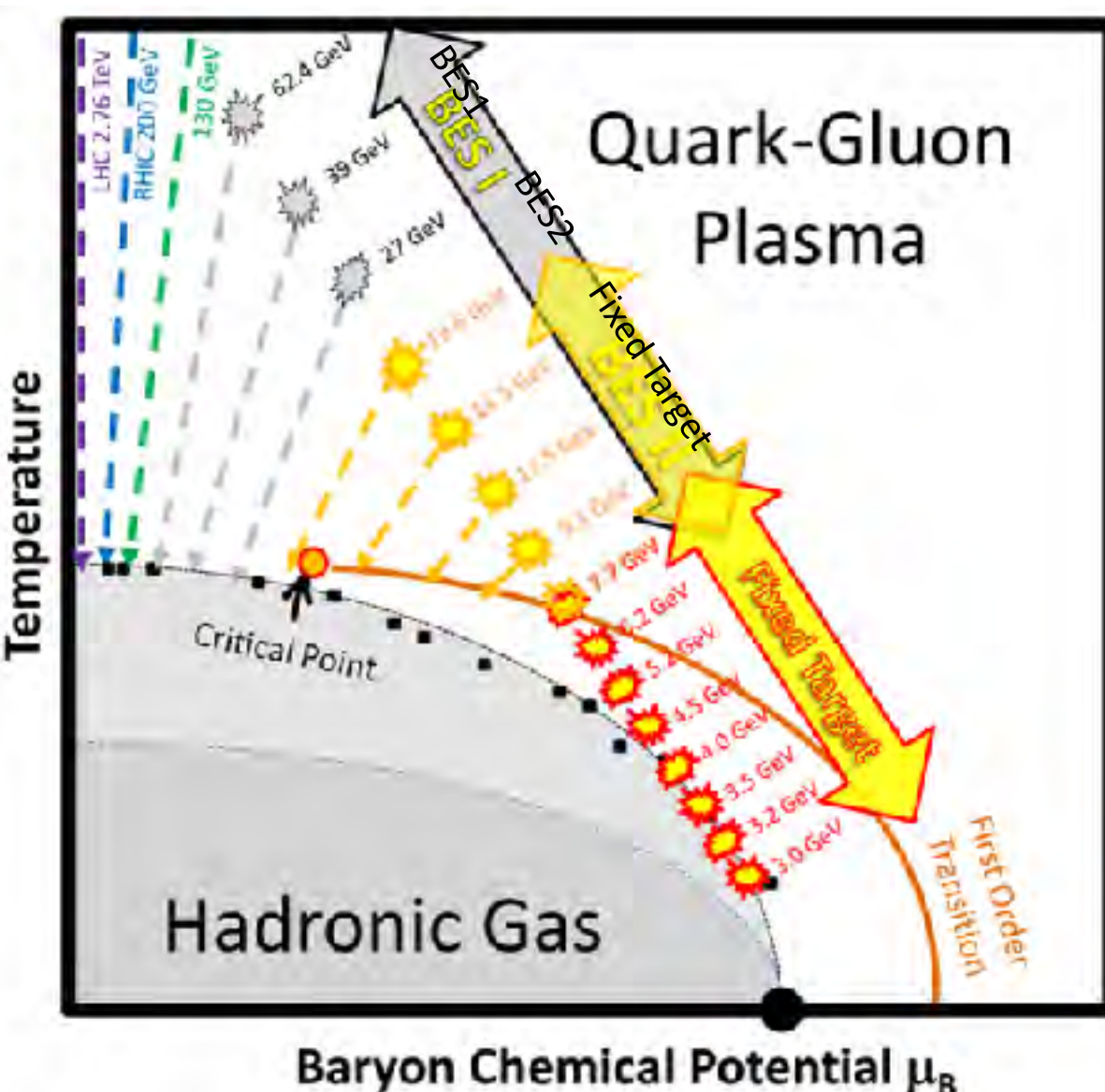
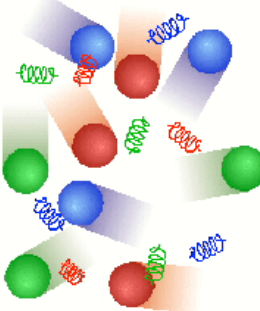
ADC distributions



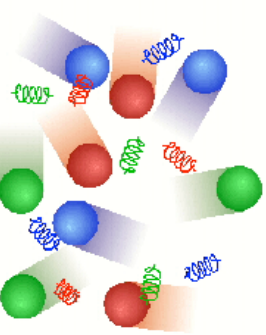
✓ 2018版 Mini-Focal

- APV読み出し回路系改善
 - 20枚、3モジュール
- 出来ればALICE超前方環境下でも測定
(50-100GeVのパイゼロ検出)

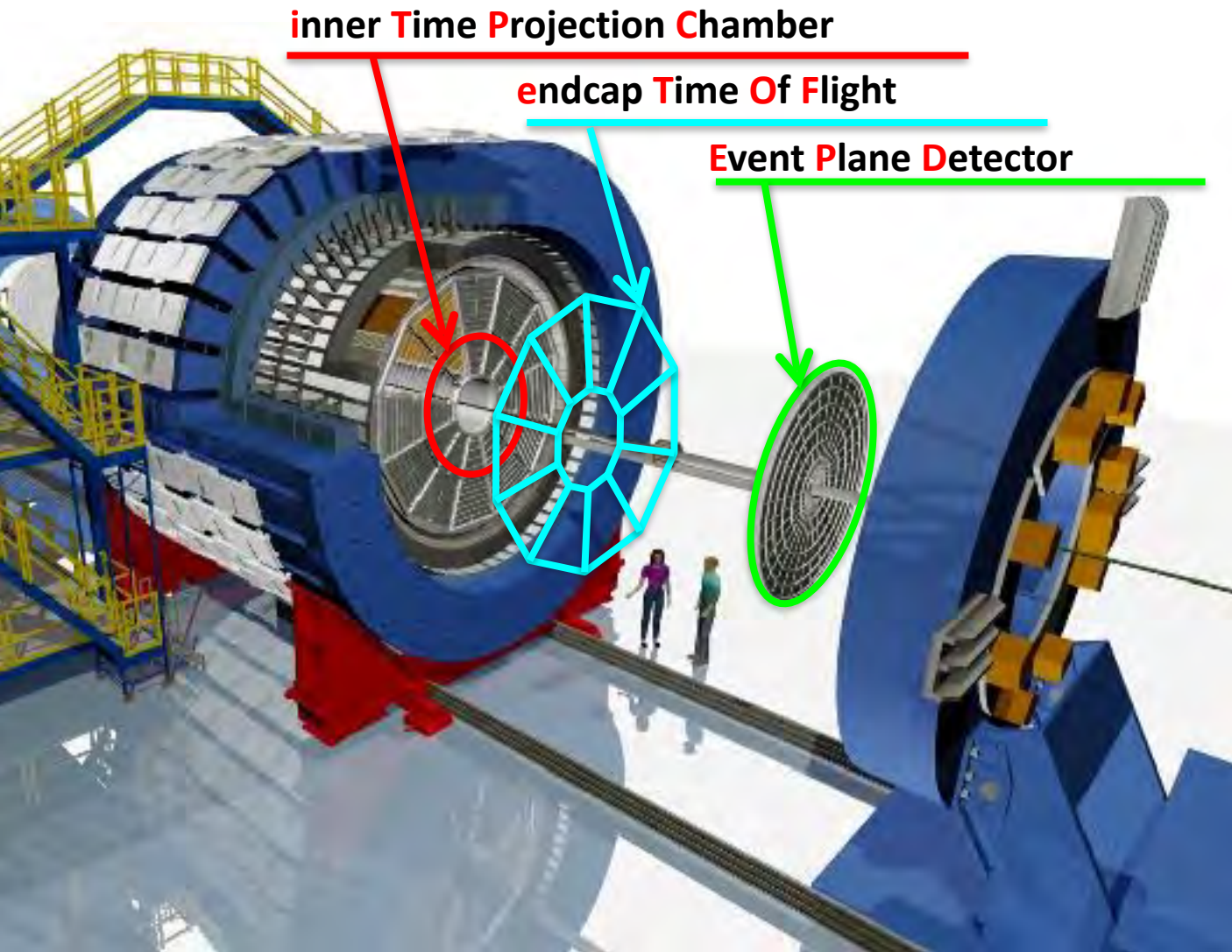
課題2：相構造の理解



臨界点探索

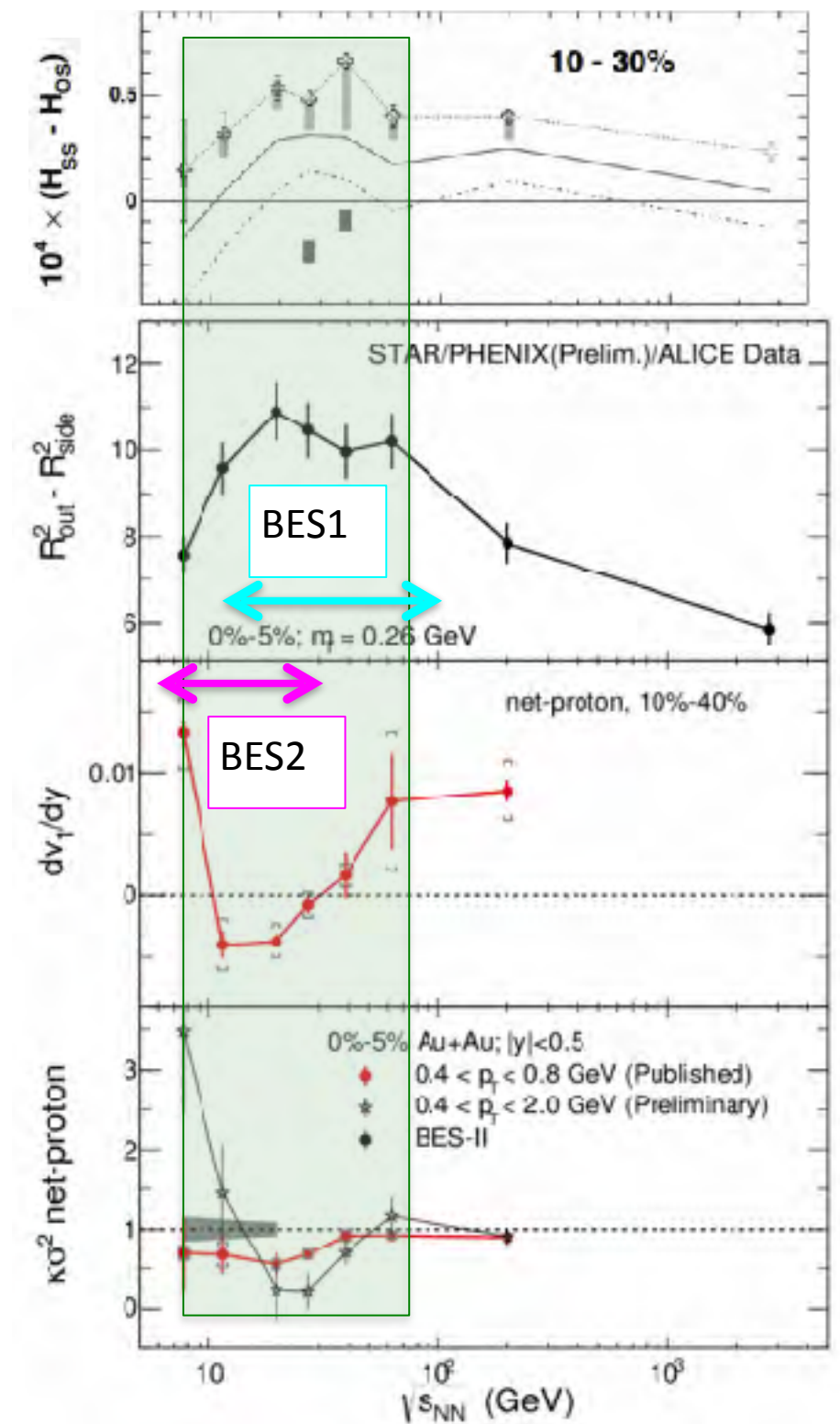


Z. Xu, ICRAQGP2015

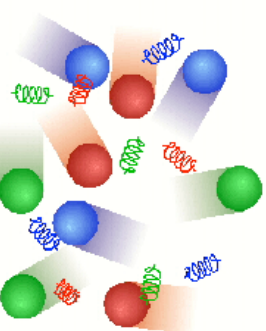


✓✓ $\sqrt{s} \sim 10 - 20 \text{ GeV}$ 前後に種々
の信号において特徴的变化！？

→ そこに何かありそう！

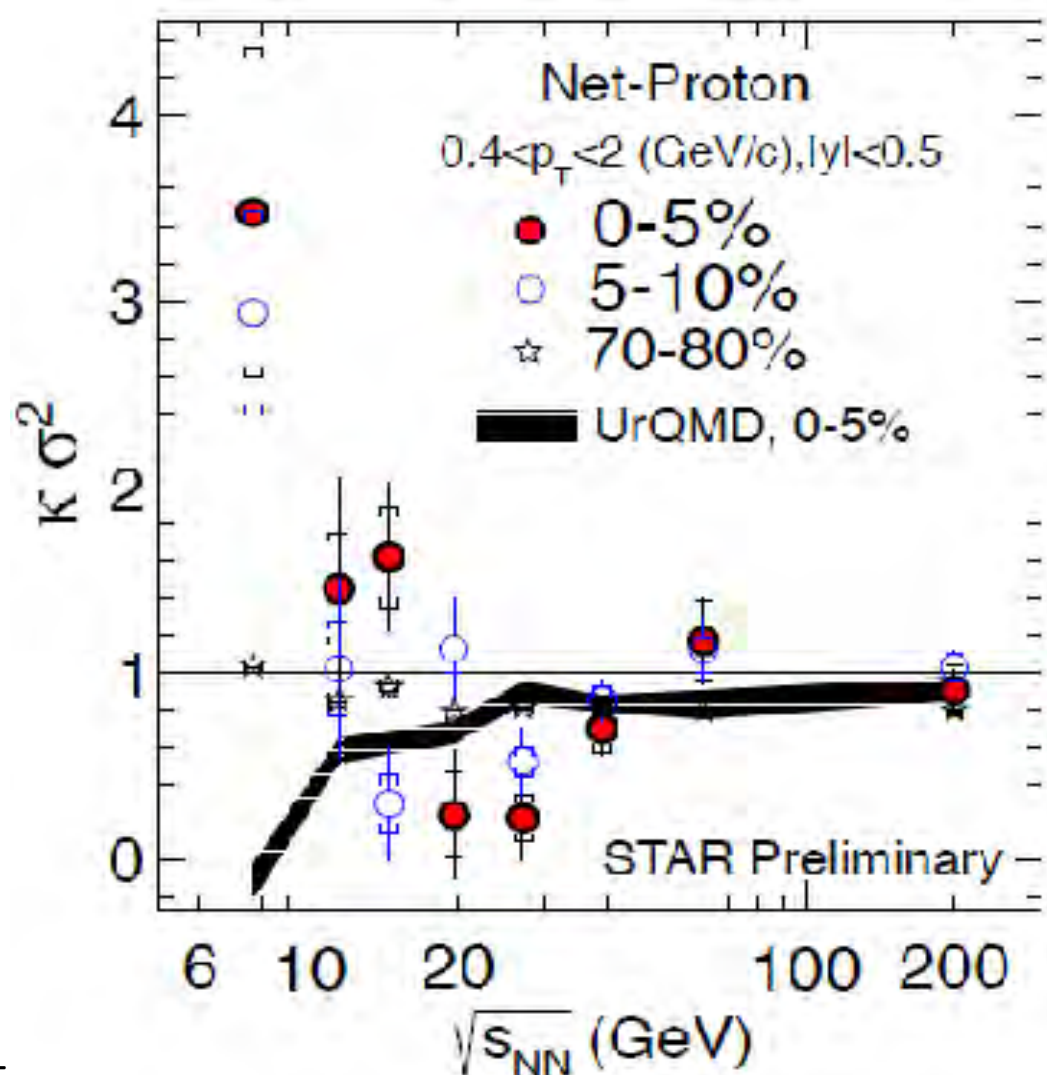
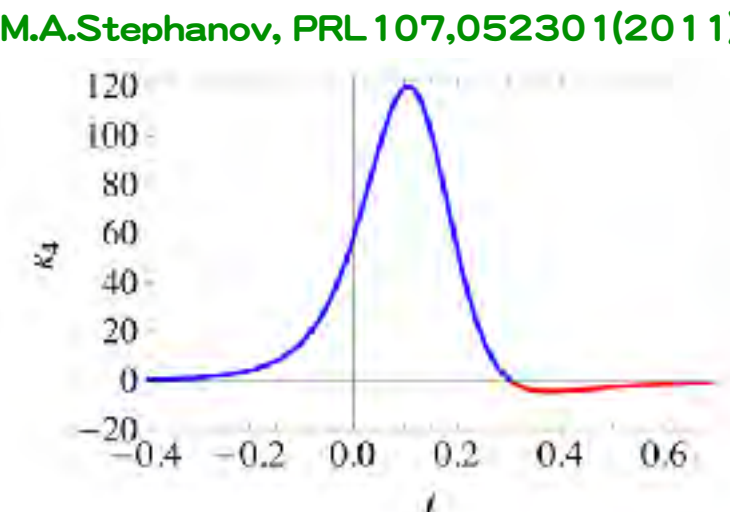


揺らぎによる臨界点探索 (江角)



臨界点
を示唆？

Net proton数の
4次の揺らぎ



✓ 相転移によると、臨界点付近では
相関長が伸びる
• 揺らぎが変化する！

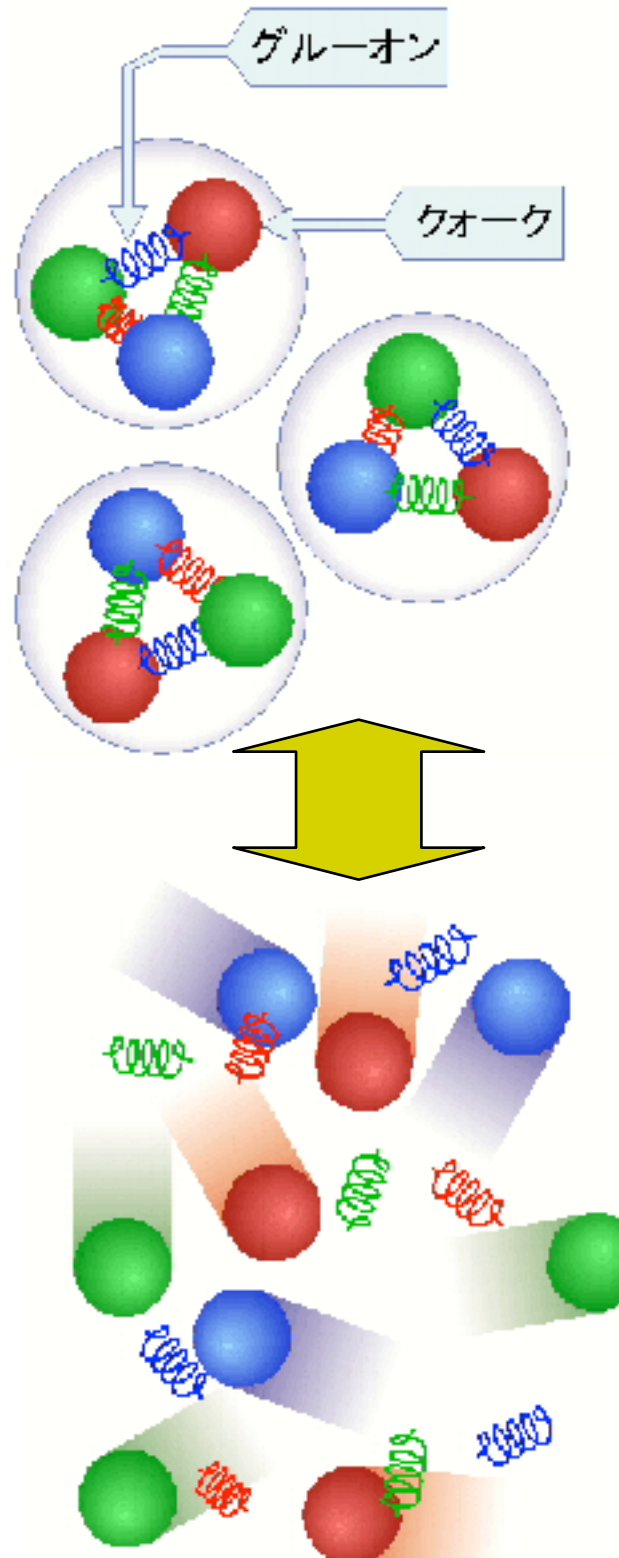
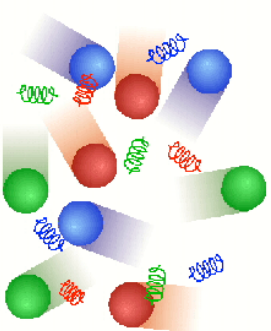
→ Cumulant 1-4 ; mean, sigma,
skewness, kurtosis

✓ より高感度の揺らぎ観測のために、
高次のモーメントを求める計算方
法を新提案

→ T.Nonaka, S.Esumi et.al.,
PRC95,064912(2017)

• 200GeVにおいて6次のモーメント
を初めて測定
→ 野中俊宏氏博士論文

QGP物理でわかったこと、わかつてないこと



✓わかったこと；

- QGP生成とQGP物性の手がかり
 - 流体力学的理解
 - 特徴的エネルギー損失の様子

✓わかつてないこと；

- なぜこんなに早く熱化できるのか？（初期状態は？）
 - LHC実験FoCalプロジェクト
- QCD相転移の構造（臨界点、次数）
 - RHIC STAR実験Beam Energy Scan

✓将来；J-Parc, Fair, HIAF, NICA

RHIC-STAR実験(2019-2020)と J-PARC重イオン実験(2023-)

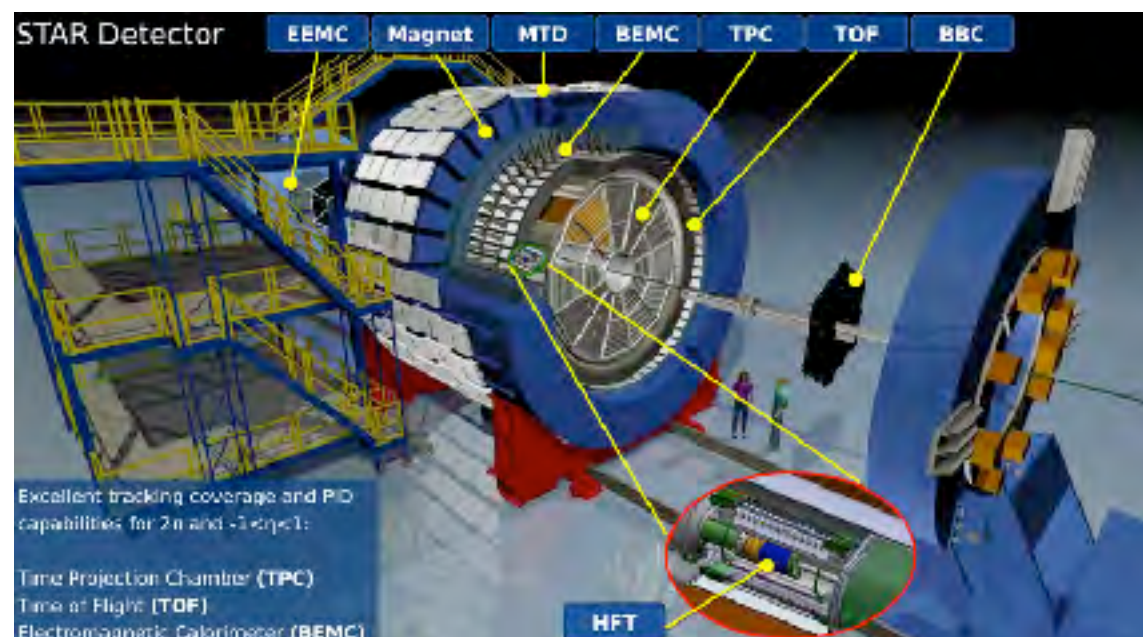
- 物理目標
 - 衝突エネルギー走査実験(@RHIC-STAR実験)や高ビーム輝度を用いた重イオン実験(@J-PARC)による臨界点の探索、相構造の研究

RHIC-STAR実験 (2019-2020)

- 日本グループの新規参加. 衝突反応面検出器の建設
- 揺らぎ、集団運動の測定. これまでの10倍の統計

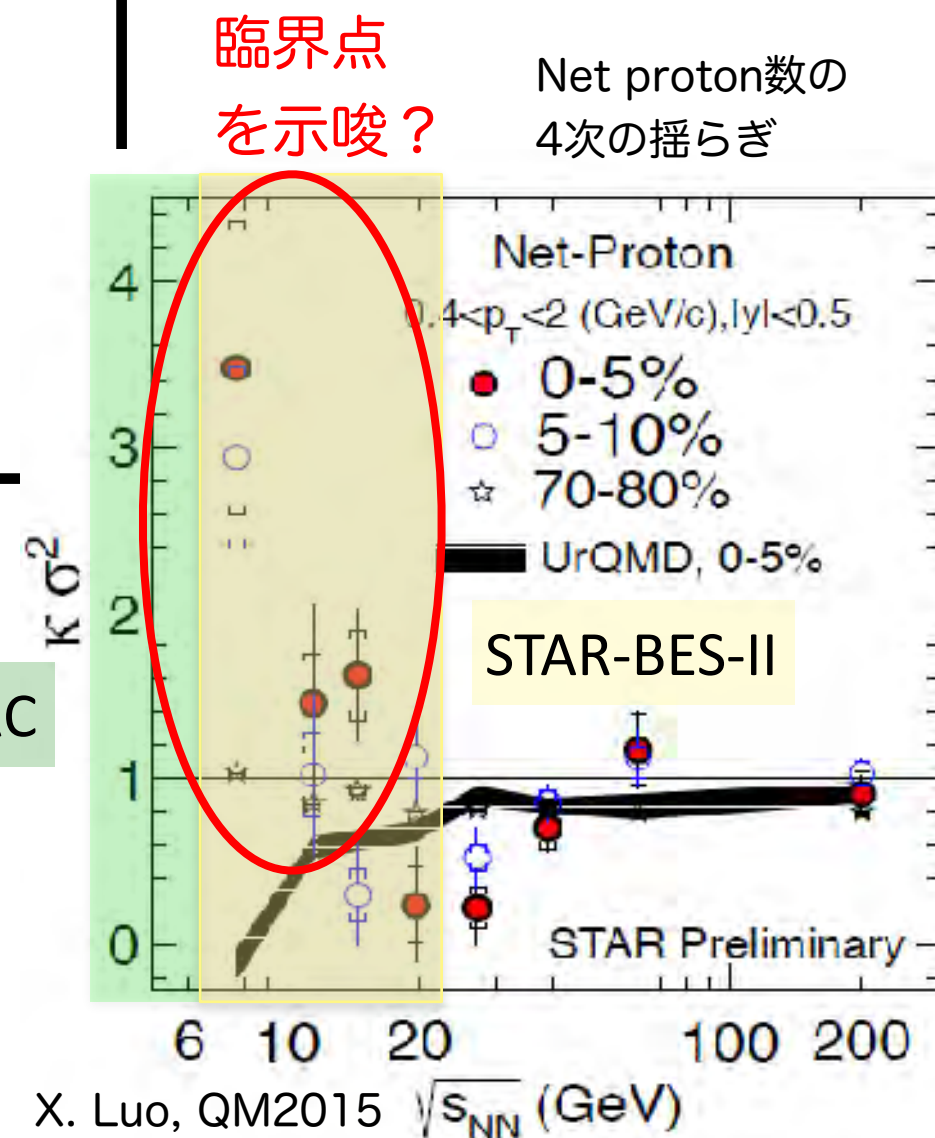
J-PARCでの重イオン実験

- 2023年の開始を目指す.
- $\rho/\rho_0 \sim 5-10$ の高密度物質の研究.



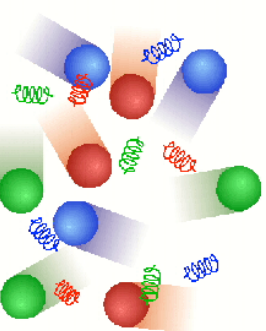
RHIC-STAR実験
12カ国、56機関、
590人からなる
国際共同実験

J-PARC



CM)

大学院生向けのQGPの教科書！



CAMBRIDGE | Catalogue

Home > Catalogue > Quark-Gluon Plasma



Quark-Gluon Plasma

Series: [Cambridge Monographs on Particle Physics, Nuclear Physics and Cosmology](#)

Kohsuke Yagi

Urawa University, Japan

Tetsuo Hatsuda

University of Tokyo

Yasuo Miake

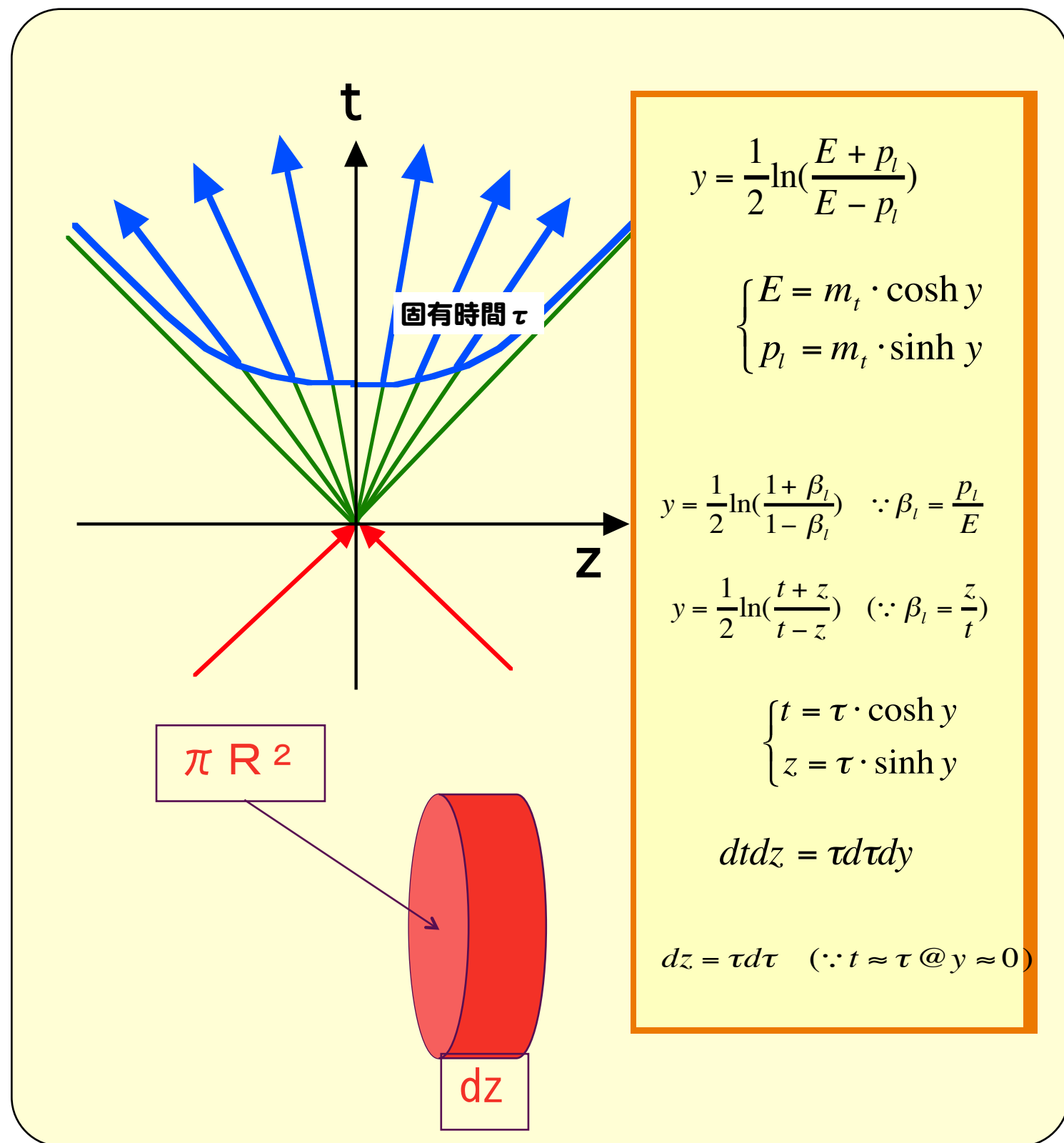
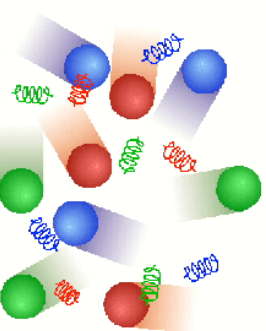
University of Tsukuba, Japan

Amazonでも販売中
中国語版も出ています。

Hardback (ISBN-10: 0521561086 | ISBN-13: 9780521561088)

For price and ordering options, inspection copy requests, and reading group information, please
[UK, Europe, Middle East and Africa](#) | [Americas](#) | [Australia and New Zealand](#)

QGP生成の傍証 1 ; エネルギー密度



✓ Bjorkenの描像

- ローレンツ収縮のために原子核衝突は短時間の間に起こり、その短時間にハドロンの多重発生が起こるが、固有時 τ 以後、それらは自由粒子として飛び出す。

● 到達エネルギー密度の推定

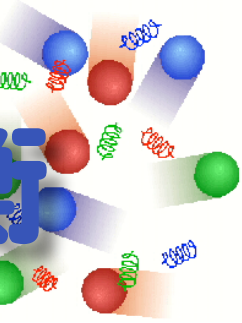
✓ 到達エネルギー密度

- QGP生成に十分な値

$$\varepsilon_{Bj} = \frac{1}{\pi R^2} \frac{1}{c \tau_0} \frac{dE_T}{dy}$$

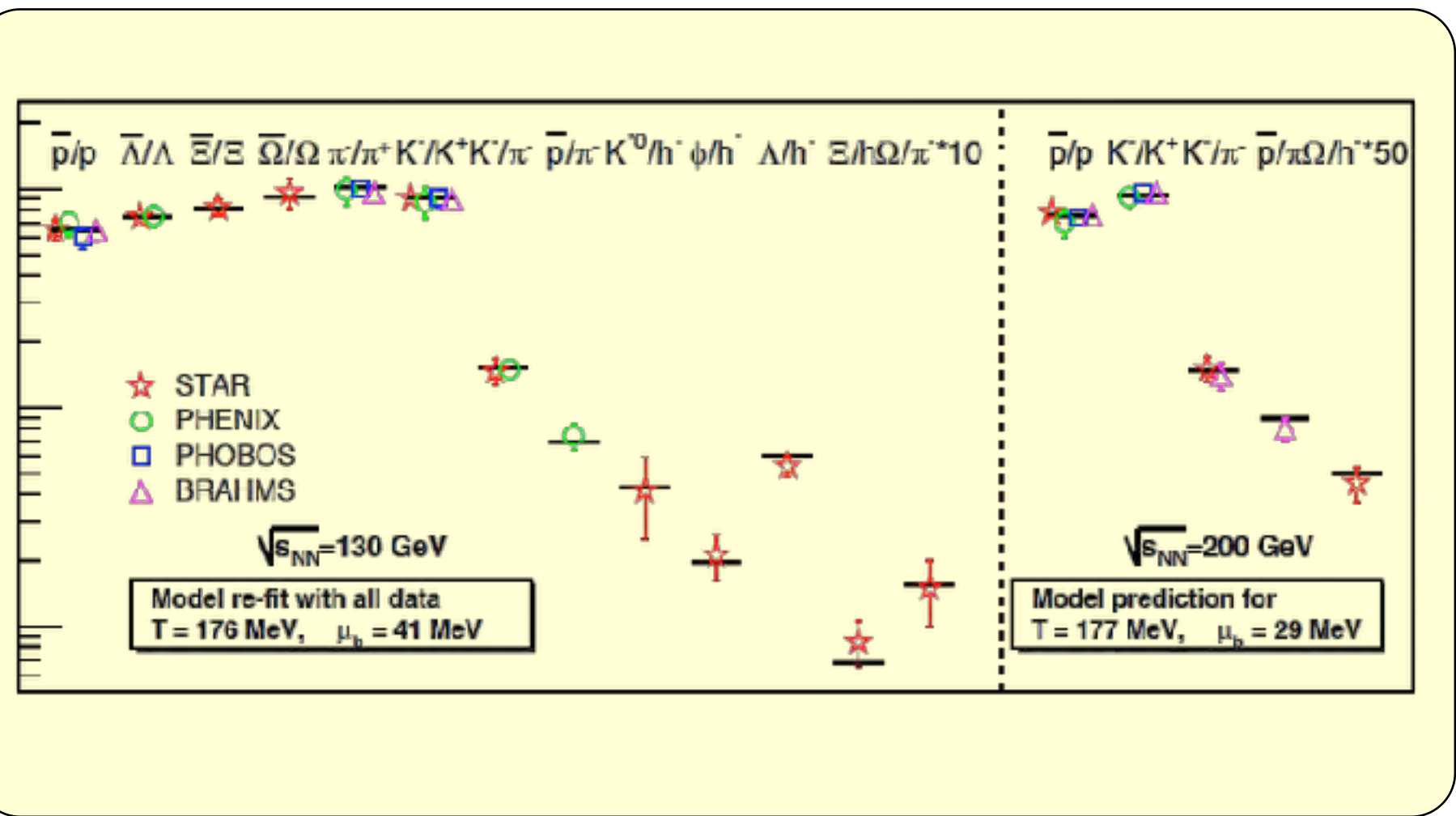
$$\approx 4.6 \text{GeV/fm}^3$$

$$> \varepsilon_c \approx 0.6 - 1.2 \text{GeV/fm}^3$$



QGP生成の傍証2：クオークの化学平衡

$$n_i = \frac{g_i}{2\pi^2} \int_0^\infty \frac{p^2 dp}{e^{(E_i - \mu_i)/T} + 1}$$

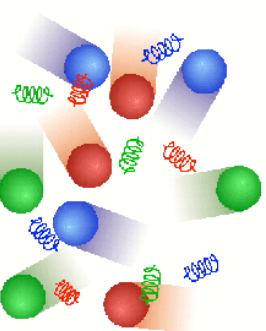


✓ 様々な種類のハドロンの生成量比が「温度」と「化学ポテンシャル」というたった2つのパラメーターで説明できた！

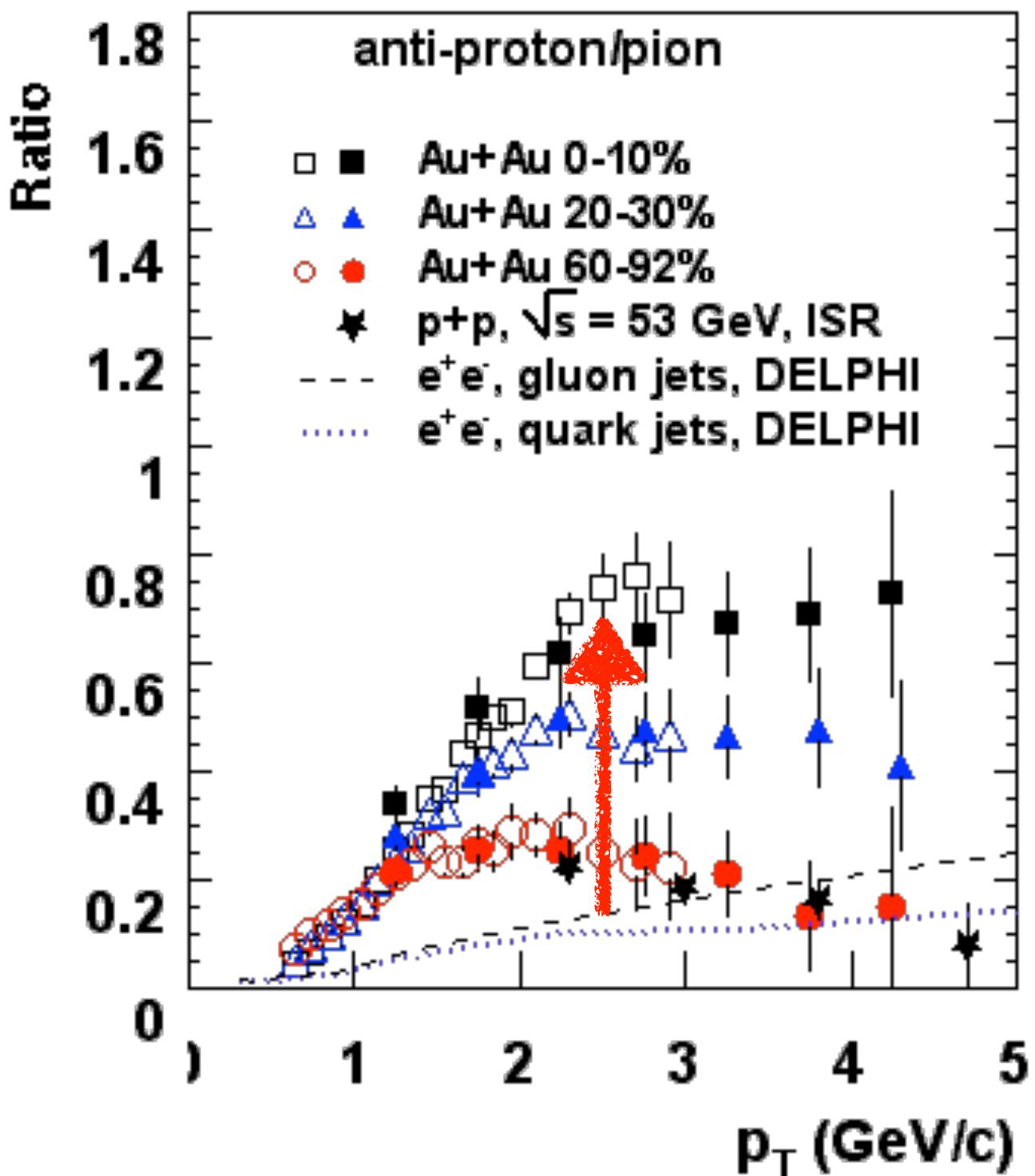
✓ クオークの化学平衡を仮定した統計模型と測定データが良い一致

- 化学平衡時の温度 (~180 MeV) は予想される相転移点付近

バリオン異常生成

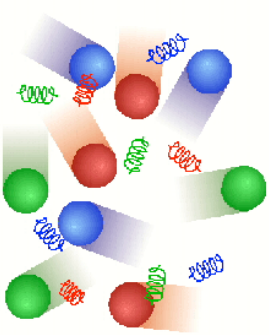


Phenix; P.R.L. 91(2003)172301

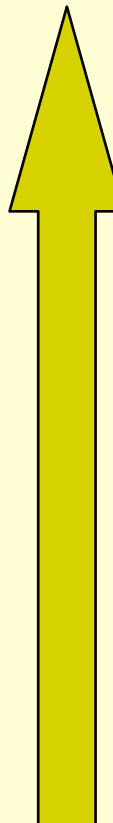


- ✓ 高横運動量領域での p/π 比に異常を発見
- ✓ Au+Au周辺衝突では p/π 比は、 eeやpp衝突と同等であるが、
- ✓ Au+Au中心衝突では p/π 比は非常に大きい
 - Fragmentation process では ee/ppに見られるように $n_p < n_\pi$
- ✓ Au+Au衝突では別の生成機構が！？
 - Quark Recombination Model
(Quark Coalescence Model)

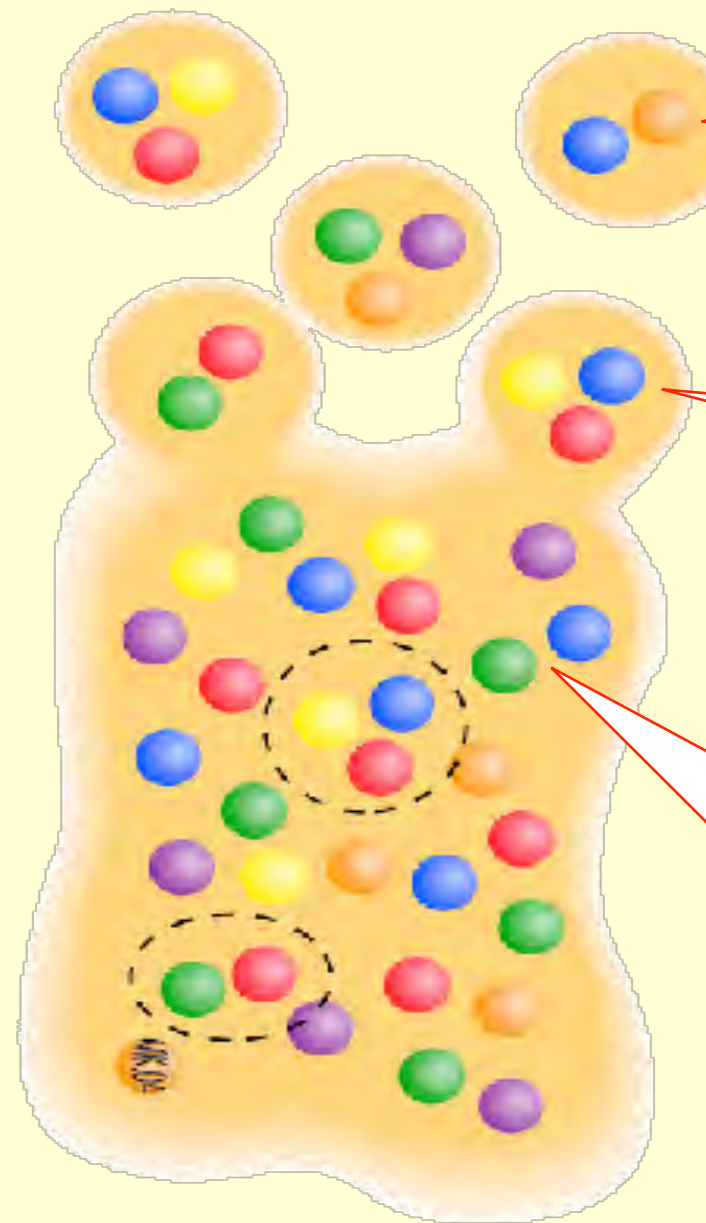
クオーク融合反応 (Quark Coalescence)



ハドロン



QGP



✓ QGP特有のハドロン生成
メカニズム?

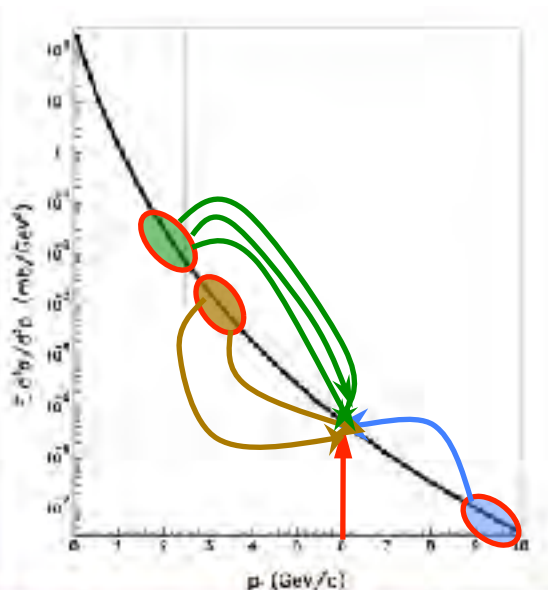
中間子の運動量分布(2q);

$$W_M(p_t) \approx C_M \cdot w^2(p_t/2)$$

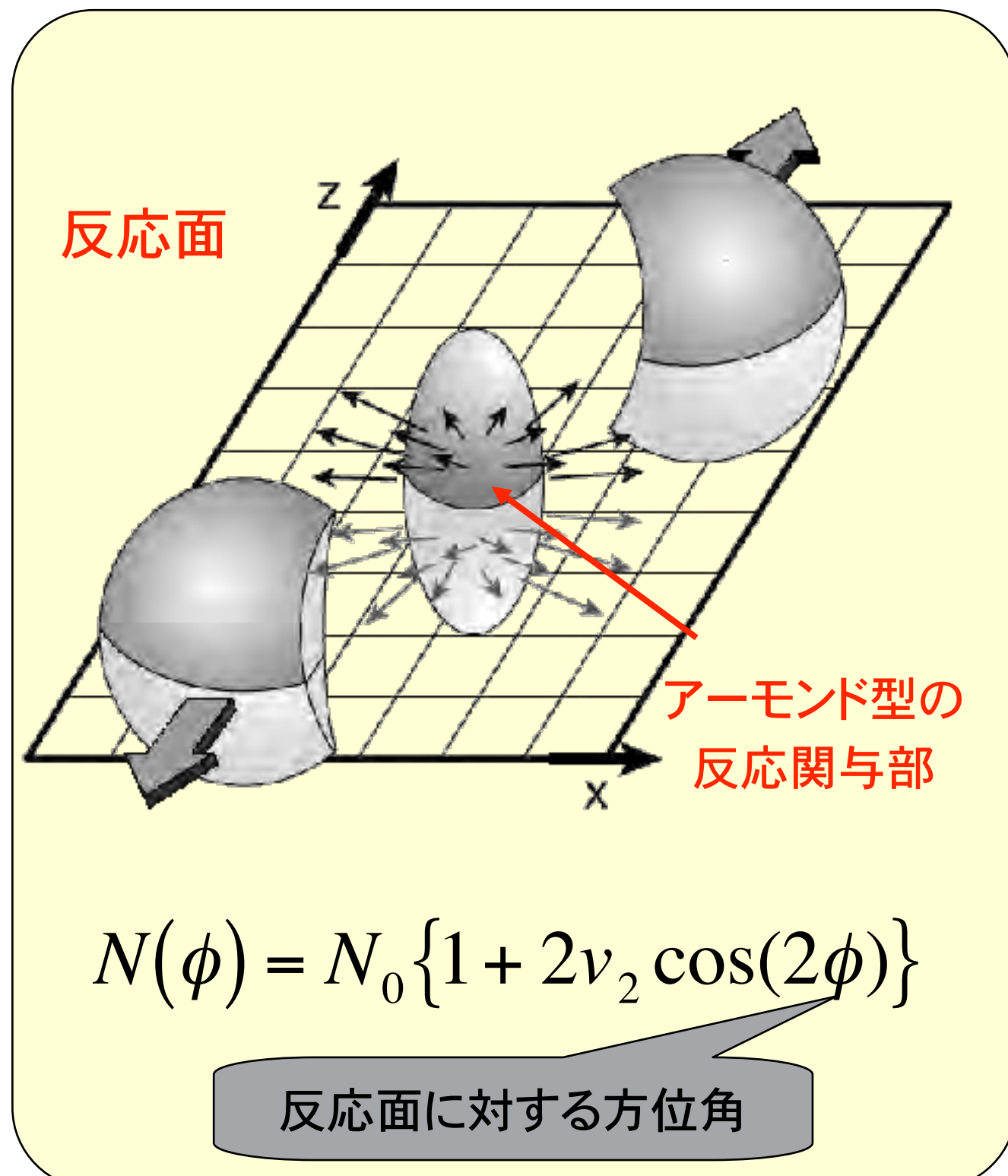
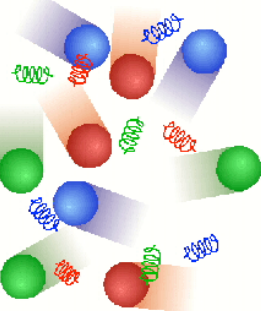
陽子の運動量分布(3q);

$$W_B(p_t) \approx C_B \cdot w^3(p_t/3)$$

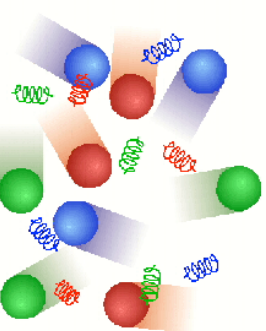
ptと共に急速に減少する分布の場合、陽
子のpt/3の方が有利になる場合がある



注目される方位角異方性測定

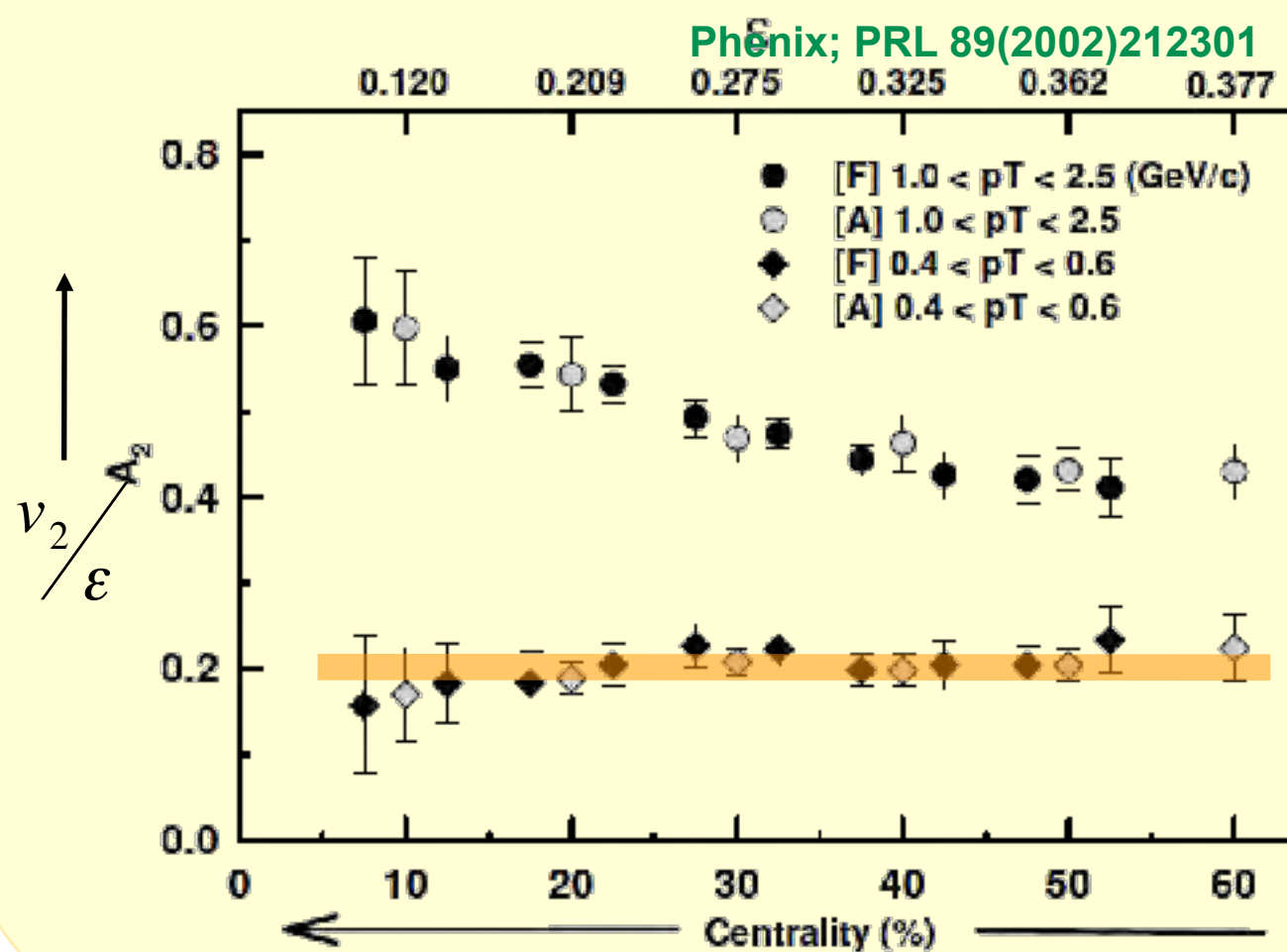


- ✓ 反応関与部と非関与部
 - 核子の運動量に比べビーム運動量が圧倒的に大きい
 - 相対論的效果により極めて短い衝突時間
- ✓ 方位角異方性とは
 - 非中心衝突における反応関与部は衝突軸に対し異方性
 - アーモンド型!
- ✓ 放出粒子の運動量の方位角異方性を測定
 - 座標空間の方位角異方性が生成粒子の運動量空間異方性に転換



楕円率に比例した方位角異方性

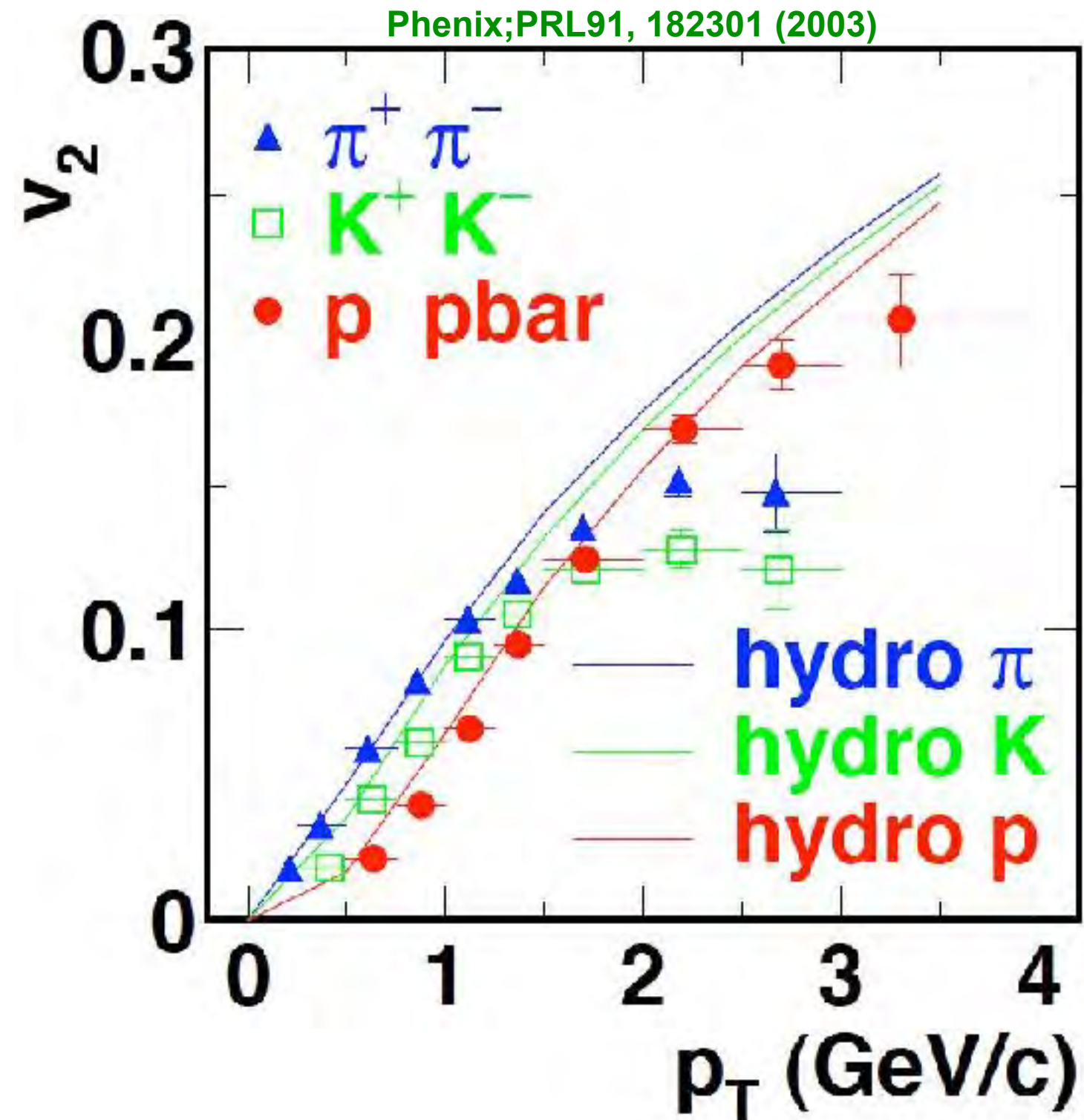
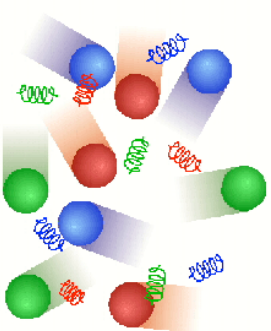
$$\varepsilon_{ecc} = \left\langle \frac{x^2 - y^2}{x^2 + y^2} \right\rangle \quad v_2 = \left\langle \frac{p_x^2 - p_y^2}{p_x^2 + p_y^2} \right\rangle$$



✓ 中心衝突から周辺衝突まで様々な楕円率に対して方位角異方性を測定

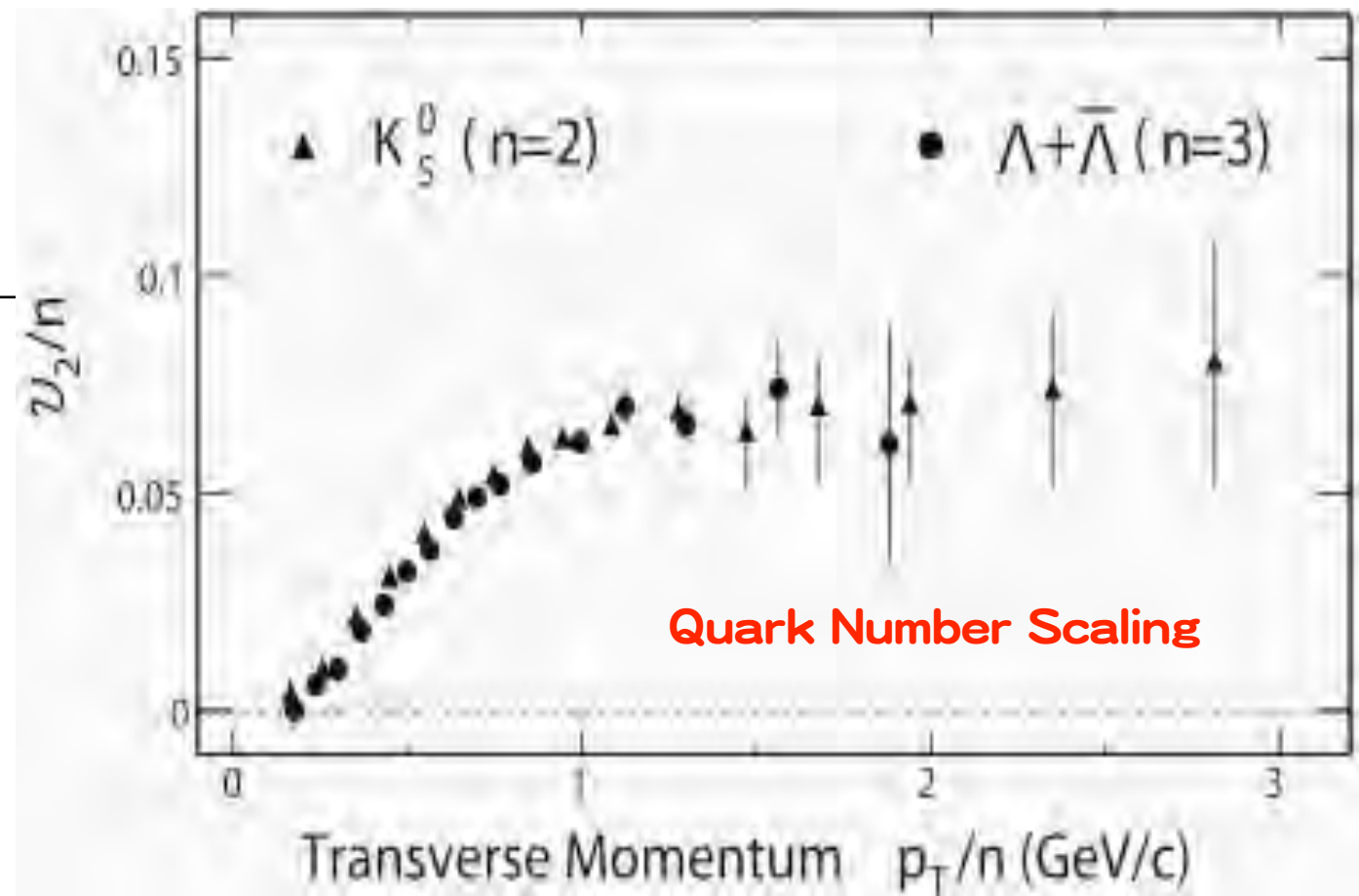
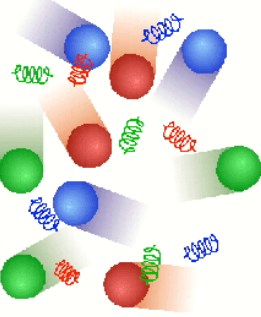
✓ 楕円率に比例した方位角異方性
→確かに座標空間から運動量空間の異方性に転換された

QGP生成の証拠3；方位角異方性



- ✓ 粘性がない完全流体力論模型と良い一致
- 衝突後 $0.6 \text{ fm}/c$ で熱化
- 20 GeV/fm^3
- ✓ 衝突後 $0.6 \text{ fm}/c$ で熱化出来るメカニズムは?
 - QGP!
 - 粘性がない!?

QGP生成の証拠4； クオークの統計力学的分布



✓ クオーク融合反応の証拠

→ Quark Number Scaling

中間子の運動量分布(2q);

$$\frac{dN_M}{d\phi} \propto w^2 = (1 + 2v_{2,q} \cos 2\phi)^2$$

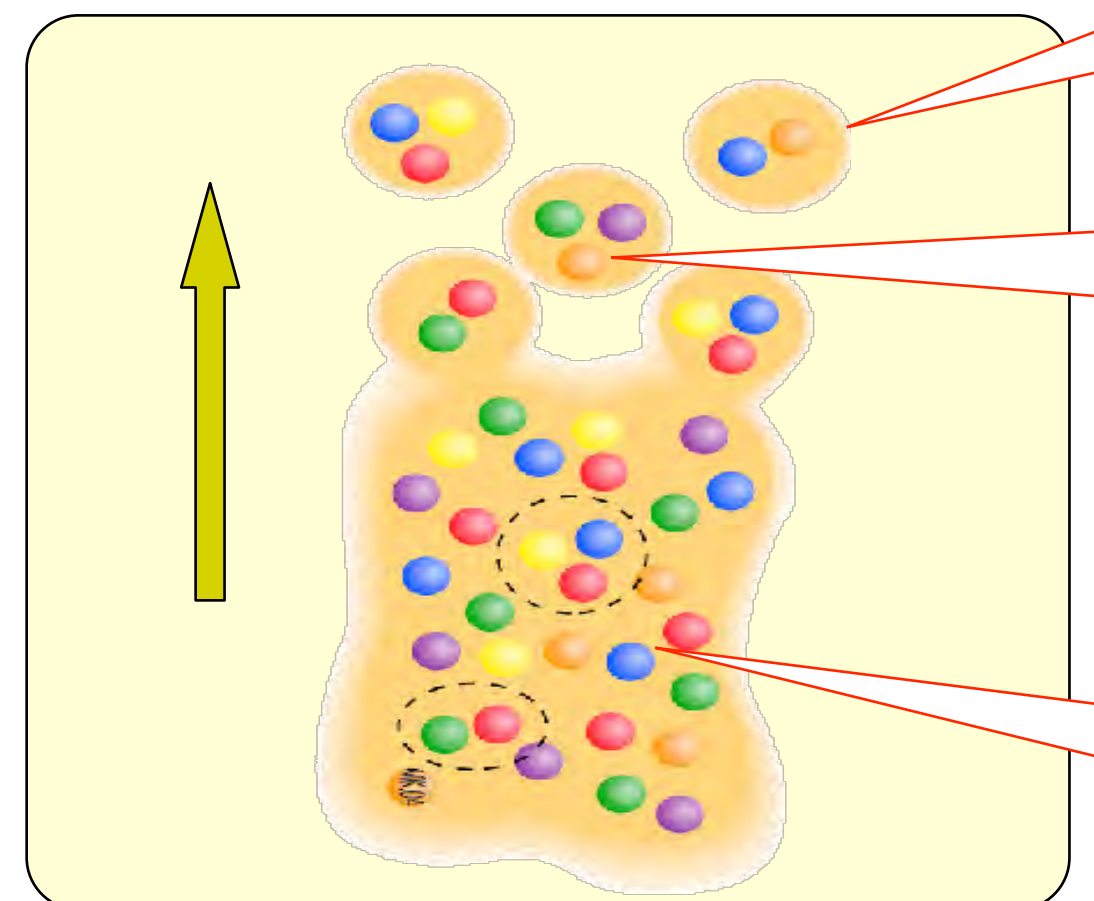
$$\approx (1 + 4v_{2,q} \cos 2\phi)$$

クオーク数比；2:3

陽子の運動量分布(3q);

$$\frac{dN_B}{d\phi} \propto w^3 = (1 + 2v_{2,q} \cos 2\phi)^3$$

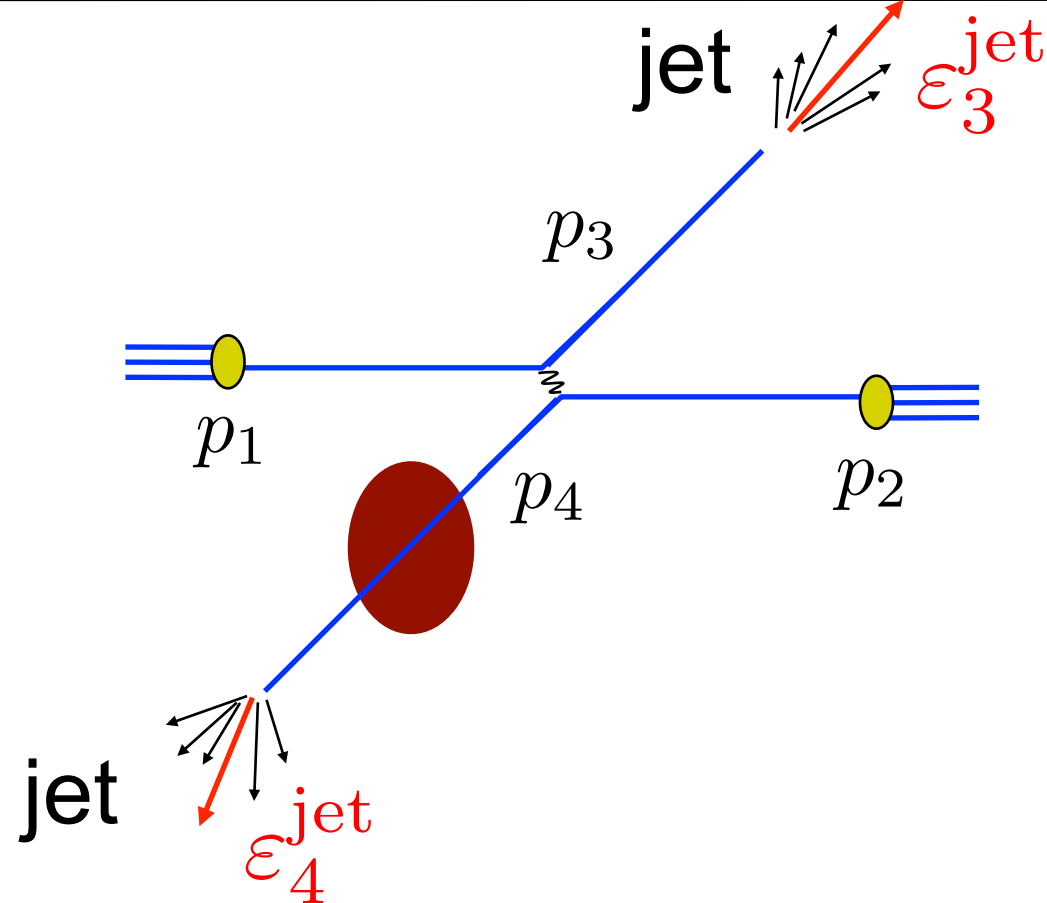
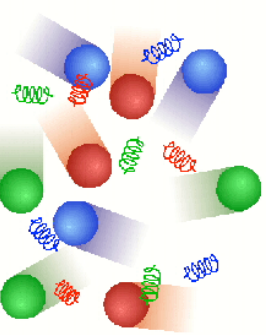
$$\approx (1 + 6v_{2,q} \cos 2\phi)$$



w; クオークの方位角分布

$$w \propto (1 + 2v_{2,q} \cos 2\phi)$$

Probeとしての「ジェット変貌」



✓ 2体散乱

- 運動学的に明確

- back-to-back scatt.

→片方からもう一方がわかる

✓ プローブ；

$$p_{3\perp} = p_{4\perp}$$

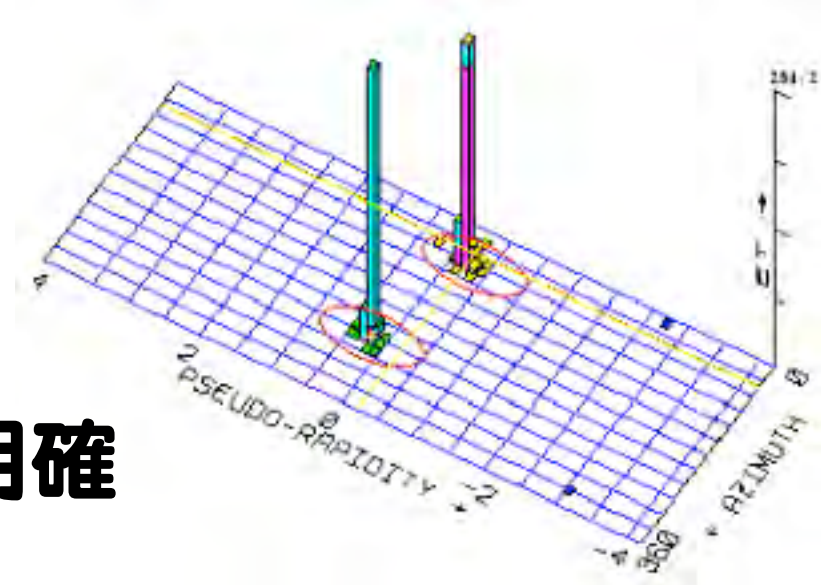
- エネルギーのわかったパートンが物質中を通過する際のエネルギー損失を測定

- QGP特有のエネルギー損失？

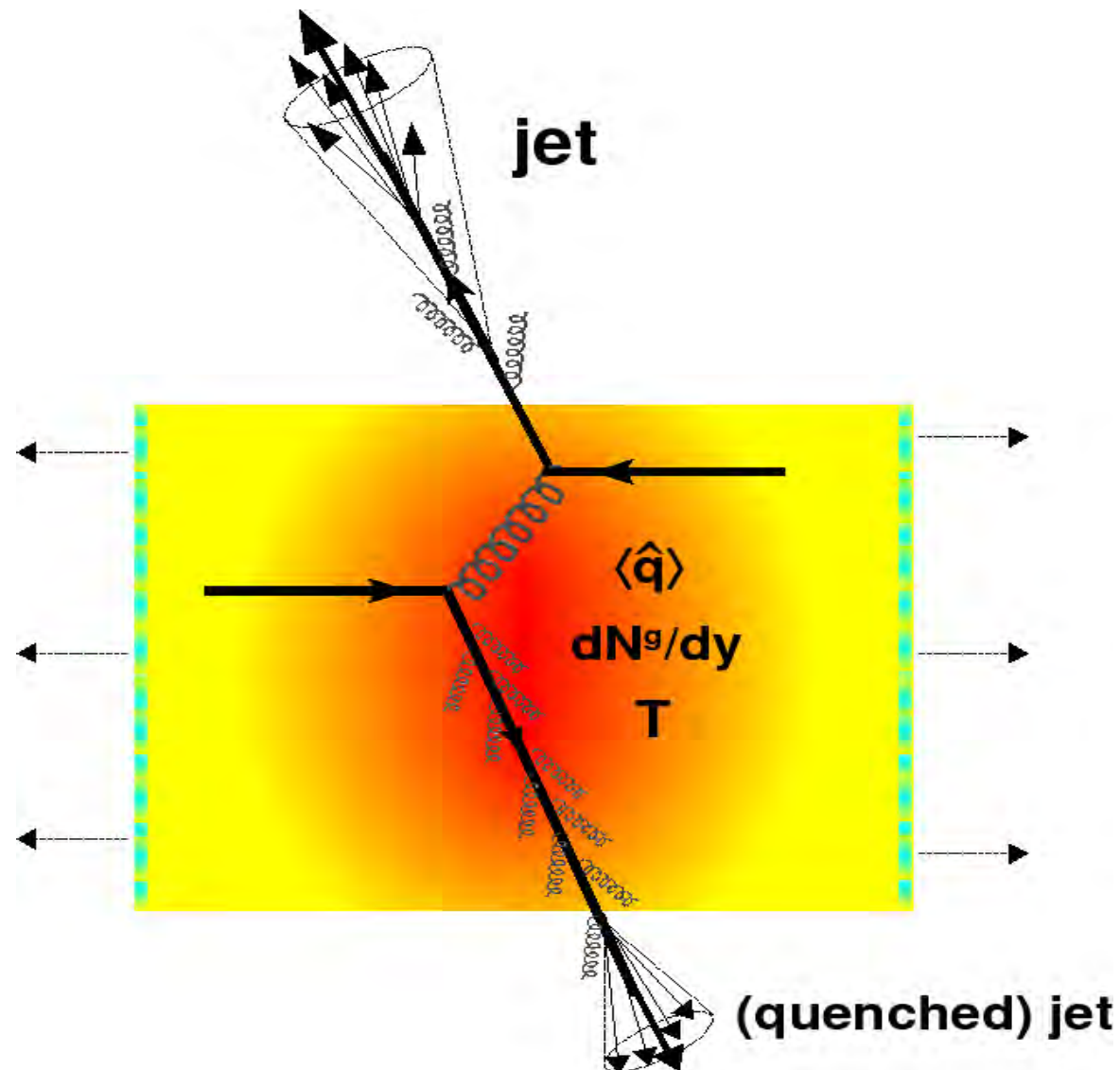
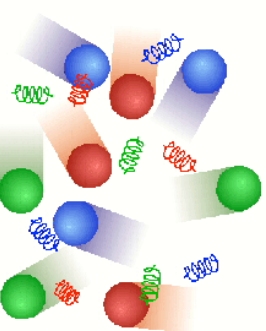
$$\varepsilon_4^{\text{jet}} \approx \varepsilon_3^{\text{jet}}$$



$$\varepsilon_4^{\text{jet}'} = \varepsilon_4^{\text{jet}} - \frac{dE}{dx} \cdot \Delta x \ll \varepsilon_3^{\text{jet}}$$



ジェット変貌；Jet Quench



“Jet quenching” in nucleus-nucleus collision.

✓ AA衝突で2つのパートンが Hard Scatt. を起こす

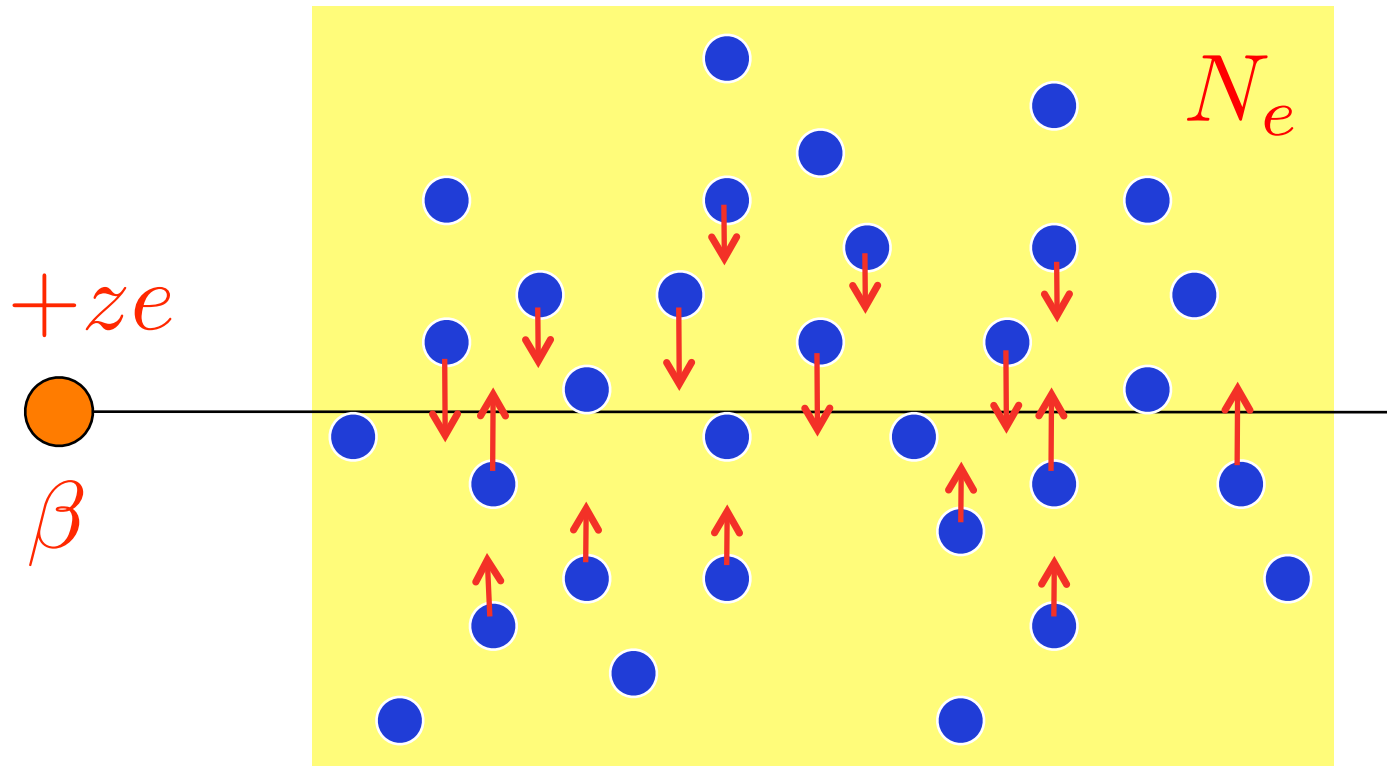
- 一つは真空中に飛び出しジェットを生成し、
- 他方は、QGP中を突き抜ける際に特徴的なエネルギー損失を受ける

✓ 現れる現象；

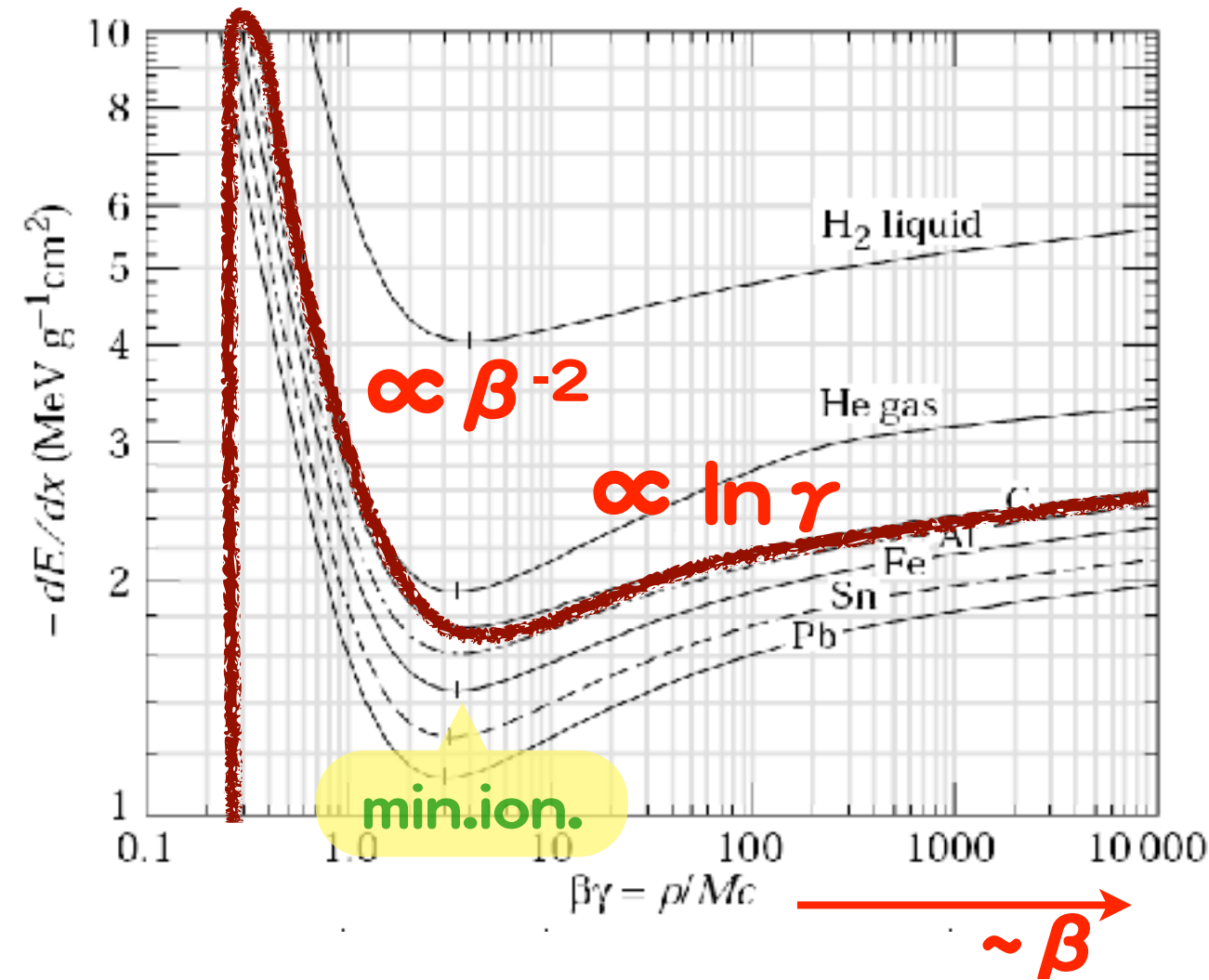
- ジェットの消失／減衰
- 高横運動量粒子の減少
- ジェット成分の変化？

QEDにおけるエネルギー損失 ～ Bethe-Bloch Eq.～

<http://pdg.lbl.gov/2008/reviews/>

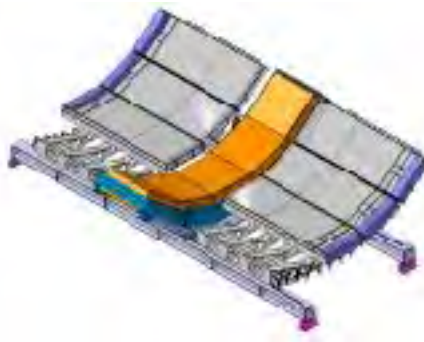


$$-\frac{dE_{\text{Bethe}}}{dx} \propto \frac{z^2 N_e}{\beta^2} \ln(\beta^2)$$



- 入射荷電粒子と物質中の原子電子がクーロン相互作用
 - ✓ 原子電子を電離することによって、入射粒子はエネルギー損失
 - ✓ エネルギー損失量は物質の電子密度(N_e)に比例
 - ✓ エネルギー損失量は入射粒子の z^2 に比例
- エネルギー損失量から物質の電子密度を測定できる→「プローブ」

QEDにおけるエネルギー損失 ～Bremsstrahlung～



荷電粒子のエネルギー損失；制動放射も！

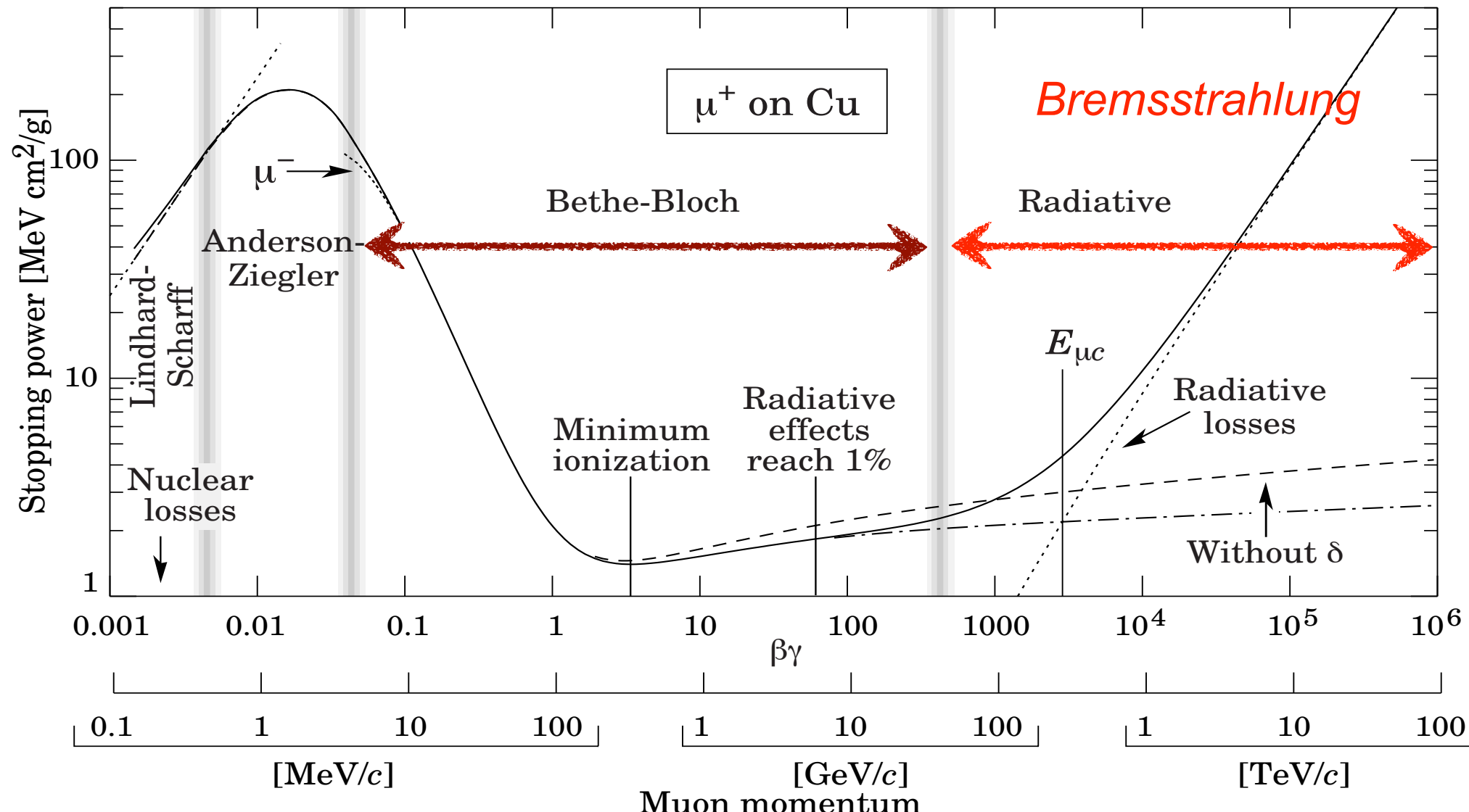
衝突型

✓ Bethe-Bloch

放射型

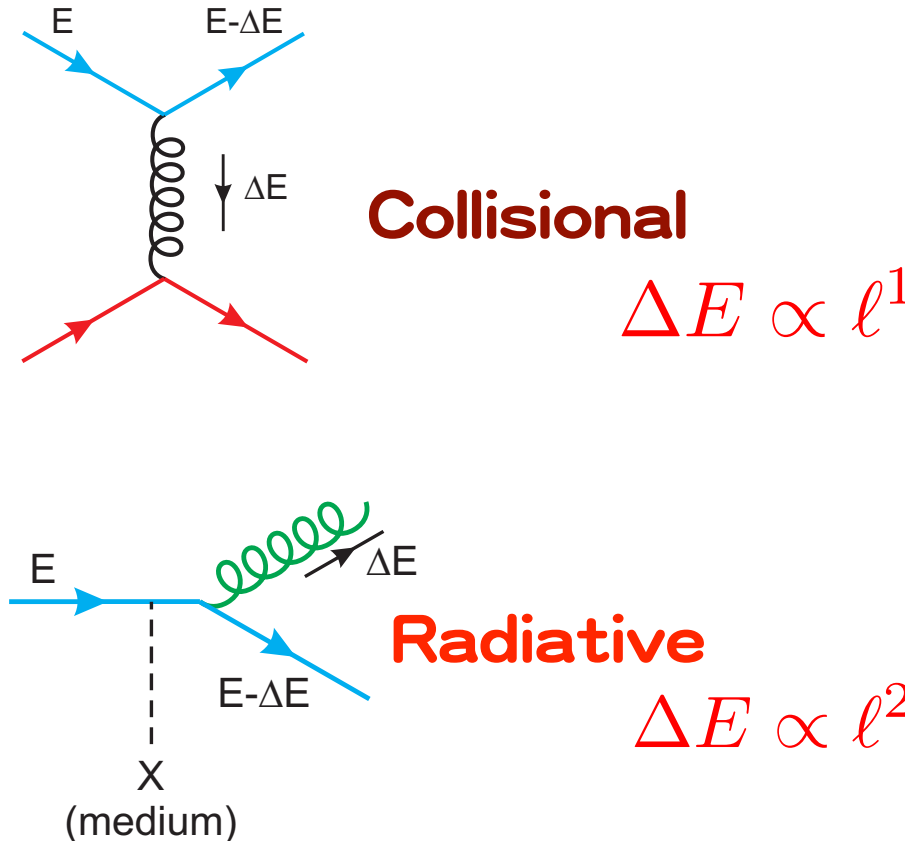
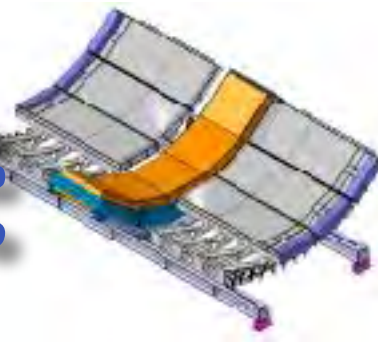
✓ Bethe-Heitler
(thin; $L \ll \lambda$)

✓ Landau-
Pomeranchuk-
Migdal
(thick; $L \gg \lambda$)



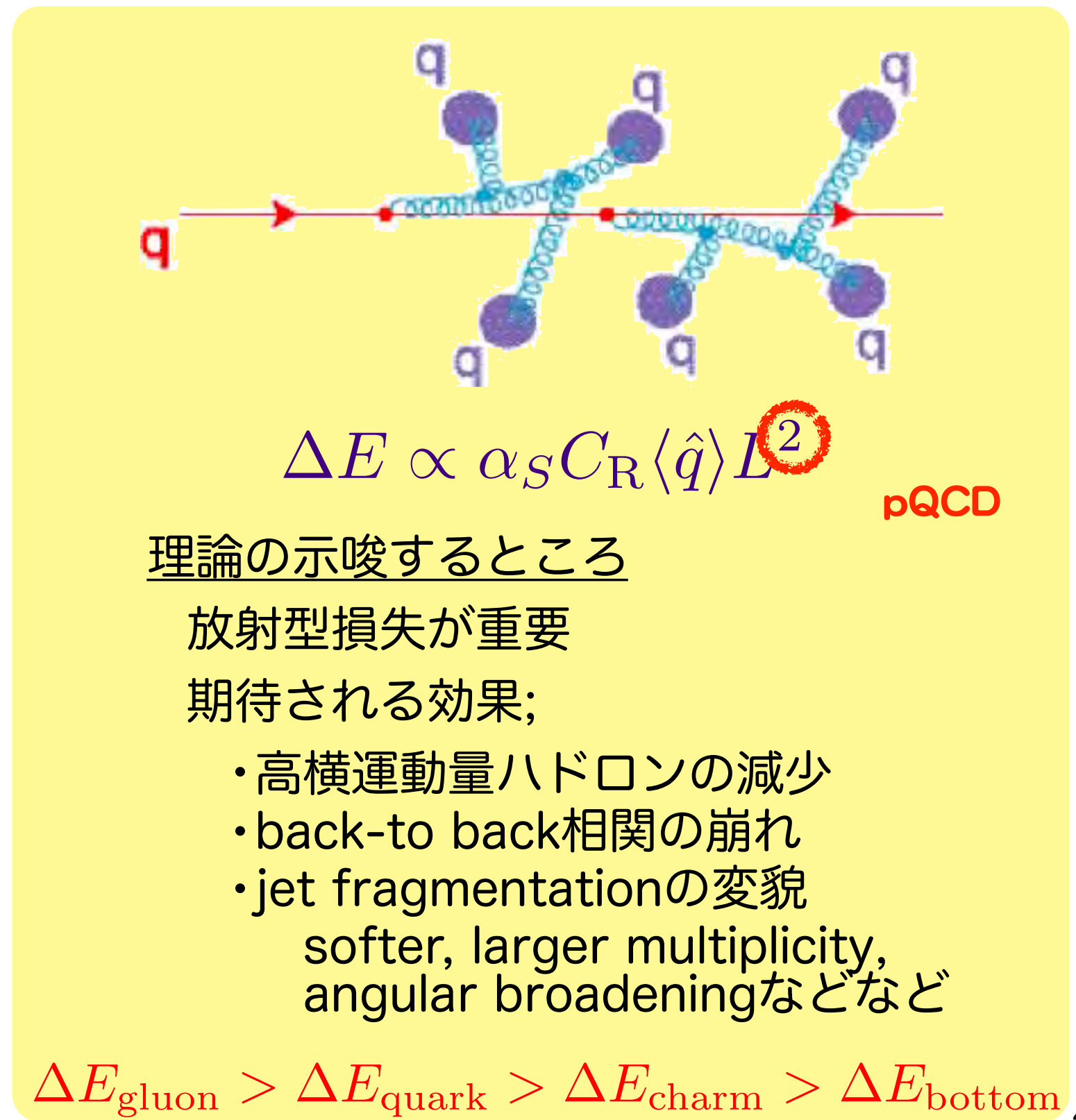
- ✓ dE/dx の測定から物性情報 → 「プローブ」
- 例) QED プラズマ中の dE/dx 測定

QCDにおけるエネルギー損失

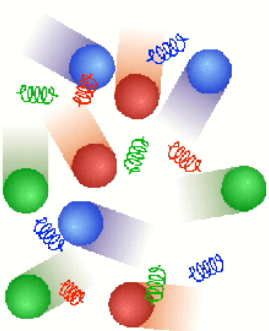


✓ 様々な理論

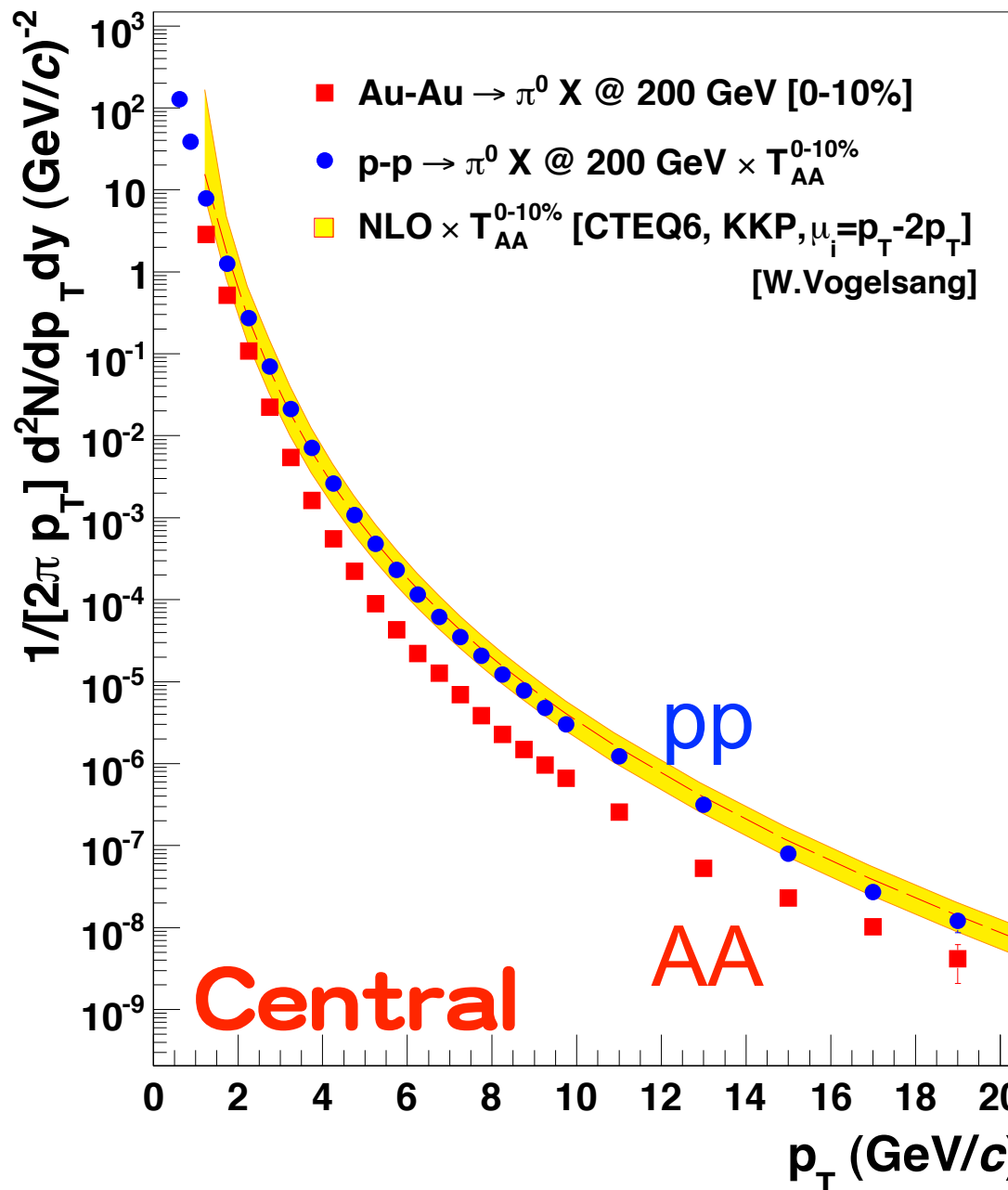
- 衝突型損失
- 放射型損失
 - Bethe-Heitler regime
 - LPM regime
 - “dead-cone” effect



高横運動量粒子の減少



Phenix; P.R.L. 91, 232301 (2008), PRD76,051106(2007)



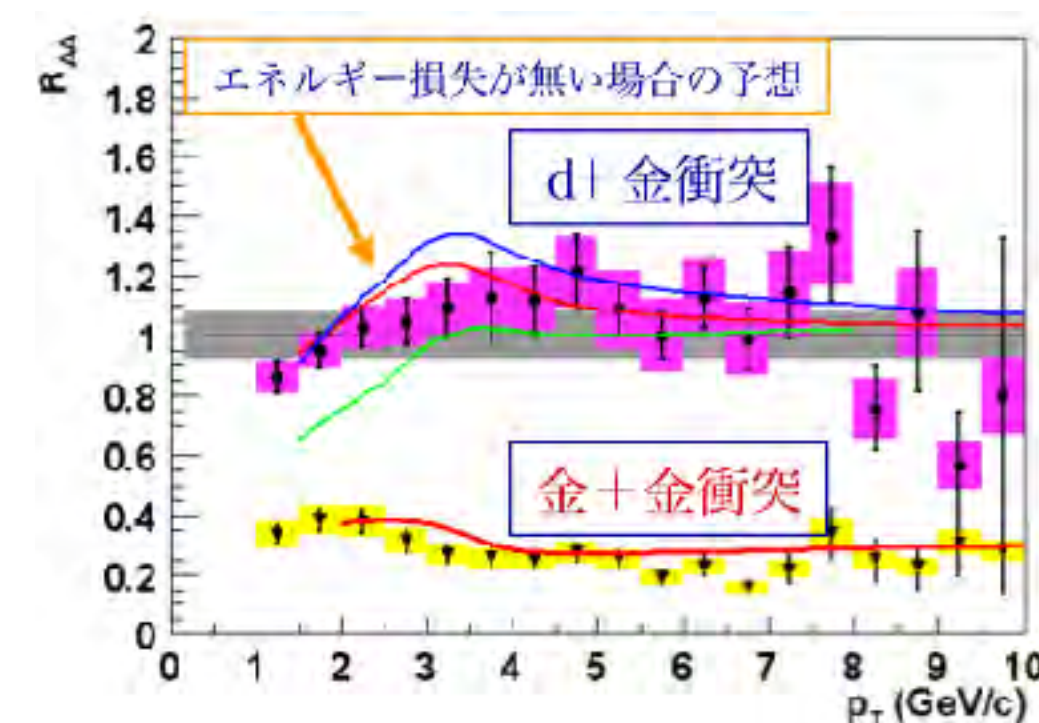
✓ pp衝突の重ね合わせと比較

Nuclear Modification Factor;

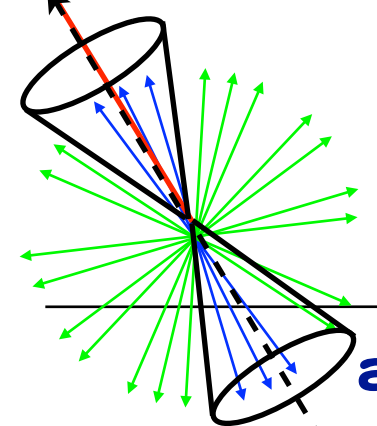
$$R_{AA} = \frac{\text{"hot/dense QCD medium"}}{\text{"QCD vacuum"}} = \frac{dn_{AA}/dp_T dy}{\langle N_{\text{binary}} \rangle \cdot dn_{pp}/dp_T dy}$$

✓ AA中心衝突では高横運動量領域で「減少」

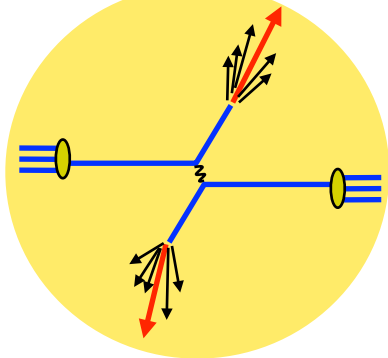
✓ dAuではなく、AuAuで見られることからJet Quenchか？



near side



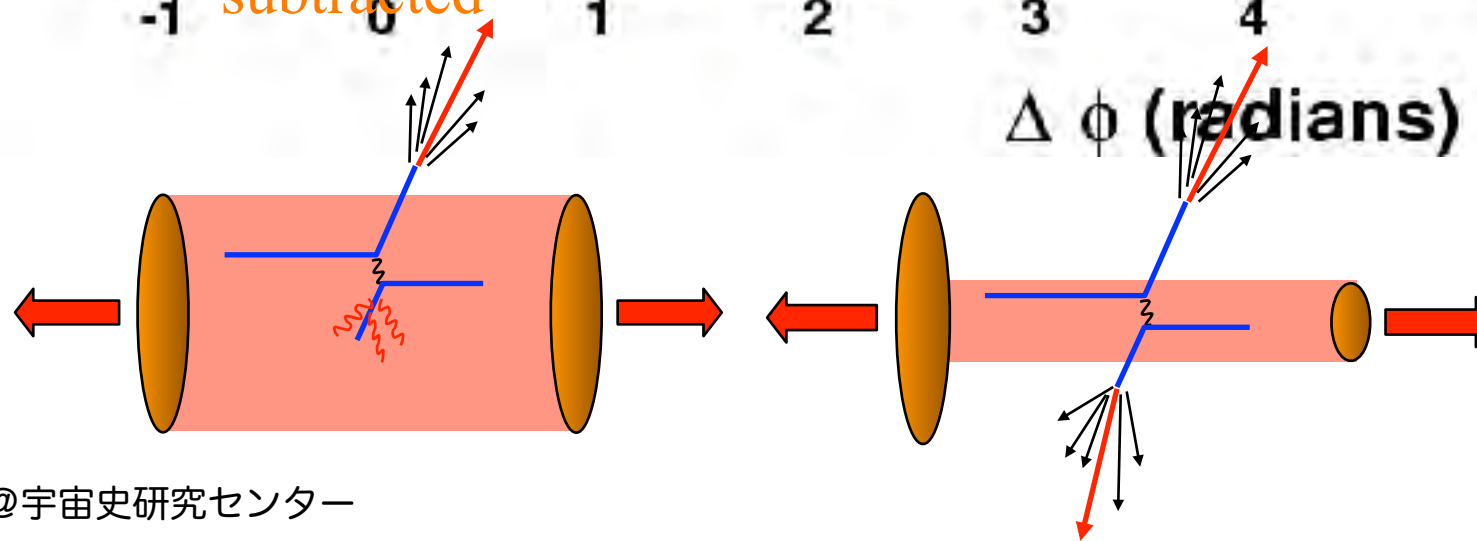
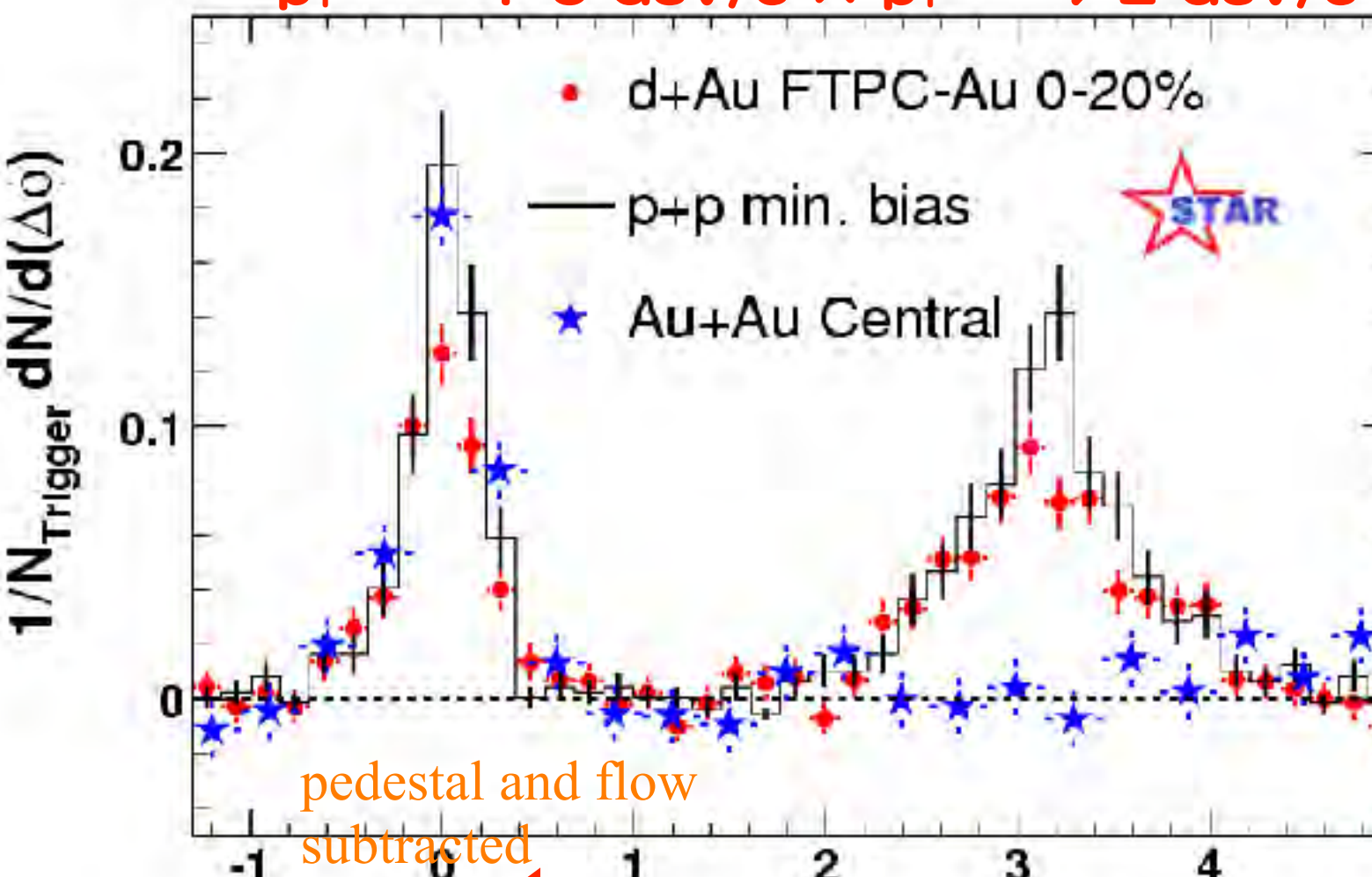
ジェットの消失／減衰



away side

Star; P.R.L. 91, 72304 (2003)

$$p_T^{\text{trig}} = 4 \sim 6 \text{ GeV}/c \times p_T^{\text{assoc}} > 2 \text{ GeV}/c$$



✓ ジェット消失の証拠

✓ 高横運動量粒子に対する方位角相関；

- | pp ; 明確なback-to-back
- | dAu; ppと同様
- | Au+Au; 高横運動量側(same side)では同様だが、相反側では消失！

- | 効果がdAuでは見られなかつたことから、initial stageではなく final stageの効果
- | Au+Au衝突で作られたQGP中での大きなエネルギー損失のためか